



**UNIVERSIDADE FEDERAL DO CEARÁ**

**CAMPUS DE SOBRAL**

**PROGRAMA DE PÓS-GRADUAÇÃO EM CIÊNCIAS DA SAÚDE**

**IZABELLY LINHARES PONTE BRITO**

DIVERSIDADE GENÔMICA DE ISOLADOS NOSOCOMIAIS DE  
*Acinetobacter baumannii* MULTIRRESISTENTES PRODUTORES DE  
CARBAPENEMASES EM HOSPITAIS DE ENSINO DO CEARÁ

**SOBRAL**

**2018**

**IZABELLY LINHARES PONTE BRITO**

DIVERSIDADE GENÔMICA DE ISOLADOS NOSOCOMIAIS DE  
*Acinetobacter baumannii* MULTIRRESISTENTES PRODUTORES DE  
CARBAPENEMASES EM HOSPITAIS DE ENSINO DO CEARÁ

Dissertação de Mestrado apresentada ao Programa de Pós-Graduação em Ciências da Saúde da Universidade Federal do Ceará – *Campus* Sobral, como requisito parcial para obtenção do Título de Mestre em Ciências da Saúde. Área de concentração: Microbiologia Aplicada.

Orientador: Prof. Dr. Francisco Cesar Barroso Barbosa

**SOBRAL**

**2018**

Dados Internacionais de Catalogação na Publicação  
Universidade Federal do Ceará  
Biblioteca Universitária

Gerada automaticamente pelo módulo Catalog, mediante os dados fornecidos pelo(a) autor(a)

---

- B875d Brito, Izabelly Linhares Ponte.  
Diversidade genômica de isolados nosocomiais de acinetobacter baumannii multirresistentes produtores de carbapenemases em hospitais de ensino do ceará / Izabelly Linhares Ponte Brito. – 2018.  
97 f. : il. color.
- Dissertação (mestrado) – Universidade Federal do Ceará, Campus de Sobral, Programa de Pós-Graduação em Ciências da Saúde, Sobral, 2018.  
Orientação: Prof. Dr. Francisco Cesar Barroso Barbosa.
1. Acinetobacter baumannii. 2. Beta-lactamases. 3. Carbapenemases. 4. Infecção hospitalar. 5. Resistência antimicrobiana. I. Título.

CDD 610

---

**IZABELLY LINHARES PONTE BRITO**

DIVERSIDADE GENÔMICA DE ISOLADOS NOSOCOMIAIS DE  
*Acinetobacter baumannii* MULTIRRESISTENTES PRODUTORES DE  
CARBAPENEMASES EM HOSPITAIS DE ENSINO DO CEARÁ

Dissertação de Mestrado apresentada ao Programa de Pós-Graduação em Ciências da Saúde da Universidade Federal do Ceará – *Campus* Sobral, como requisito parcial para obtenção do Título de Mestre em Ciências da Saúde. Área de concentração: Microbiologia Aplicada.

Aprovada em: \_\_\_\_/\_\_\_\_/\_\_\_\_.

**BANCA EXAMINADORA**

\_\_\_\_\_  
Prof. Dr. Francisco Cesar Barroso Barbosa (Orientador)  
Universidade Federal do Ceará - *Campus* de Sobral

\_\_\_\_\_  
Prof. Dr. Vicente de Paulo Teixeira Pinto (Examinador)  
Universidade Federal do Ceará - *Campus* de Sobral

\_\_\_\_\_  
Profa. Dra. Iriana Carla Junqueira Zanin dos Santos (Examinadora)  
Universidade Federal do Ceará - *Campus* de Sobral

## **DEDICATÓRIA**

A Deus e Nossa Senhora, por sempre me conceder sabedoria nas escolhas dos melhores caminhos, coragem para acreditar, força para não desistir e proteção para me amparar.

Ao meu esposo Luiz Antunes Martins Brito, pessoa com quem amo partilhar a vida. Obrigado pelo carinho, a paciência e por sua capacidade de me trazer paz na correria do mestrado.

Aos meus pais, João Arruda Linhares Ponte Filho e Ana Fátima Linhares Ponte que, com muito carinho e apoio, não mediram esforços para que eu chegasse até essa etapa de minha vida, pelo amor com que me mostraram a direção correta e me ensinaram a ter fé na vida.

Aos meus filhos Luiz Eduardo Linhares Brito e João Vitor Linhares Brito por todo amor e carinho.

As minhas irmãs, Rafaela Linhares Ponte Rangel e Gabriela Linhares Ponte, pelo incentivo incondicional.

## AGRADECIMENTOS

Ao Programa de Pós-Graduação em Ciências da Saúde da Universidade Federal do Ceará – *Campus* Sobral, pela oportunidade que tive de aprender e por poder colaborar com produção científica para o bem da sociedade.

À Santa Casa de Misericórdia de Sobral pelo suporte financeiro para esta pesquisa através do Edital DEPE 06/2016.

Aos hospitais de ensino Santa Casa de Misericórdia de Sobral, Hospital Geral de Fortaleza (Dra. Liduína e a técnica Lucineide), Hospital Geral César Cals (Dr. Daniel e o técnico Leandro) e Hospital Universitário Walter cantídio (Dr. Paulo Cesar) pela gentileza com o isolamento, triagem e estoque das amostras bacterianas.

Ao professor Dr. Francisco Cesar Barroso Barbosa, meu orientador pela paciência na orientação e incentivo.

Ao professor Dr. Vicente de Paulo Teixeira Pinto que muito me incentivou a participar desse programa de Pós-graduação.

Aos meus colegas da vida acadêmica que tanto colaboraram para concretização dessa pesquisa: Jéssica Morais, Xhaulla Fonseca e Paulo de Tarso.

À minha amiga e incentivadora Ana kélvia, pelo companheirismo e cumplicidade.

*“Nunca foi sorte, sempre foi Deus.”*

Lourdes Sousa

## RESUMO

*Acinetobacter baumannii* é um patógeno oportunista que causa infecções relacionadas à assistência à saúde (IRAS), com altas taxas de morbimortalidade, comumente associado a surtos de infecções nosocomiais. Este microrganismo é intrinsecamente resistente a vários antimicrobianos, sendo que o mecanismo mais comum de resistência aos carbapenêmicos é a degradação enzimática por carbapenemases, como as oxacilinases. Este estudo teve como objetivo analisar a frequência e o perfil de sensibilidade antimicrobiana de *A. baumannii* isolados de pacientes com diagnóstico de infecção hospitalar na Santa Casa de Misericórdia de Sobral (SCMS), no Hospital Geral de Foraleza (HGF), no Hospital Geral César Calls (HGCC) e no Hospital Universitário Walter Cantídio (HUWC), entre novembro de 2016 e abril de 2017, assim como realizar a detecção dos genes de resistência *bla*<sub>OXA-51</sub>, *bla*<sub>OXA-23</sub>, *bla*<sub>OXA-24</sub> e *bla*<sub>OXA-58</sub> nesses isolados. A identificação e o TSA (Teste de Suscetibilidade aos Antimicrobianos) foram determinados pelo sistema automatizado (Vitek2®; bioMérieux), para confirmação da identidade dos espécimes foi amplificado o gene *bla*<sub>OXA-51</sub> e para os isolados resistentes à tigeciclina foi determinada a Concentração Inibitória Mínima (CIM) pela técnica de microdiluição em caldo. As espécies nosocomiais de *A. baumannii* foram analisados para a detecção dos genes *bla*<sub>OXA</sub> por PCR. No total, 167 isolados de *A. baumannii* foram investigados. Desses, 54 (32,3%) eram oriundos de amostras de sangue e 42 (25,1%) de aspirado traqueal, sendo que 101 (60,5%) dos isolados eram oriundos da UTI. Os dados demonstraram que 132 (79%) dos isolados de *A. baumannii* eram resistentes aos carbapenêmicos e todos foram sensíveis à colistina. O gene *bla*<sub>OXA-23</sub> foi detectado em 78 (46,7%) e o *bla*<sub>OXA-24</sub> em 45 (26,9%), enquanto o *bla*<sub>OXA-58</sub> não foi detectado em nenhum dos microrganismos analisados. Os genes *bla*<sub>OXA-23</sub> e *bla*<sub>OXA-24</sub> foram encontrados em 4 isolados, simultaneamente. Os resultados desse estudo demonstraram que a maioria dos espécimes nosocomiais de *A. baumannii* foram isolados de amostras de sangue, de pacientes internados na UTI e demonstraram altas taxas de resistência aos carbapenêmicos e sensibilidade à colistina e tigeciclina, podendo ser esses fármacos opções terapêuticas no tratamento de infecções causadas por esse patógeno. Além disso, o gene *bla*<sub>OXA-51</sub> foi o subgrupo prevalente e *bla*<sub>OXA-23</sub> o gene adquirido predominante entre os isolados de *A. baumannii* MDR. Contudo, houve diferenças no sítio de isolamento e na prevalência do subgrupo do gene *bla*<sub>OXA</sub> dependendo do hospital analisado.

Palavras-chave: *Acinetobacter baumannii*; β-lactamases; Carbapenêmicos; Infecção hospitalar; Resistência antimicrobiana.



## ABSTRACT

*Acinetobacter baumannii* is an opportunistic pathogen resistant to several antimicrobials. We aimed to investigate the sensitivity profile and frequency of OXA-type carbapenemases among *A. baumannii* nosocomial strains isolated from patients in teaching hospitals of Ceará, Brazil. From November 2016-April 2017, *A. baumannii* nosocomial strains from four teaching hospitals were analyzed. All isolates were identified, and the antimicrobial susceptibility profile established by VITEK®2. Polymerase chain reaction (PCR) to amplify the *bla*<sub>OXA-51</sub> gene was performed on all presumptively strains identified as *A. baumannii*, and minimum inhibitory concentrations were determined by the broth microdilution for tigecycline-resistant isolates. Furthermore, *bla*<sub>OXA-23</sub>, *bla*<sub>OXA-24</sub>, and *bla*<sub>OXA-58</sub> genes were detected by PCR.

A total of 167 *A. baumannii* nosocomial strains were analyzed, from which 101 (60.5%) were from patients in intensive care units, 54 (32.3%) were isolated from the bloodstream, and 142 (85.0%) were multi-drug resistant (MDR). 132 (79.0%) isolates were resistant to carbapenems, but all isolates were susceptible to colistin and most of them were susceptible to tigecycline. The majority harbored the *bla*<sub>OXA-23</sub> gene, these data were significantly associated with an MDR phenotype. In addition, 45 (26.9%) contained *bla*<sub>OXA-24</sub>, four strains harbored concomitantly *bla*<sub>OXA-23</sub> and *bla*<sub>OXA-24</sub> and no *bla*<sub>OXA-58</sub> genes were detected. These results demonstrated high resistance rates to the different antimicrobial drugs analyzed and a high frequency of *bla*<sub>OXA-23</sub> gene, suggesting that colistin and tigecycline could be the therapeutic options for the treatment of infections associated with MDRA. *baumannii*.

**Keywords:** *Acinetobacter baumannii*; beta-lactamases; carbapenems; cross infection; antimicrobial drug resistance.

## LISTA DE FIGURAS

|           |  |    |
|-----------|--|----|
| Figura 1- | Epidemiologia global de <i>Acinetobacter baumannii</i> resistente aos carbapenêmicos.....  | 22 |
| Figura 2- | Distribuição do gene <i>bla</i> <sub>OXA</sub> em isolados de <i>A.baumannii</i> no Brasil.....  | 29 |
| Figura 3- | Eletroforese em gel de agarose contendo fragmentos do gene <i>bla</i> <sub>OXA-51</sub> oriundos de espécimes nosocomiais de <i>A.baumannii</i> isolados de hospitais de ensino do Ceará amplificadas por PCR - PM 100 pb (Invitrogen, EUA)..... | 44 |
| Figura 4- | Eletroforese em gel de agarose contendo fragmentos do gene <i>bla</i> <sub>OXA-23</sub> oriundos de espécimes nosocomiais de <i>A.baumannii</i> isolados de hospitais de ensino do Ceará amplificadas por PCR - PM 100 pb (Invitrogen, EUA)..... | 44 |
| Figura 5- | Eletroforese em gel de agarose contendo fragmentos de gene <i>bla</i> <sub>OXA-24</sub> oriundos de espécimes nosocomiais de <i>A.baumannii</i> isolados de hospitais de ensino do Ceará amplificadas por PCR - PM 100 pb (Invitrogen, EUA)..... | 45 |
| Figura 6- | Eletroforese em gel de agarose contendo fragmentos de gene <i>bla</i> <sub>OXA-58</sub> oriundos de espécimes nosocomiais de <i>A.baumannii</i> isolados de hospitais de ensino do Ceará amplificadas por PCR - PM 100 pb (Invitrogen, EUA)..... | 45 |

## LISTA DE TABELAS

|           |  |    |
|-----------|--|----|
| Tabela 1- | <i>Primers</i> para amplificação dos genes <i>bla</i><br><i>OXA</i> .....  | 35 |
| Tabela 2- | Distribuição de isolados nosocomiais de <i>A. baumannii</i> por unidade hospitalar, sítio de isolamento, setor de hospitalização, gênero e frequência dos genes <i>bla</i> <sub>OXA-23</sub> e <i>bla</i> <sub>OXA-24</sub> .....                  | 37 |
| Tabela 3- | Perfis de resistência antimicrobiana dos isoaldos nosocomiais de <i>A. baumannii</i> dos quatro hospitais de ensino analisados.....  | 39 |
| Tabela 4- | Perfis de resistência antimicrobiana e frequência dos genes <i>bla</i> <sub>OXA-23</sub> e <i>bla</i> <sub>OXA-24</sub> dos isoaldos nosocomiais de <i>A. baumannii</i> dos quatro hospitais de ensino analisados.....                             | 46 |
| Tabela 5- | Frequência de detecção dos genes <i>bla</i> <sub>OXA-23</sub> , <i>bla</i> <sub>OXA-24</sub> , <i>bla</i> <sub>OXA-51</sub> e <i>bla</i> <sub>OXA-58</sub> em relação ao perfil de sensibilidade aos carbapenêmicos na SCMS, HGF, HGCC e HUWC..... | 49 |
| Tabela 6- | Frequência dos genes <i>bla</i> <sub>OXA-23</sub> e <i>bla</i> <sub>OXA-24</sub> por unidade hospitalar, sítio de isolamento, setor de hospitalização e gênero.....  | 50 |

## LISTA DE GRÁFICOS

|            |   |    |
|------------|---|----|
| Gráfico 1- | Distribuição por sítio de isolamento de espécimes nosocomiais de <i>A.baumannii</i> identificadas de novembro de 2016 a abril de 2017 em hospitais de ensino do Estado do Ceará.....                | 38 |
| Gráfico 2- | Distribuição de isolados nosocomiais de <i>A.baumannii</i> identificados de novembro de 2016 a abril de 2017 de acordo com o setor de hospitalização em hospitais de ensino do Estado do Ceará..... | 38 |
| Gráfico 3- | Sensibilidade a antimicrobianos de espécimes nosocomiais de <i>A.baumannii</i> isolados de novembro de 2016 a abril de 2017 na SCMS.....  | 40 |
| Gráfico 4- | Sensibilidade a antimicrobianos de espécimes nosocomiais de <i>A.baumannii</i> isolados de novembro de 2016 a abril de 2017 no HGF.....   | 41 |
| Gráfico 5- | Sensibilidade a antimicrobianos de espécimes nosocomiais de <i>A.baumannii</i> isolados de novembro de 2016 a abril de 2017 no HGCC.....  | 42 |
| Gráfico 6- | Sensibilidade a antimicrobianos de espécimes nosocomiais de <i>A.baumannii</i> isolados de novembro de 2016 a abril de 2017 no HUWC.....  | 43 |

## LISTA DE ABREVIATURAS E SIGLAS

|                   |   |
|-------------------|---|
| <b>AMP</b>        | Ampicilina                                  |
| <b>AMP/SUB</b>    | Ampicilina Sulbactam                        |
| <b>BHI</b>        | Brain Heart Infusion                        |
| <b>CAZ</b>        | Ceftazidima                                 |
| <b>CEP</b>        | Comitê de Ética em Pesquisa                 |
| <b>CFO</b>        | Cefoxitina                                  |
| <b>CIM</b>        | Concentração Inibitória Mínima              |
| <b>CIP</b>        | Comissão Interna de Pesquisa                |
| <b>CLSI</b>       | Clinical and Laboratory Standards Institute |
| <b>CLT</b>        | Controle                                    |
| <b>CN</b>         | Controle Negativo                           |
| <b>CP</b>         | Controle Positivo                           |
| <b>COL</b>        | Colistina                                   |
| <b>COM</b>        | Cefepima                                    |
| <b>CRO</b>        | Ceftriaxona                                 |
| <b>CRX</b>        | Cefuroxima                                  |
| <b>CRX/AXETIL</b> | Cefuroxima/ Axetil                          |
| <b>dATP</b>       | desoxiCitidina Trifosfatada                 |
| <b>dCTP</b>       | desoxiCitidina Trifosfatada                 |
| <b>dGTP</b>       | desoxiGuanosina Trifosfatada                |
| <b>DNA</b>        | Ácido desoxirribonucleico                   |
| <b>dTTP</b>       | desoxiTimidina Trifosfatada                 |
| <b>EDTA</b>       | Ácido etilenodiamino tetra-acético          |
| <b>ESBL</b>       | $\beta$ -lactamase de espectro estendido    |
| <b>GEN</b>        | Gentamicina                                 |
| <b>GES</b>        | Guiana Extended Spectrum                    |
| <b>GN</b>         | Gram-negativo                               |
| <b>HGCC</b>       | Hospital Geral César Cals                   |
| <b>HGF</b>        | Hospital Geral de Fortaleza                 |
| <b>HUWC</b>       | Hospital Universitário Walter Cantídio      |

|                         |  |
|-------------------------|--|
| <b>H<sub>2</sub>O</b>   | Água   |
| <b>IH</b>               | Infecção hospitalar                          |
| <b>IRAS</b>             | Infecções relacionadas a assistência à saúde |
| <b>ISs</b>              | Sequências de inserção                       |
| <b>IMP</b>              | Imipenemase                                  |
| <b>IMI</b>              | Imipenem-hidrolisando β-lactamase            |
| <b>KCl</b>              | Cloreto de potássio                          |
| <b>KPC</b>              | Klebsiella pneumoniae carbapenemase          |
| <b>LAMP</b>             | Laboratório de microbiologia e parasitologia |
| <b>MBL</b>              | Metallo-β-lactamases                         |
| <b>MDR</b>              | Multidroga resistente                        |
| <b>MgCl<sub>2</sub></b> | Cloreto de magnésio                          |
| <b>NDM</b>              | Metallo-β-lactamase Nova Dehli               |
| <b>NMC-A</b>            | Não metaloenzima carbapenemase A             |
| <b>OmpA</b>             | Proteína de membrana externa A               |
| <b>OXA</b>              | Oxacilinase                                  |
| <b>PCR</b>              | Reação em cadeia da polimerase               |
| <b>PDR</b>              | Pan-resistentes                              |
| <b>RNA</b>              | Ácido ribonucleico                           |
| <b>SCMS</b>             | Santa Casa de Misericórdia de Sobral         |
| <b>SME</b>              | Enzima de <i>Serratia. Marcescens</i>        |
| <b>SHV</b>              | Sulfhydryl-Variable β-Lactamase              |
| <b>TBE</b>              | Tris/Borato/EDTA                             |
| <b>UFC</b>              | Universidade Federal do Ceará                |
| <b>UFC</b>              | Unidade formadora de colônia                 |
| <b>UTI</b>              | Unidade de terapia intensiva                 |
| <b>VIM</b>              | Verona integron-encoded metallo-β-lactamase  |
| <b>XDR</b>              | Extremamente resistente                      |

## LISTA DE SÍMBOLOS

|                   |                     |
|-------------------|---------------------|
| %                 | Porcentagem         |
| >                 | Maior que           |
| ≥                 | Maior ou igual      |
| ®                 | Marca registrada    |
| μl                | Microlitro          |
| μm                | Micrômetro          |
| μM                | Micromolar          |
| MgCl <sub>2</sub> | Cloreto de magnésio |
| ml                | Mililitro           |
| mM                | Milimolar           |
| ng                | Nanograma           |
| nm                | Nanômetro           |
| °C                | Grau Celsius        |
| U                 | Unidades            |
| β                 | Beta                |

## SUMÁRIO

|       |  |    |
|-------|--|----|
| 1     | INTRODUÇÃO.....  | 17 |
| 2     | REVISÃO DE LITERATURA.....                             | 21 |
| 2.1   | <i>Acinetobacter baumannii</i> .....                   | 21 |
| 2.2   | Resistência a antimicrobianos.....                     | 23 |
| 2.3   | Carbapenemases.....                                    | 24 |
| 2.3.1 | Carbapenemases Classe A.....                           | 24 |
| 2.3.2 | Carbapenemases Classe B.....                           | 24 |
| 2.3.3 | Carbapenemases Classe C (AmpC).....                    | 25 |
| 2.3.4 | Carbapenemases Classe D.....                           | 25 |
| 2.4   | Família OXA.....                                       | 27 |
| 3     | OBJETIVOS.....   | 30 |
| 3.1   | Objetivo Geral.....                                    | 30 |
| 3.2   | Objetivos específicos.....                             | 30 |
| 4     | MATERIAL E MÉTODOS.....                                | 31 |
| 4.1   | Aspectos éticos.....                                   | 31 |
| 4.2   | Tipo de estudo.....                                    | 31 |
| 4.3   | Coleta de dados.....                                   | 31 |
| 4.4   | Delineamento experimental.....                         | 33 |
| 4.5   | Crítérios de inclusão e exclusão.....                  | 33 |
| 4.6   | Reativação dos isolados.....                           | 34 |
| 4.7   | Deteção e identificação dos genes <i>bla</i> OXA ..... | 34 |
| 4.8   | Reação em Cadeia da Polimerase.....                    | 35 |
| 4.9   | Análise Estatística.....                               | 35 |
| 5     | RESULTADOS.....  | 37 |
| 6     | DISCUSSÃO.....   | 51 |
| 7     | CONCLUSÃO.....   | 54 |
|       | ARTIGO.....  | 55 |
|       | REFERÊNCIAS BIBLIOGRÁFICAS.....                        | 71 |
|       | APÊNDICE.....  | 79 |
|       | ANEXOS .....   | 80 |



## 1. INTRODUÇÃO

Infecção hospitalar (IH), também denominada institucional ou nosocomial, é qualquer infecção adquirida após a internação de um paciente em um hospital e pode se manifestar durante a internação ou após a alta, quando puder ser relacionada com a hospitalização (BRASIL, 1998). Infecções relacionadas à assistência à saúde (IRAS) são consideradas o evento adverso mais comum das hospitalizações e têm ameaçado a segurança dos pacientes em todo o mundo (PADOVEZE, FORTALEZA, 2014).

No Brasil, apesar de não haver uma sistematização dos dados, estima-se que aproximadamente de 5% a 15% dos pacientes hospitalizados e de 25% a 35% dos pacientes admitidos em Unidades de Terapia Intensiva (UTI) adquiram algum tipo de IRAS sendo esta, em geral, a quarta causa de mortalidade (OLIVEIRA *et al.*, 2016; LORENZINI *et al.*, 2013).

Dentre as infecções causadas por bactérias Gram negativas associadas à assistência à saúde, os patógenos mais comuns e preocupantes são as bactérias da família *Enterobacteriaceae*, *Pseudomonas aeruginosa*, e *Acinetobacter sp.* Eles causam ampla gama de infecções, como bacteremia, pneumonia, infecções cutâneas e de tecidos moles e infecções do trato urinário. Infecções causadas por *P. aeruginosa* e *A. baumannii* com fenótipos multi, extremamente e pan-resistentes (MDR, XDR e PDR), são desafiadoras e difícil de tratar, resultando em aumento dos custos de internação, hospitalização prolongada e, principalmente, aumento das taxas de morbidade e mortalidade, especialmente em indivíduos imunocomprometidos. O tratamento de infecções causadas por essas bactérias tem aumentado e é um desafio comum na maioria dos hospitais (EVANS *et al.*, 2007; PRAGASAM *et al.*, 2016).

A resistência de bactérias aos antibióticos e outras drogas antimicrobianas é um fenômeno natural e de pressão seletiva, mas que devido ao seu uso indiscriminado e recorrente, tornou-se um problema de saúde pública (OLIVEIRA, 2016). No Brasil, foram identificados isolados de *A. baumannii* resistentes em várias cidades, como Rio de Janeiro (RJ), São Paulo (SP), Belo Horizonte (MG), Porto Alegre (RS), Blumenau (SC), Curitiba (PR), São Luiz (MA) e Salvador (BA), além de outros países da América Latina, como Colômbia (FERREIRA *et al.*, 2011).

Dentre os mecanismos de resistência, destacam-se a reduzida permeabilidade da membrana externa bacteriana, perda de porinas, alteração nos sítios de ligação dos antibióticos, hiperexpressão de bombas de efluxo e produção de  $\beta$ -

lactamase. No entanto, o mecanismo que mais contribui para a rápida disseminação de cepas multirresistentes dentro de ambientes hospitalares é a aquisição de genes de resistência e produção de enzimas  $\beta$ -lactamases, as quais se propagam principalmente por plasmídeos, transposons ou integrons, e do elemento de inserção ISAbal1 localizado entre os genes de resistência como *bla*<sub>OXA-23</sub>, *bla*<sub>OXA-24</sub> e *bla*<sub>AmpC</sub> que têm sido associados a um aumento na resistência aos carbapenêmicos (MARTINS *et al.*, 2015).

Existem relatos que o mecanismo mais comum de resistência às drogas é a capacidade de algumas bactérias em hidrolisar  $\beta$ -lactamases, incluindo metalo- $\beta$ -lactamases de classe B e oxacillinases (carbapenemases de classe D) (SOARES *et al.*, 2012). O uso generalizado de antimicrobianos de amplo espectro tem desempenhado um papel importante no aparecimento de carbapenemases de classe D com capacidade de hidrolisar  $\beta$ -lactamases, que têm sido amplamente identificadas em *A. baumannii*. Recentemente, o gene que codifica este enzima tem sido identificado em plasmídeos, o que permite que ele se espalhe entre as várias espécies de *Acinetobacter* (MA *et al.*, 2015). A propagação clonal de carbapenemases do tipo OXA tem ocorrido dentro de vários hospitais, enquanto que a disseminação inter-hospitalar de *A. baumannii*, que carregam os genes OXA, também tem sido observada em vários países (TARTARI *et al.*, 2016).

Carbapenemases são  $\beta$ -lactamases com capacidades hidrolíticas versáteis. Apresentam a capacidade de hidrolisar penicilinas, cefalosporinas, monobactâmicos, e carbapenêmicos. Atualmente, a propagação de microrganismos produtores de carbapenemases especialmente bactérias Gram-negativas é um problema de saúde pública de grande importância e deve ser investigado a fim de controlar sua disseminação (BIALVAEI *et al.*, 2015).

Foram identificadas quatro classes moleculares diferentes de carbapenemases: A, B, C, e D, das quais as classes A, B e D são as de maior relevância clínica. As classes A, C, e D são carbapenemases que contêm o aminoácido serina no local ativo. A classe de carbapenemases B, também conhecida como um subgrupo de metalo- $\beta$ -lactamases, contém pelo menos um átomo de zinco no seu local ativo (DORTET *et al.*, 2014; MA *et al.*, 2015).

Entre as carbapenemases adquiridas, enzimas do grupo OXA são as mais comumente encontradas em todo o mundo e, apresentam mais de 400 variantes conhecidas (VIEHMAN *et al.*, 2015). Pelo menos 121 variantes diferentes de classe D  $\beta$ -

lactamases têm sido identificadas em nível de proteína e, 45 destas variantes hidrolizam carbapenêmicos. Atualmente, nove principais subgrupos de carbapenemases OXA foram identificados com base em homologias de aminoácidos. Quatro subgrupos de OXA com atividade de carbapenemases, incluindo OXA-23, OXA-24, OXA-51 e OXA-58, são predominantes em *A. baumannii*. (LIN & LAN, 2014). Desses, o grupo OXA-23 é amplamente disseminado e, é a causa mais frequente de resistência a carbapenêmicos clinicamente relevante em *A. baumannii* (DORTET *et al.*, 2014; MA *et al.*, 2015).

A taxa de resistência aos carbapenêmicos em isolados *A. baumannii* está aumentando mundialmente (CHUANG *et al.*, 2014). Dois fatores fundamentais que contribuem para a difusão significativa de *A. baumannii* em hospitais de todo o mundo são a extensão de sua resistência antimicrobiana e sua capacidade de sobreviver em ambientes hospitalares (TUON *et al.*, 2015).

A incidência de carbapenemases, assim como o tipo de enzima predominante varia entre os países, parcialmente em função da relação de troca da população entre as regiões e os possíveis reservatórios de cada carbapenemase, mesmo entre hospitais da mesma região (DJAHMI *et al.*, 2014), sendo importante a realização de estudos epidemiológicos locais com finalidade de melhorar a detecção de cepas produtoras, bem como alertar os clínicos sobre a possibilidade de falha na terapia com  $\beta$ -lactâmicos.

As taxas de infecção hospitalar em hospitais de ensino frequentemente são maiores do que em outros equipamentos de saúde, provavelmente pelo tempo de permanência dos pacientes, pela movimentação dos profissionais e estudantes, ressalta-se ainda que infecções hospitalares causadas por bactérias multirresistentes estejam associadas com aumento dos custos de internação, hospitalização prolongada e, principalmente, aumento das taxas de morbidade e mortalidade (JIA *et al.*, 2015).

Desta forma, ressalta-se a importância de uma investigação do perfil de sensibilidade antimicrobiana e da diversidade genômica dos isolados nosocomiais de *A. baumannii* em hospitais de ensino porque a geração dessas informações poderá ser útil para o controle da disseminação desses patógenos nos e entre os hospitais pesquisados, implicando diretamente nos eixos de Segurança do Paciente e melhorando a qualidade da assistência. Além disso, essas informações poderão auxiliar na implantação e/ou na

reavaliação das políticas de saúde voltadas para prevenção de contato com pacientes infectados.

## 2. REVISÃO DE LITERATURA

### 2.1 *Acinetobacter baumannii*

O gênero *Acinetobacter* remonta ao início do século 20, em 1911, quando Beijerinck, um microbiologista holandês, descreveu um organismo chamado *Micrococcus calco-Aceticus* que foi isolado a partir do solo por enriquecimento em um meio mínimo de cálcio contendo acetato (BEIJERINCK, 1911).

A designação do gênero atual *Acinetobacter*, foi inicialmente proposta por Brisou e Prévot em 1954 para separar os microrganismos com motilidade, dentro do gênero *Achromobacter* (BRISOU *et al.*, 1954). Foi somente até em 1968 que esta designação de gênero tornou-se mais amplamente aceita. Em 1968 uma pesquisa concluiu que as diferentes espécies possuíam essa característica semelhante e foram listadas pertencentes a um único gênero, para o qual o nome *Acinetobacter* foi proposto, e que mais subclassificações em espécies diferentes com base em características fenotípicas não eram possíveis (BAUMANN *et al.*, 1968).

O gênero *Acinetobacter* é caracterizado por cocobacilos gram-negativos imóveis, catalase positivos, oxidase-negativos e não fermentadores, classificado como integrante da família *Moraxellaceae*, da ordem *Gammaproteobacteria* (VIEIRA, PICOLI, 2015). Cresce em ágar padrão não seletivo; suas colônias em ágar sangue aparecem opacas ou brancas, mucoides, lisas, não hemolíticas e são menores que as das enterobactérias. Em ágar MacConkey aparece como um fraco fermentador da lactose (ABBOTT *et al.*, 2013). Este gênero compreende 26 espécies nomeadas e nove espécies genômicas, sendo que quatro espécies de *Acinetobacter* (*Acinetobacter calcoaceticus*, *Acinetobacter baumannii*, *Acinetobacter pittii* e *Acinetobacter nosocomialis*) são referidas como complexo *A. baumannii-calcoaceticus* por apresentarem características fenotípicas análogas. Dentre as espécies citadas, *A. baumannii* é a mais prevalente clinicamente (VIEIRA, PICOLI, 2015).

*A. baumannii* é um patógeno oportunista comumente associado a surtos de infecções nosocomiais, com incidência mais elevada em unidades de terapia intensiva (UTIs). Esta bactéria apresenta mecanismos que facilitam a colonização de pacientes e de equipamentos hospitalares, como a formação de biofilmes por ação das proteínas da membrana bacteriana externa A – OmpA, um fator-chave na descrição da patogênese deste microrganismo (VIEIRA, PICOLI, 2015). Além disso, sua habilidade em sobreviver em uma variedade de condições, em ambientes úmidos e secos bem como

em alimentos e em pele saudável como, por exemplo, nas mãos de manipuladores de alimentos e profissionais da saúde e persistir por longos períodos em superfícies o faz uma frequente causa de surtos de infecção hospitalar (ABBOTT *et al.*, 2013; KEMPF, ROLAIN, 2012).

*A. baumannii* é intrinsecamente resistente a vários antimicrobianos, dentre eles as penicilinas, ampicilinas, macrolídeos, cefalosporinas de segunda e terceira geração, ciprofloxacina e cloranfenicol (TARTARI, 2016). Até a década de 1970, a maioria dos isolados clínicos deste patógeno era suscetível a muitos antibióticos disponíveis, incluindo  $\beta$ -lactâmicos, como carbapenêmicos. No entanto, este microrganismo apresentou uma elevada capacidade de desenvolver resistência contra antibióticos, o que resultou, na última década, em uma elevação da incidência de cepas multirresistentes desta bactéria em todo o mundo (**Figura 1**) e associação com altos índices de mortalidade (VIEIRA, PICOLI, 2015).

**Figura 1-** Resistência aos carbapenêmicos em *Acinetobacter baumannii* em diferentes países



FONTE: Tartari, 2016.

## 2.2 Resistência a antimicrobianos

A resistência das diversas espécies bacterianas aos antimicrobianos pode variar entre países, regiões e de acordo com a origem do microrganismo, que pode ser hospitalar ou comunitária e pode ser um fenômeno genético ou não. Os fenômenos genéticos estão relacionados com a existência de genes ou elementos móveis (plasmídeos, transposons e integrons) presentes nos microrganismos, que codificam diferentes mecanismos bioquímicos impedindo a ação das drogas sendo conhecido como resistência adquirida (CHROMA; KOLAR, 2010).

Os plasmídeos são elementos extracromossomais de DNA circular presentes em bactérias, capazes de se replicar independente do hospedeiro. Dessa forma, a resistência proveniente de alterações fisiológicas ou estruturais pode ser levada a diversos ambientes e de diversas formas, principalmente através da transferência horizontal de genes de resistência dentro dos plasmídeos (MATHERS *et al.*, 2015), afetando os mais variados organismos sejam eles aquáticos e/ou terrestres (KÜMERER, 2009b).

O fenômeno não genético é aquela resistência que ocorre de forma natural dentro de uma espécie ou gênero bacteriano, sendo a chamada resistência intrínseca ou natural (CHROMA, KOLAR, 2010). Em alguns casos, a resistência natural a um determinado antibacteriano é uma característica indispensável à autodefesa e proteção dos microrganismos produtores de antibióticos, sendo esses produzidos frente à competição com outras bactérias pelo mesmo habitat (BRIGOTTI *et al.*, 2010).

Há três principais formas estratégicas que os microrganismos podem desenvolver resistência às drogas: 1) produzindo uma enzima que destrua o antimicrobiano; 2) alterando o alvo molecular de ligação do antimicrobiano; 3) evitando a chegada do antimicrobiano ao alvo (através de bombas de efluxo ou permeabilidade de membrana). De forma geral, após o microrganismo encontrar a sua melhor estratégia, os novos genes que conferem resistência, são disseminados entre aqueles de sua espécie e até mesmo para microrganismos de outras espécies, caso o gene esteja localizado dentro de um elemento móvel como o plasmídeo. Em bactérias Gram-negativas o mais comum é uma combinação das estratégias 1 (através da produção de enzima) e 3 (bomba de efluxo ou permeabilidade de membrana) (OLIVEIRA, 2016). As resistências aos  $\beta$ -lactâmicos, em alguns casos, podem estar associadas à diminuição da

permeabilidade da membrana externa com super expressão de  $\beta$ -lactamases ou expressão de carbapenemases (NORDMANN *et al.*, 2011).

A disseminação de resistência aos carbapenêmicos ocorre devido à produção de enzimas carbapenemases. Essas diferentes enzimas estão muito relacionadas com organismos com perfil de resistência a múltiplas drogas, como é o caso da *P. aeruginosa* e *Acinetobacter* sp., que ao adquirirem uma carbapenemase, podem se tornar vetores de transmissão dessas enzimas a alguns membros da família *Enterobacteriaceae* (THOMSON, 2010).

A resistência devido à produção de carbapenemases em diversos isolados, frequentemente, está acompanhada de outro fator de resistência como a produção de ESBL ( $\beta$ -lactamases de Espectro Ampliado) (DIENSTMANN *et al.*, 2010; NORDMANN *et al.*, 2012).

## **2.3 Carbapenemases**

### **2.3.1 Carbapenemase Classe A**

As carbapenemases da classe A, hidrolisam todos os  $\beta$ -lactâmicos e sua atividade pode ser inibida parcialmente por ácido clavulânico, tazobactam e ácido borônico (NORDMANN *et al.*, 2013). Ainda, hidrolisam as penicilinas e cefalosporinas mais eficientemente que os carbapenêmicos (BUSH *et al.*, 1995).

Nessa classe, estão incluídas as famílias KPC, IMI e SME e as enzimas NMC-A e algumas GES; e estas podem ser produzidas por membros da família *Enterobacteriaceae* (THOMSON, 2010).

### **2.3.2 Carbapenemase Classe B**

As metalo- $\beta$ -lactamases são capazes de hidrolisar todos os  $\beta$ -lactâmicos exceto o aztreonam e somente podem ser inibidas por quelantes de zinco, como o ácido etilenodiaminotetracético (EDTA) e o ácido dipicolínico (MATHERS *et al.*, 2015). Os inibidores de uso clínico e comercial como ácido clavulânico, tazobactam e sulbactam, não conseguem afetar sua atividade (NORDMANN *et al.*, 2013). O seu mecanismo de hidrólise é dependente de uma interação entre o  $\beta$ -lactâmico e íons de zinco em seu sítio ativo (NORDMANN *et al.*, 2012 B; QUEENAN, BUSH, 2007).



As metalo- $\beta$ -lactamases incluem NDM, VIM e IMP e a SPM-1 esta última descrita pela primeira vez em São Paulo (TOLEMAN *et al.*, 2002). Essas enzimas têm sido encontradas em alguns membros da família *Enterobacteriaceae*, *P. aeruginosa* e *A. baumannii* (THOMSON, 2010). Outros membros desta família são GIM e SIM, cujos genes estão localizados em integrons e quando estes genes estão associados a plasmídeos ou transposons, sua transferência se torna fácil (NORDMANN *et al.*, 2012).

### 2.3.3 Carbapenemase Classe C (AmpC)

A filogenia indica que as enzimas AmpC e  $\beta$ -lactamase das classes A e D divergiram de um ancestral comum, mas que as AmpCs antecederam a esta divergência (JACOBY, 2009). A superexpressão constitutiva de  $\beta$ -Lactamases AmpC em organismos Gram-negativos pode ocorrer tanto pela desregulação do gene cromossômico ampC ou por aquisição de um gene ampC através de um elemento móvel (plasmídeo) (PÉREZ-PÉREZ, HANSON, 2002). Algumas variedades das famílias de AmpC, determinadas por genes cromossômicos, podem ser possíveis progenitores das enzimas determinadas por genes em plasmídeos (JACOBY, 2009).

As  $\beta$ -lactamases AmpC, tanto cromossomal (quando hiperproduzida) quanto mediada por plasmídeo, hidrolisam penicilinas, cefalosporinas de espectro estreito e estendido e cefamicinas e não são inibidas por ácido clavulânico, sulbactam e tazobactam (JACOBY, 2009; THOMSON, 2010). Estas enzimas têm sido encontradas em vários membros da família *Enterobacteriaceae* como *Klebsiella* spp., *Salmonella* spp., *Citrobacter freundii*, *Enterobacter aerogenes*, *Proteus mirabilis* e *Escherichia coli* (JACOBY, 2009). As  $\beta$ -lactamases AmpC possuem vários integrantes, mas as mais encontradas são as das famílias CMY, FOX e DHA e estão sempre associadas a multirresistência (THOMSON, 2010), dentre essas, a enzima AmpC mais comum é CMY-2 (JACOBY, 2009).

### 2.3.4 Carbapenemase Classe D

As oxacilinases (OXAs) são capazes de hidrolisar penicilinas e carbapenêmicos, mas não conseguem hidrolisar cefalosporinas de amplo espectro (cefotaxima, ceftriaxona, ceftazidima e cefepime) (NORDMANN *et al.*, 2012) ou, quando hidrolisam, o fazem até uma determinada concentração (TÄNGDÉN, GISKE, 2015).

As OXAs que são comumente produzidas por *Acinetobacter* sp., são codificadas por genes localizados em plasmídeos (QUEENAN, BUSH, 2007). Essas enzimas também têm sido detectadas em *P. aeruginosa*, *K. pneumoniae* e *E. coli* (THOMSON, 2010). Nas enterobactérias o tipo de enzima mais comumente encontrado é OXA-48 e ainda OXA-163 que têm sido identificadas em alguns países da América do Sul (MATHERS *et al.*, 2015). Cabe ressaltar que o tipo OXA-48 não é encontrado em bactérias não fermentadoras, portanto não está relacionada com as OXAs encontradas em *Acinetobacter* sp. (TÄNGDÉN, GISKE, 2015).

A transcrição de genes  $\beta$ -lactamases é reforçada por diferentes sequências de inserção (ISs) localizadas em sua proximidade. As ISs mais comumente associada com genes de carbapenemases em *A. baumannii* multiresistente são ISaba 1, ISaba 2, ISaba 3, ISaba 4 e IS18 (KUO *et al.*, 2014).

Embora as sequências ISAbal sejam comumente detectadas nos genomas de ambas as linhagens suscetíveis e resistentes aos carbapenêmicos, a inserção de sequências ISAbal a montante do *bla*<sub>OXA</sub> é exclusiva para a maioria dos isolados de *A. baumannii* resistentes aos carbapenêmicos, sugerindo que a recombinação genética por meio da transposição de sequências de inserção (IS) podem conferir resistência aos carbapenêmicos na maioria dos isolados clínicos (KUO *et al.*, 2014).

Apesar das carbapenemases de classe D hidrolisar fracamente os carbapenêmicos, elas podem conferir resistência quando superexpressas. Esta resistência é mediada por meio de uma combinação natural de baixa permeabilidade para  $\beta$ -lactâmicos, superexpressão de bombas de efluxo e elementos ISAbal localizadas a montante do gene. Vários estudos sugerem que o maior nível de resistência aos carbapenêmicos é devido à expressão de genes juntamente com um promotor forte, tal como o fornecido pela sequência de inserção móvel ISAbal, conferindo maior resistência (KUO *et al.*, 2014).

A identificação de um gene que codifica para as  $\beta$ -lactamases de classe D foi relatada pela primeira vez em *A. baumannii* em 1955. Essa enzima, originalmente denominada ARI-1, foi identificada na Escócia e foi encontrada em um plasmídeo (ABBOTT *et al.*, 2013; PELEG *et al.*, 2008). Essa enzima foi renomeada como OXA-23 após a sua caracterização genética e bioquímica. Um segundo grupo de  $\beta$ -lactamases de classe D, que compreende OXA-24, OXA-25, OXA-26 e OXA-40, compartilham 63% e 60% de identidade aminoacídica com OXA-51/69 e OXA-23, respectivamente.

Um terceiro grupo de carbapenemase de classe D contém OXA-58, que compartilha 59% dos aminoácidos com OXA-51/69 e < 50% com outras carbapenemases de classe D (POIREL; NORDMANN, 2006).

A disseminação de *A. baumannii* produtor de OXA-23 está cada vez mais generalizada, com relatos na África, Europa, Oceania, Ásia, China e América do Sul (CARVALHO *et al.*, 2009). O gene OXA-58 também foi identificado em isolados clínicos de *A. junii*, na Romênia e na Austrália, mostrando, assim, o potencial de disseminação de OXA-23 no gênero *Acinetobacter* (MARQUE *et al.*, 2005).

Os genes *bla*<sub>OXA-23</sub> e *bla*<sub>OXA-58</sub> foram identificados principalmente em plasmídios, já os genes carbapenemase de Classe D, pertencentes ao *cluster bla*<sub>OXA-24</sub>, parecem ser localizados apenas cromossomicamente. Análises de sequências têm indicado que o elemento ISAbal, pertencente à família IS4, é identificado a montante do gene *bla*<sub>OXA-23</sub>, independentemente da origem geográfica do isolado. Outro elemento, ISAbal4, pertencente à família IS982, foi também identificado em isolados de *A. baumannii*. A presença desses elementos IS a montante do gene *bla*<sub>OXA-23</sub> indica que eles podem fornecer regiões promotoras fortes, alterando a expressão do gene e podem também desempenhar um papel no processo de aquisição e disseminação desses genes de resistência (POIREL; NORDMANN, 2006).

## 2.4 Família OXA

As oxacilinas (OXAs) são enzimas que pertencem à classe D de Ambler e apresentam o resíduo de aminoácido de serina no seu sítio ativo, inativam principalmente os antimicrobianos carbapenêmicos e algumas cefalosporinas, como a cefepima; no entanto não há ação hidrolítica quando o substrato é a ceftazidima (BROWN; AMYES, 2006). Uma característica marcante deste grupo de enzimas é o fato de serem fracamente inibidas pelo ácido clavulânico, mas fortemente inibidas *in vitro*, pelo cloreto de sódio (POIREL; NAAS; NORDMANN, 2010). Mais de 150 variantes distintas de enzimas da classe D já foram descritas, contudo apenas 45 destas exibem a capacidade de hidrolisar o anel beta-lactâmico dos carbapenêmicos. Avaliando a identidade entre as sequências de aminoácidos das variantes das enzimas do tipo OXA, é possível identificar nove subgrupos (WALTER-RASMUSSEN, HOIBY, 2006).

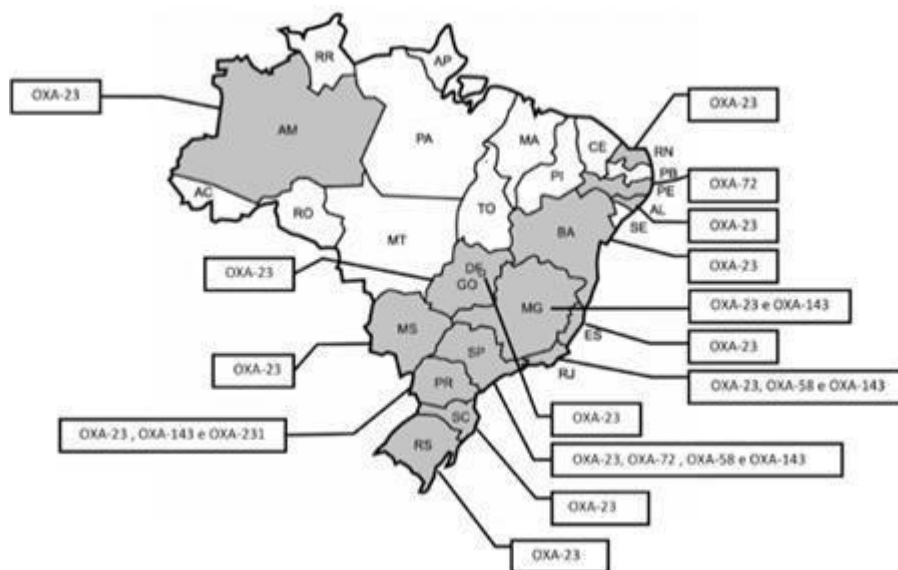
Paton *et al.* (1993) descreveram a primeira OXA β-lactamase com atividade de carbapenemase em 1993 (KARMOSTAJI *et al.*, 2013). Desde então, várias

oxacilinas com atividade de hidrolizar carbapenêmicos foram relatadas. A enzima foi purificada a partir de um estirpe de *A. baumannii* multirresistente isolada em 1985 de um paciente em Edimburgo, Escócia (QUEENAN, BUSH, 2007). A primeira descrição de *A. baumannii* resistente a carbapenêmicos no Brasil foi em 2003, com oito isolados, relacionados a um surto, coletados de pacientes internados no Hospital das Clínicas e no Hospital Universitário Evangélico de Curitiba. Esses isolados eram produtores de OXA-23 e faziam parte de um mesmo clone, demonstrando a ocorrência da disseminação inter-hospitalar naquela cidade (DALLA-COSTA *et al.*, 2003).

O segundo relato foi descrito na literatura apenas em 2009, observando a disseminação de clones multirresistentes de *A. baumannii* produtores do gene codificador da enzima OXA-23 na cidade do Rio de Janeiro. Dois clones foram prevalentes, sendo um deles disseminados em sete hospitais e o outro em cinco hospitais (CARVALHO *et al.*, 2009). Neste mesmo ano, ocorreu o registro da transmissão e disseminação clonal de *A. baumannii* produtor desta enzima, entre profissionais de saúde, equipamentos médicos e pacientes em Porto Alegre (MARTINS *et al.*, 2009). Em 2010, Schimith-Bier e colaboradores avaliaram a persistência do primeiro clone de *A. baumannii* identificado na cidade de Curitiba. Neste estudo, foram avaliados isolados clínicos de *A. baumannii* onde foi detectada a presença de três clones distintos produtores da enzima OXA-23, sendo um deles genotipicamente semelhante ao primeiro clone identificado em 1999, que persistiu no mesmo hospital até abril de 2004.

Depois desses achados enzimas do grupo OXA já foram identificadas em vários estados brasileiros, como São Paulo (ANTONIO *et al.*, 2008; ANTONIO *et al.*, 2009), Rio de Janeiro (CARVALHO *et al.*, 2009; CARVALHO *et al.*, 2011), Rio Grande do Sul (MARTINS *et al.*, 2009; MARTINS, BARTH, 2013), Espírito Santo, Alagoas, Amazonas, Bahia, Distrito Federal, Goiás, Minas Gerais, Rio Grande do Norte, Santa Catarina, Mato Grosso do Sul (CARVALHO *et al.*, 2011). Contudo, não há relatos da ocorrência dessas enzimas no estado do Ceará, justificando a pesquisa da frequência dos genes *bla*<sub>OXA</sub> em isolados de *A. baumannii* no nosso estado (**Figura 2**).

**Figura 2** - Distribuição do gene *bla*<sub>OXA</sub> em isolados de *A.baumannii* no Brasil



FONTE: Medeiros, Lincopan, 2013.

*A. baumannii* produtor da enzima OXA-23 tem-se disseminado rapidamente e surtos hospitalares relacionados a esse microrganismo têm sido observados em vários países do mundo (MUGNIER *et al.*, 2010), como Tunísia, Emirados Árabes Unidos (MUGNIER *et al.*, 2010), Bulgária (STOEVA *et al.*, 2008), Afeganistão e Iraque (CALHOUN *et al.*, 2008), Turquia (GUR *et al.*, 2008), Tailândia (NIUMSUP *et al.*, 2009), Itália (ANSALDI *et al.*, 2011), França (GARLANTEZEC *et al.*, 2011), Portugal (MANAGEIRO *et al.*, 2012), Polônia (NOWAK *et al.*, 2012) e Grécia (LIAKOPOULOS *et al.*, 2012).

### 3 OBJETIVOS

#### 3.1 Objetivo Geral:

Detectar a frequência de *Acinetobacter baumannii* produtores de carbapenemases isolados de pacientes com diagnóstico de infecção hospitalar em hospitais de ensino no Ceará e identificar os genes responsáveis pela produção dessa enzima.

#### 3.2 Objetivos Específicos:

- Verificar a frequência de isolados nosocomiais de *A. baumannii* na Santa Casa de Misericórdia de Sobral (SCMS), no Hospital Geral de Fortaleza (HGF), no Hospital Geral César Calls (HGCC) e no Hospital Universitário Walter Cantídio (HUWC);
- Analisar o perfil de sensibilidade antimicrobiana de espécies de *A. baumannii* isolados de infecções nosocomiais na SCMS, no HGF, no HGCC e no HUWC;
- Investigar a presença dos genes *bla*<sub>OXA-23</sub>, *bla*<sub>OXA-24</sub>, *bla*<sub>OXA-51</sub> e *bla*<sub>OXA-58</sub> nos isolados nosocomiais de *A. baumannii* oriundos dos diferentes hospitais de ensino pesquisados;
- Relacionar o isolamento de *A. baumannii* dos hospitais de ensino supramencionados com a origem clínica, local de internação, perfil de resistência e frequência dos genes *bla*<sub>OXA-23</sub>, *bla*<sub>OXA-24</sub>, *bla*<sub>OXA-51</sub> e *bla*<sub>OXA-58</sub>.

## 4. MATERIAL E MÉTODOS

### 4.1 Aspectos éticos

Respeitando os aspectos éticos, conforme resolução N° 466/12 do Conselho Nacional de Saúde, esta pesquisa foi aprovada pela Comissão Interna de Pesquisa dos hospitais de ensino (SCMS, HGF, HGCC e HUWC - **Anexo A, B, C e D**) e pelo Comitê de Ética em Pesquisa – CEP da Universidade Estadual Vale do Acaraú (**Parecer 1.843.504/2016 – Anexo E**). Os sujeitos da pesquisa tiveram suas identidades preservadas e eles ou seus responsáveis assinaram um termo de consentimento livre e esclarecido (TCLE) sobre sua participação neste trabalho de pesquisa (**APÊNDICE 1**).

### 4.2 Tipo de estudo

Trata-se de um estudo primário, observacional e transversal, onde foram coletados dados epidemiológicos em relação à frequência e o perfil de sensibilidade antimicrobiana de *A. baumannii* provenientes de pacientes com diagnóstico de infecção hospitalar internados em quatro hospitais de ensino de Ceará (SCMS, HGF, HGCC e HUWC). Além disso, foi realizada pesquisa experimental *in vitro* para investigação da presença dos genes *bla*<sub>OXA-23</sub>, *bla*<sub>OXA-24</sub>, *bla*<sub>OXA-51</sub> e *bla*<sub>OXA-58</sub> nos espécimes de *A. baumannii* através de técnicas laboratoriais, como PCR convencional e eletroforese.

### 4.3 Coleta de dados

Durante o período de novembro de 2016 a abril de 2017 foram coletados espécimes nosocomiais de *A. baumannii* isolados de sangue, aspirado traqueal, ponta de cateter percutâneo, urina, secreção de abscesso e de ferida cirúrgica. Vale ressaltar, que o isolamento das espécies bacterianas foi realizado a partir de amostras clínicas de pacientes internados em enfermarias e Unidades de Terapia Intensiva com diagnóstico de infecção hospitalar, desde que essas amostras já tivessem sido previamente solicitadas e coletadas pela equipe médica dos hospitais de ensino envolvidos nesta pesquisa. Portanto, não foi feita coleta adicional de sangue e nem de nenhuma outra amostra clínica do paciente. Dessa forma, a quantidade e manipulação das amostras seguiram o protocolo operacional padrão de cada hospital, assim como o método de descarte das amostras biológicas seguiu o plano de gerenciamento de resíduos de serviço de saúde de acordo com a Resolução RDC N°306 de 07 de dezembro de 2004.

Todos os isolados foram previamente identificados no laboratório de microbiologia dos hospitais analisados através do sistema automatizado VITEK®2 (BioMérieux, Marcy-l'Etoile, France). A Reação em Cadeia da Polimerase (PCR) foi utilizada para amplificar o gene *bla*<sub>OXA-51</sub> foi posteriormente realizada para confirmação da identidade dos espécimes de *A. baumannii* (TURTON et al., 2006).

A análise da sensibilidade aos antimicrobianos: Penicilinas (ampicilina/sulbactam, piperacilina/tazobactam e ampicilina), cefalosporinas (ceftriaxona, cefoxitina, ceftazidima, cefuroxima, cefuroxima axetil e cefepima), quinolonas (ciprofloxacina), aminoglicosídeos (amicacina e gentamicina), carbapenêmicos (imipenem e meropenem), glicilciclinas (tigeciclina) e polipeptídeos (colistina) foi executada no laboratório de microbiologia dos hospitais de ensino investigados através do sistema automatizado VITEK®2 (*BioMérieux, Marcy-l'Etoile, France*). A Multidroga resistência (MDR) foi definida como resistência a três ou mais classes dos fármacos testados (CASTILHO et al., 2017). Adicionalmente, foi determinada a Concentração Inibitória Mínima (CIM) pela técnica de microdiluição em caldo, de acordo com as recomendações do *Clinical and Laboratory Standards Institute* (CLSI, 2018), para os isolados resistentes à tigeciclina.

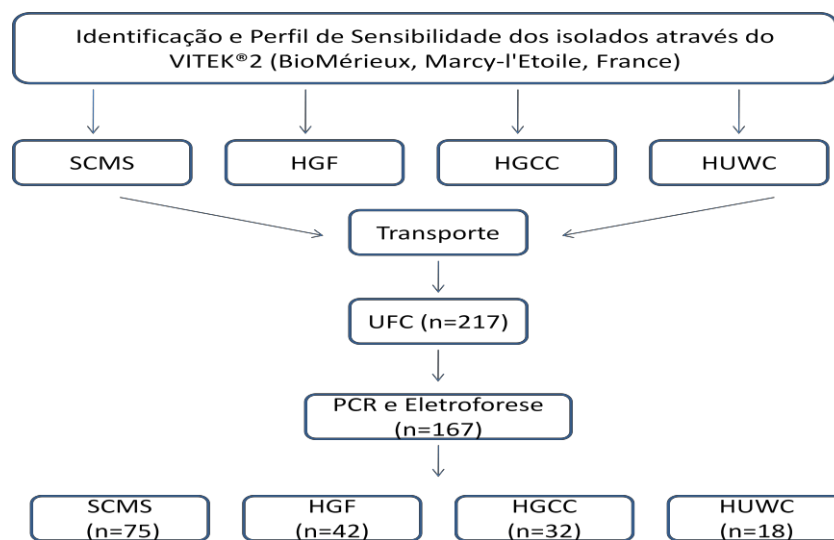
Após isolamento, identificação e análise do perfil de sensibilidade antimicrobiana realizados nos hospitais pesquisados, os espécimes foram armazenados e enviados em tubos contendo BHI (*Brain Heart Infusion*) (Himedia ®, Mumbai, Índia) com glicerol a 20% ao Laboratório de Microbiologia e Parasitologia (LAMP) da Universidade Federal do Ceará (UFC) em Sobral, onde foram conservados em freezer a - 80°C (Revco, EUA) para posterior processamento.

No caso dos espécimes que foram isolados dos hospitais de ensino em Fortaleza, esses foram acondicionados em tubos tipo eppendorff contendo BHI com glicerol a 20% em condições de temperatura adequada (2 a 8°C) de forma a preservar a sua integridade e estabilidade, bem como a segurança do pessoal envolvido, durante o processo de transporte das espécies bacterianas para o laboratório de Microbiologia da UFC em Sobral. O transporte foi realizado pela mestranda, Izabelly Linhares Ponte Brito, obedecendo às normas de biossegurança, de forma a prevenir riscos de exposição direta dos profissionais envolvidos, dos transportadores, da população e do ambiente, de acordo com a RDC N° 20 de 10 de abril de 2014.



As cepas foram consideradas oriundas de infecções nosocomiais quando isoladas de infecção adquirida após a admissão do paciente no hospital e cuja manifestação ocorreu durante a internação ou após a alta, podendo ser relacionada com a internação ou a procedimentos hospitalares (OMS, 2008).

#### 4.4 Delineamento experimental



Fonte: O autor, 2018

**Figura 3** – Esquema experimental

#### 4.5 Critérios de inclusão e exclusão

Os critérios para inclusão na pesquisa foram:

- Culturas de pacientes com diagnóstico de infecção nosocomial que aceitaram participar do estudo, mediante TCLE (**APÊNDICE 1**) assinado pelo próprio ou seu responsável;
- Culturas provenientes dos Hospitais de Ensino SCMS, HGF, HGCC e HUWC positivas para *A. baumannii*;
- Isolados de *A. baumannii* processados adequadamente que mantinham a viabilidade apropriada para os estudos genéticos propostos, oriundos dos hospitais de ensino.

#### 4.6 Reativação dos isolados

Todas as etapas laboratoriais desta pesquisa foram realizadas no Núcleo de Biotecnologia de Sobral – NUBIS, em estação de trabalho com fluxo laminar, grau de segurança classe II, mediante desinfecção prévia.

A reativação dos espécimes armazenados em *freezer* a  $-80^{\circ}\text{C}$  foi realizada acrescentando-se uma alíquota de  $50\mu\text{l}$  da cultura em glicerol em um tubo de ensaio contendo  $5,0\text{ml}$  de caldo BHI (Himedia®, Mumbai, Índia) e mantido em estufa bacteriológica por 18 horas a  $37^{\circ}\text{C}$ , um tubo para cada amostra e mais um tubo de controle negativo, após crescimento, o inóculo foi semeado em placa com Ágar MacConkey (Sigma-Aldrich Brasil Ltda., São Paulo, Brasil) utilizando-se uma alça bacteriológica estéril e colocada em estufa novamente a  $37^{\circ}\text{C}$ , por 24h, juntamente com uma placa sem estriagem como controle negativo de contaminação dos meios ou da própria estufa. A seguir, utilizando-se de uma alça bacteriológica estéril foi transferida uma colônia isolada da placa de Ágar MacConkey para novos tubos de ensaio contendo  $5,0\text{ ml}$  de BHI caldo, um tubo para cada amostra, mais um tubo de controle negativo, e colocados na estufa a  $37^{\circ}\text{C}$ , durante 18 horas. Após crescimento, foi confirmada a pureza da amostra com a observação das características morfo-tintoriais através da coloração de Gram.

#### 4.7 Detecção e identificação dos genes *bla*<sub>OXA</sub>

As 167 espécies nosocomiais de *A. baumannii* foram analisados para a detecção dos genes *bla*<sub>OXA</sub> por PCR. Os primers e protocolos previamente descritos por MA *et al.* (2015) foram usados para amplificar os genes *bla*<sub>OXA-23</sub>, *bla*<sub>OXA-24</sub>, *bla*<sub>OXA-51</sub> e *bla*<sub>OXA-58</sub>. A sequência dos fragmentos que foram amplificados e o tamanho dos amplicons estão descritos na Tabela 1.

**Tabela 1** - *Primers* para amplificação dos genes *bla* <sub>OXA</sub>

| <b>Primer</b>                 | <b>Sequência de nucleotídeos (5' → 3')</b> | <b>Amplificação (Pb)</b> |
|-------------------------------|--|--------------------------|
| <i>Bla</i> <sub>OXA-23F</sub> | GAT CGG ATT GGA GAA CCA GA                 | 501 pb                   |
| <i>Bla</i> <sub>OXA-23R</sub> | ATT TCT GAC CGC ATT TCC AT                 |                          |
| <i>Bla</i> <sub>OXA-24F</sub> | GGT TAG TTG GCC CCC TTA AA                 | 246 pb                   |
| <i>Bla</i> <sub>OXA-24R</sub> | AGT TGA GCG AAA AGG GGA TT                 |                          |
| <i>Bla</i> <sub>OXA-51F</sub> | TAA TGC TTT GAT CGG CCT TG                 | 353 pb                   |
| <i>Bla</i> <sub>OXA-51R</sub> | TGG ATT GCA CTT CAT CTT GG                 |                          |
| <i>Bla</i> <sub>OXA-58F</sub> | AAG TAT TGG GGC TTG TGC TG                 | 599 pb                   |
| <i>Bla</i> <sub>OXA-58R</sub> | CCC CTC TGC GCT CTA CAT AC                 |                          |

FONTE: MA *et al.*, 2015.

#### 4.8 Reação em Cadeia da Polimerase (PCR)

As reações de amplificação foram preparadas em um volume total de 25µL, contendo uma unidade formadora de colônia da espécie a ser identificada, 12,5µL de Taq Pol- Master Mix (2x) Green (Cellco Biotec, São Paulo, Brasil) que contém dNTPs (dATP, dCTP, dGTP e dTTP), KCL, MgCl<sub>2</sub>, corante, tampão de carga para o gel e estabilizadores. Tendo sido acrescentado 8,5 µL de H<sub>2</sub>O e 2,0 µL de cada *primer* e tampão de reação 1x (concentração final).

Os parâmetros de ciclagem para amplificar o fragmento correspondente à região codificadora do gene *bla* <sub>OXA</sub> incluíram os seguintes passos: uma desnaturação inicial (95°C por 1 min); seguido por 30 ciclos de desnaturação (94°C por 30 segundos e 53°C por 30 segundos), anelamento (72 °C por 45 segundos) e uma extensão final a 72°C por 4 min.

Os produtos amplificados foram analisados em gel de agarose a 1,0% com tampão TBE 0,5X. A eletroforese foi realizada a 120 volts, por 40 minutos. A aplicação no gel de agarose foi feita com 8µl da reação, adicionados de 2µl de solução de azul de bromofenol. O marcador de peso molecular de 100 pb (Invitrogen, EUA) foi aplicado no gel para determinar o tamanho dos fragmentos obtidos.

#### 4.9 Análise Estatística

Os dados foram expressos em forma de frequência absoluta e percentual. As prevalências dos genes OXA 23 e OXA 24 com as demais variáveis por meio dos testes exato de Fisher ou Qui-quadrado de Pearson. Após isso, para verificar quais destas variáveis foram independentemente das demais associadas à presença

desses genes, utilizou-se o modelo de Forward Stepwise no qual as variáveis com  $p < 0,200$  são selecionadas para regressão logística multinomial. Todas as análises foram realizadas no software Statistical Package for the Social Sciences adotando uma confiança de 95%.

## 5 RESULTADOS

Durante o período de estudo, foram analisados 167 isolados nosocomiais de *A. baumannii* coletados de pacientes internados nos quatro hospitais de ensino pesquisados. A distribuição dos isolados por unidade hospitalar, sítio de isolamento, setor de hospitalização, gênero e frequência dos genes *bla*<sub>OXA-23</sub>, *bla*<sub>OXA-24</sub>, *bla*<sub>OXA-51</sub> e *bla*<sub>OXA-58</sub> estão descritas na Tabela 2.

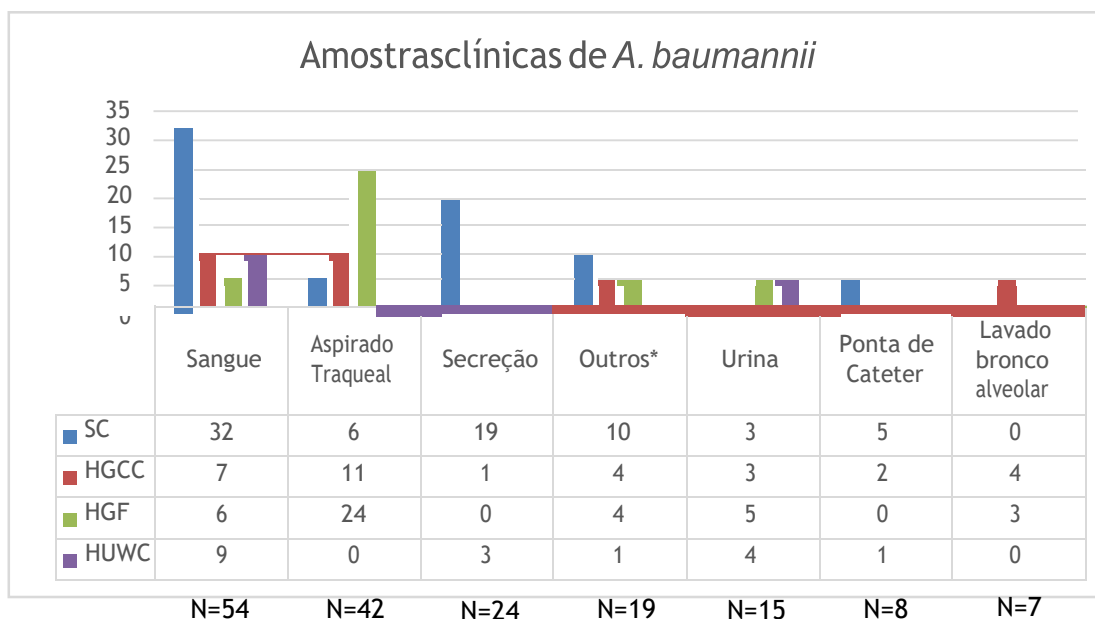
De todos os isolados analisados, observou-se que a circulação sanguínea foi o sítio de isolamento mais frequente, seguido de aspirado traqueal e secreção de ferida cirúrgica. Além disso, a maioria dos espécimes foi isolada das Unidades de Terapia Intensiva e enfermarias clínicas (Tabela 2, Gráficos 1 e 2).

**Tabela 2** - Distribuição de isolados nosocomiais de *A. baumannii* por unidade hospitalar, sítio de isolamento, setor de hospitalização, gênero e frequência dos genes *bla*<sub>OXA-23</sub> e *bla*<sub>OXA-24</sub>

|                                | n   | %     |
|--------------------------------|-----|-------|
| <b>Microorganismo</b>          |     |       |
| <i>Acinetobacter baumannii</i> | 167 | 100,0 |
| <b>Unidade hospitalar</b>      |     |       |
| SCMS                           | 75  | 44,9  |
| HGF                            | 42  | 25,1  |
| HGCC                           | 32  | 19,2  |
| HUWC                           | 18  | 10,8  |
| <b>Sítio de isolamento</b>     |     |       |
| Sangue                         | 54  | 32,3  |
| Aspirado traqueal              | 42  | 25,1  |
| Secreção                       | 24  | 14,4  |
| Outros                         | 47  | 28,1  |
| <b>Setor de hospitalização</b> |     |       |
| UTI                            | 101 | 60,5  |
| Outros                         | 66  | 39,5  |
| <b>Gênero</b>                  |     |       |
| Feminino                       | 67  | 40,1  |
| Masculino                      | 100 | 59,9  |
| <b>Genes</b>                   |     |       |
| <i>bla</i> <sub>OXA-51</sub>   | 148 | 88,6  |
| <i>bla</i> <sub>OXA-23</sub>   | 78  | 46,7  |
| <i>bla</i> <sub>OXA-24</sub>   | 45  | 26,9  |

|                                       |   |      |
|---------------------------------------|---|------|
| <i>bla</i> OXA-58                     | 0 | 0    |
| <i>bla</i> OXA-23 e <i>bla</i> OXA-24 | 4 | 2,39 |

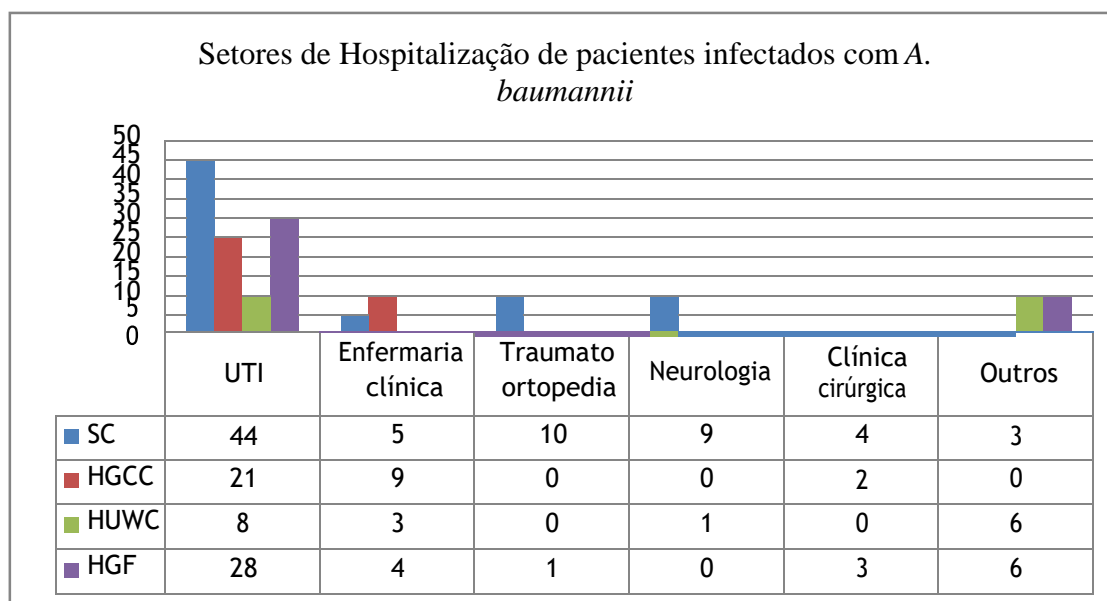
**Gráfico 1-** Distribuição por sítio de isolamento de espécimes nosocomiais de *A.baumannii* identificadas de novembro de 2016 a abril de 2017 em hospitais de ensino do Estado do Ceará.



\* Relatórios gerados pelo sistema de identificação automatizado Bacilos Gram-negativo GN, VITEK® (BioMérieux, Marcy-l'Etoile, France).

\* Outros: Swab umbilical, swab oral, Fístula de pé e Lavado Bronco-alveolar.

**Gráfico 2 -** Distribuição de isolados nosocomiais de *A.baumannii* identificados de novembro de 2016 a abril de 2017 de acordo com o setor de hospitalização em hospitais de ensino do Estado do Ceará.



\* Relatórios gerados pelo sistema de identificação automatizado Bacilios Gram-negativo GN, VITEK® (BioMérieux, Marcy-l'Etoile, France).

\* Outros: Emergência, Pós-transplante, Pediatria.

Os resultados demonstraram que 132 (79%) isolados nosocomiais de *A. baumannii* oriundos dos quatro hospitais de ensino investigados apresentaram resistência aos carbapenêmicos e diferentes padrões de resistência aos demais antimicrobianos testados. Por outro lado, a maioria foi sensível à colistina e à tigeciclina (Tabela 3). O perfil de resistência antimicrobiana de todos os isolados nosocomiais oriundos dos diferentes hospitais de ensino analisados está descritos nos gráficos 3, 4, 5 e 6.

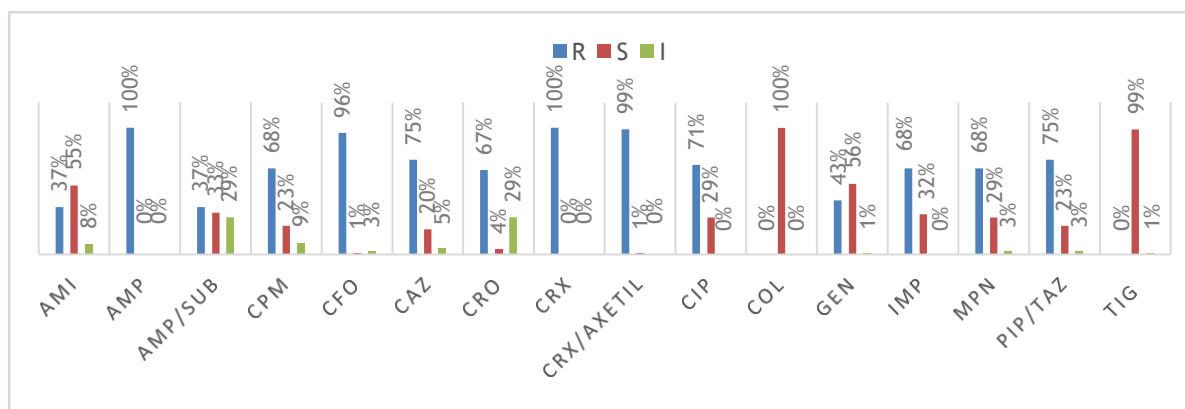
Tabela 3 - Perfis de resistência antimicrobiana dos isoaldos nosocomiais de *A. baumannii* dos quatro hospitais de ensino analisados

| Antimicrobiano                    | Resistente |      | Sensível |       | Intermediário |      |
|-----------------------------------|------------|------|----------|-------|---------------|------|
|                                   | n          | %    | n        | %     | n             | %    |
| <b>Amicacina</b>                  | 59         | 42,4 | 68       | 48,9  | 12            | 8,6  |
| <b>Ampicillina</b>                | 165        | 98,8 | 0        | 0,0   | 2             | 1,2  |
| <b>Ampicillina sulbactam</b>      | 70         | 44,0 | 38       | 23,9  | 51            | 32,1 |
| <b>Cefepima</b>                   | 131        | 78,4 | 28       | 16,8  | 8             | 4,8  |
| <b>Cefoxitina</b>                 | 152        | 95,6 | 5        | 3,1   | 2             | 1,3  |
| <b>Ceftazidima</b>                | 128        | 80,5 | 26       | 16,4  | 5             | 3,1  |
| <b>Ceftriaxona</b>                | 128        | 76,6 | 6        | 3,6   | 33            | 19,8 |
| <b>Cefuroxima</b>                 | 166        | 99,4 | 0        | 0,0   | 1             | 0,6  |
| <b>Cefuroxima axetil</b>          | 164        | 98,8 | 2        | 1,2   | 0             | 0,0  |
| <b>Ciprofloxacina</b>             | 133        | 79,6 | 34       | 20,4  | 0             | 0,0  |
| <b>Colistina</b>                  | 0          | 0,0  | 159      | 100,0 | 0             | 0,0  |
| <b>Gentamicina</b>                | 68         | 40,7 | 84       | 50,3  | 15            | 9,0  |
| <b>Imipenem</b>                   | 132        | 79,0 | 35       | 21,0  | 0             | 0,0  |
| <b>Meropenem</b>                  | 132        | 79,0 | 33       | 19,8  | 2             | 1,2  |
| <b>Piperacillina / tazobactam</b> | 137        | 82,0 | 28       | 16,8  | 2             | 1,2  |
| <b>Tigeciclina</b>                | 4          | 2,5  | 146      | 91,8  | 9             | 5,7  |

Dados expressos em frequência e porcentagens absolutas.

\* Relatórios gerados pelo sistema de identificação automatizado Bacillus Gram-negativo GN, VITEK® 2 (BioMérieux, Marcy-l'Etoile, France).

**Gráfico 3** - Sensibilidade a antimicrobianos de espécimes nosocomiais de *A.baumannii* isolados de novembro de 2016 a abril de 2017 na SCMS



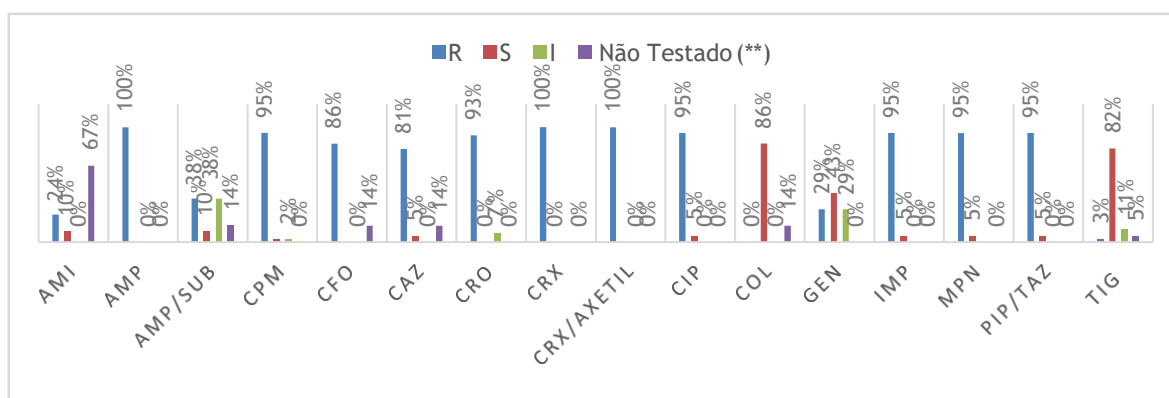
R: Resistente; S: Sensível; I: Intermediário.

\* Relatórios gerados pelo sistema de identificação automatizado Bacillus Gram-negativo GN, VITEK® 2 (BioMérieux, Marcy-l'Etoile, France).

AMI (Amicacina), AMP (Ampicilina), AMP/SUB (Ampicilina/ sulbactan), CPM (Cefepima), CFO (Cefoxitina), CAZ (Ceftazidima), CRO (Ceftriaxona), CRX (Cefuroxima), CRX/AXETIL (Cefuroxima/axetil), CIP (Ciprofloxacina), COL (Colistina), GEN (Gentamicina), IMP (Imipenem), MPN (Meropenem), PIP/TAZ (Piperacilina/Tazobactam), TIG (Tigeciclina).



**Gráfico 4** - Sensibilidade a antimicrobianos de espécimes nosocomiais de *A.baumannii* isolados de novembro de 2016 a abril de 2017 no HGF

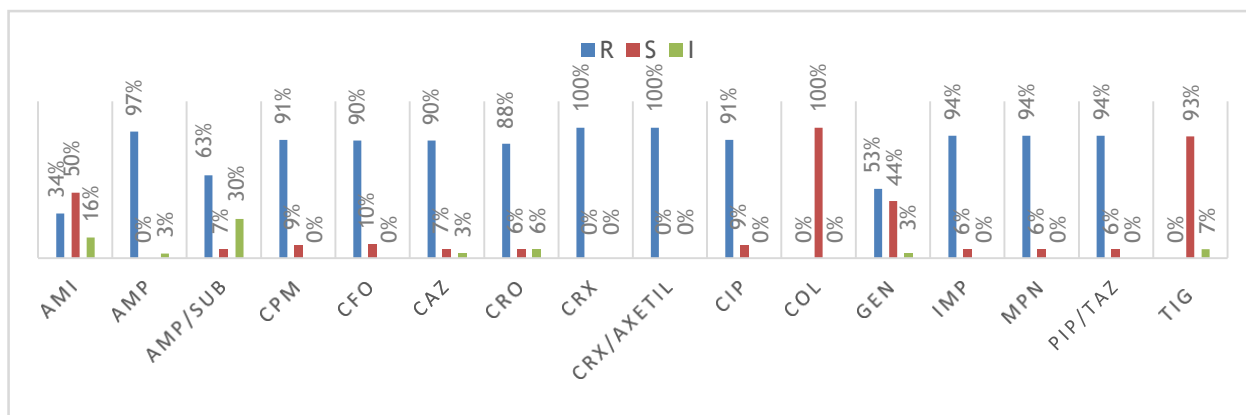


R: Resistente; S: Sensível; I: Intermediário

\* Relatórios gerados pelo sistema de identificação automatizado Bacillus Gram-negativo GN, VITEK® 2 (BioMérieux, Marcy-l'Etoile, France).

AMI (Amicacina), AMP (Ampicilina), AMP/SUB (Ampicilina/ sulbactam), CPM (Cefepima), CFO (Cefoxitina), CAZ (Ceftazidima), CRO (Ceftriaxona), CRX (Cefuroxima), CRX/AXETIL (Cefuroxima/axetil), CIP (Ciprofloxacina), COL (Colistina), GEN (Gentamicina), IMP (Imipenem), MPN (Meropenem), PIP/TAZ (Piperacilina/Tazobactam), TIG (Tigeciclina).

**Gráfico 5-** Sensibilidade a antimicrobianos de espécimes nosocomiais de *A.baumannii* isolados de novembro de 2016 a abril de 2017 no HGCC

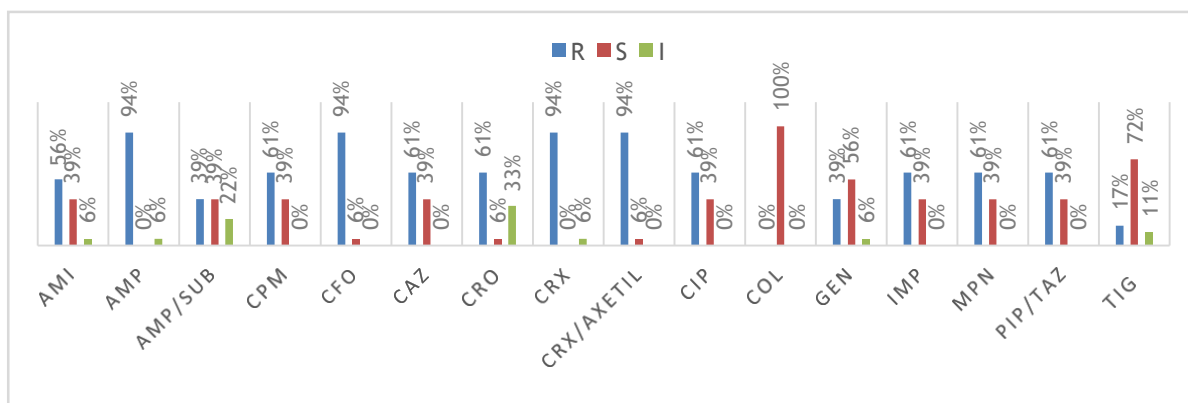


R: Resistente; S: Sensível; I: Intermediário

\* Relatórios gerados pelo sistema de identificação automatizado Bacillus Gram-negativo GN, VITEK® 2 (BioMérieux, Marcy-l'Etoile, France).

AMI (Amicacina), AMP (Ampicilina), AMP/SUB (Ampicilina/ subactan), CPM (Cefepima), CFO (Cefoxitina), CAZ (Ceftazidima), CRO (Ceftriaxona), CRX (Cefuroxima), CRX/AXETIL (Cefuroxima/axetil), CIP (Ciprofloxacina), COL (Colistina), GEN (Gentamicina), IMP (Imipenem), MPN (Meropenem), PIP/TAZ (Piperacilina/Tazobactam), TIG (Tigeciclina).

**Gráfico 6** - Sensibilidade a antimicrobianos de espécimes nosocomiais de *A.baumannii* isolados de novembro de 2016 a abril de 2017 no HUWC



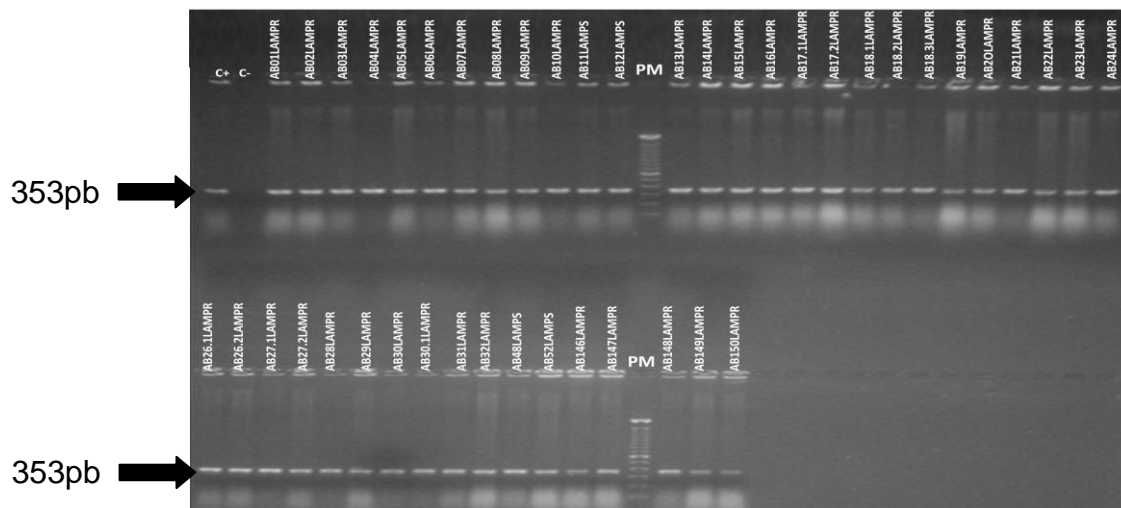
R: Resistente; S: Sensível; I: Intermediário

\* Relatórios gerados pelo sistema de identificação automatizado Bacillus Gram-negativo GN, VITEK® 2 (BioMérieux, Marcy-l'Etoile, France).

AMI (Amicacina), AMP (Ampicilina), AMP/SUB (Ampicilina/ sulbactam), CPM (Cefepima), CFO (Cefoxitina), CAZ (Ceftazidima), CRO (Ceftriaxona), CRX (Cefuroxima), CRX/AXETIL (Cefuroxima/axetil), CIP (Ciprofloxacina), COL (Colistina), GEN (Gentamicina), IMP (Imipenem), MPN (Meropenem), PIP/TAZ (Piperacilina/Tazobactam), TIG (Tigeciclina).

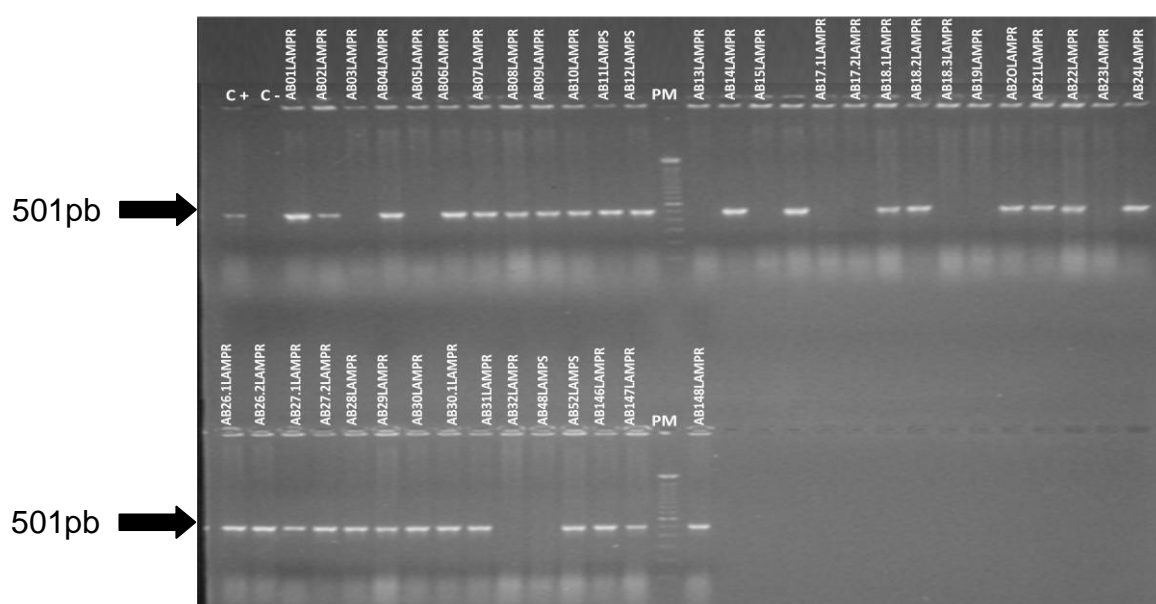
A amplificação dos fragmentos correspondentes aos genes *bla*<sub>OXA-51</sub>, *bla*<sub>OXA-23</sub>, *bla*<sub>OXA-24</sub> e *bla*<sub>OXA-58</sub> de isolados nosocomiais de *A.baumannii* dos diferentes hospitais de ensino pesquisados está demonstrada nas figuras 3, 4, 5 e 6.

**Figura 3-** Gel de agarose contendo fragmentos de gene *bla*<sub>OXA-51</sub> de espécimes nosocomiais de *A.baumannii* isolados de hospitais de ensino do Ceará amplificados por PCR - PM 100 pb (Invitrogen, EUA)



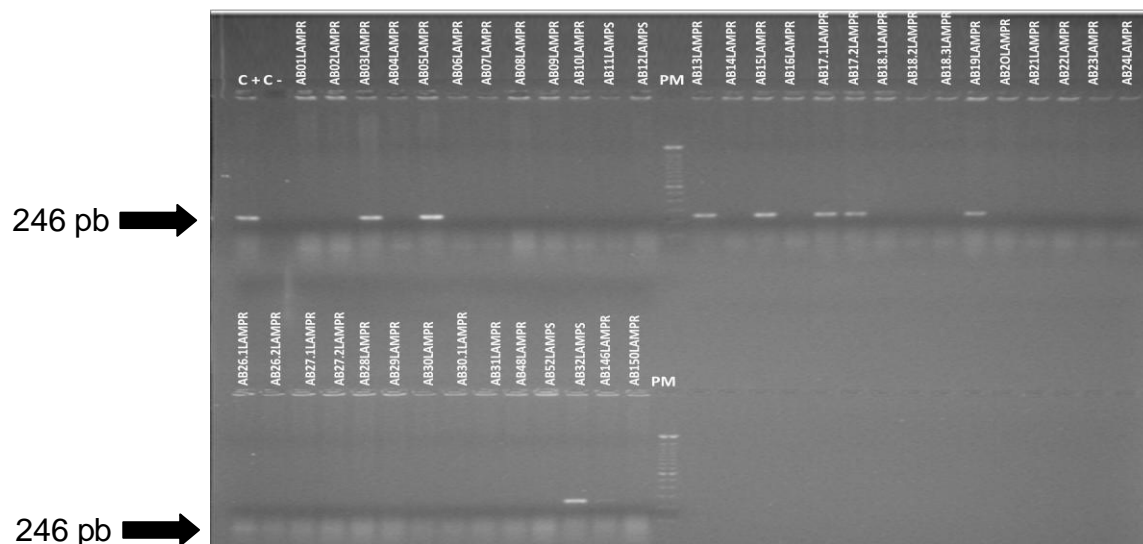
A seta indica fragmentos de 353 pb correspondentes à região de codificação do gene *bla*<sub>OXA-51</sub>. PM - marcador de peso molecular (1kb).

**Figura 4:** Gel de agarose contendo fragmentos de gene *bla*<sub>OXA-23</sub> de espécimes nosocomiais de *A.baumannii* isolados de hospitais de ensino do Ceará amplificados por PCR - PM 100 pb (Invitrogen, EUA)



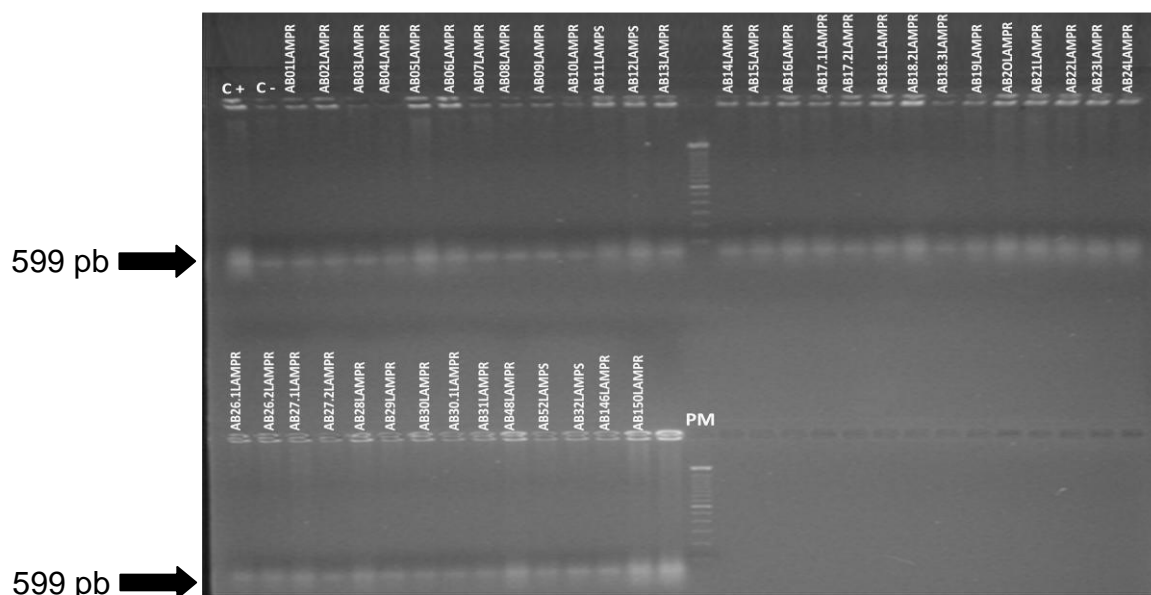
A seta indica fragmentos de 501 pb correspondentes à região de codificação do gene *bla*<sub>OXA-23</sub>. PM - marcador de peso molecular (1kb) ; C +: controle positivo; C -: controle negativo.

**Figura 5-** Gel de agarose contendo fragmentos de gene *bla*<sub>OXA-24</sub> de espécimes nosocomiais de *A.baumannii* isolados de hospitais de ensino do Ceará amplificados por PCR - PM 100 pb (Invitrogen, EUA).



A seta indica fragmentos de 246 pb correspondentes à região de codificação do gene *bla*<sub>OXA-24</sub>. PM - marcador de peso molecular (1kb) ; C +: controle positivo; C-: controle negativo.

**Figura 6-** Gel de agarose contendo fragmentos de gene *bla*<sub>OXA-58</sub> de espécimes de *A.baumannii* isolados de hospitais de ensino do Ceará amplificadas por PCR - PM 100 pb (Invitrogen, EUA).



A seta indica fragmentos de 599 pb correspondentes à região de codificação do gene *bla*<sub>OXA-58</sub>. PM - marcador de peso molecular (1kb) ; C +: controle positivo; C-: controle negativo.

Dos 167 isolados analisados, 142 (85%) são multidroga resistentes (MDR). Destes, 73 (43,7%) albergavam o gene *bla*<sub>OXA-23</sub> e 42 (25,1%) continham o gene *bla*<sub>OXA-24</sub>. A presença concomitante dos genes *bla*<sub>OXA-23</sub> e *bla*<sub>OXA-24</sub> foi significativamente associada ( $p < 0,05$ ) com o fenótipo de resistência aos carbapenêmicos, cefepima, ceftazidima, gentamicina e piperacilina / tazobactam (Tabela 4).

Por outro lado, apenas a presença do gene *bla*<sub>OXA-23</sub> em cepas com o fenótipo de resistência à amicacina foi estatisticamente significativa ( $p = 0,03$ ). Além disso, a associação do gene *bla*<sub>OXA-24</sub> foi estatisticamente significativa com a presença do fenótipo de resistência à ceftriaxona e à ciprofloxacina ( $p < 0,05$ ), e não foi encontrada associação estatisticamente significativa entre a presença dos genes *bla*<sub>OXA-23</sub> e *bla*<sub>OXA-24</sub> e o perfil de resistência das cepas nosocomiais de *A. baumannii* aos outros antimicrobianos testados (Tabela 4).

Tabela 4 - Perfis de resistência antimicrobiana e frequência dos genes *bla*<sub>OXA-23</sub> e *bla*<sub>OXA-24</sub> dos isoaldos nosocomiais de *A. baumannii* dos quatro hospitais de ensino analisados

|                       | <i>bla</i> <sub>OXA-23</sub> |              | p-Valor          | <i>bla</i> <sub>OXA-24</sub> |              | p-Valor          |
|-----------------------|------------------------------|--------------|------------------|------------------------------|--------------|------------------|
|                       | Ausente                      | Presente     |                  | Ausente                      | Presente     |                  |
| <b>Carbapenêmicos</b> |                              |              |                  |                              |              |                  |
| Resistente            | 60<br>67,4%                  | 72*<br>92,3% | <b>&lt;0,001</b> | 89<br>73,0%                  | 43*<br>95,6% | <b>&lt;0,001</b> |
| Sensível              | 29*<br>32,6%                 | 6<br>7,7%    |                  | 33*<br>27,0%                 | 2<br>4,4%    |                  |
| Intermediário         | 0<br>0,0%                    | 0<br>0,0%    |                  | 0<br>0,0%                    | 0<br>0,0%    |                  |
| <b>Amicacina</b>      |                              |              |                  |                              |              |                  |
| Resistente            | 23<br>32,4%                  | 36*<br>52,9% | <b>0,037</b>     | 46<br>41,8%                  | 13<br>44,8%  | 0,861            |
| Sensível              | 42*<br>59,2%                 | 26<br>38,2%  |                  | 55<br>50,0%                  | 13<br>44,8%  |                  |
| Intermediário         | 6<br>8,5%                    | 6<br>8,8%    |                  | 9<br>8,2%                    | 3<br>10,3%   |                  |
| <b>Ampicilina</b>     |                              |              |                  |                              |              |                  |
| Resistente            | 89<br>100,0%                 | 76<br>97,4%  | 0,217            | 121<br>99,2%                 | 44<br>97,8%  | 0,460            |
| Sensível              | 0<br>,0%                     | 0<br>,0%     |                  | 0<br>,0%                     | 0<br>,0%     |                  |
| Intermediário         | 0                            | 2            |                  | 1                            | 1            |                  |

|                             |        |       |              |        |       |              |
|-----------------------------|--------|-------|--------------|--------|-------|--------------|
|                             | ,0%    | 2,6%  |              | ,8%    | 2,2%  |              |
| <b>Ampicilina sulbactan</b> |        |       |              |        |       |              |
| Resistente                  | 27     | 43*   | <b>0,001</b> | 57     | 13    | <b>0,001</b> |
|                             | 32,1%  | 57,3% |              | 47,9%  | 32,5% |              |
| Sensível                    | 29*    | 9     |              | 33*    | 5     |              |
|                             | 34,5%  | 12,0% |              | 27,7%  | 12,5% |              |
| Intermediário               | 28     | 23    |              | 29     | 22*   |              |
|                             | 33,3%  | 30,7% |              | 24,4%  | 55,0% |              |
| <b>Cefepima</b>             |        |       |              |        |       |              |
| Resistente                  | 65     | 66*   | <b>0,005</b> | 89     | 42*   | <b>0,015</b> |
|                             | 73,0%  | 84,6% |              | 73,0%  | 93,3% |              |
| Sensível                    | 22*    | 6     |              | 25*    | 3     |              |
|                             | 24,7%  | 7,7%  |              | 20,5%  | 6,7%  |              |
| Intermediário               | 2      | 6     |              | 8      | 0     |              |
|                             | 2,2%   | 7,7%  |              | 6,6%   | ,0%   |              |
| <b>Cefoxitina</b>           |        |       |              |        |       |              |
| Resistente                  | 81     | 71    | 0,840        | 113    | 39    | 0,683        |
|                             | 96,4%  | 94,7% |              | 95,0%  | 97,5% |              |
| Sensível                    | 2      | 3     |              | 4      | 1     |              |
|                             | 2,4%   | 4,0%  |              | 3,4%   | 2,5%  |              |
| Intermediário               | 1      | 1     |              | 2      | 0     |              |
|                             | 1,2%   | 1,3%  |              | 1,7%   | ,0%   |              |
| <b>Caftazidma</b>           |        |       |              |        |       |              |
| Resistente                  | 60     | 68*   | <b>0,009</b> | 90     | 38*   | <b>0,026</b> |
|                             | 71,4%  | 90,7% |              | 75,6%  | 95,0% |              |
| Sensível                    | 20*    | 6     |              | 24*    | 2     |              |
|                             | 23,8%  | 8,0%  |              | 20,2%  | 5,0%  |              |
| Intermediário               | 4      | 1     |              | 5      | 0     |              |
|                             | 4,8%   | 1,3%  |              | 4,2%   | ,0%   |              |
| <b>Ceftriaxona</b>          |        |       |              |        |       |              |
| Resistente                  | 65     | 63    | 0,481        | 87     | 41*   | <b>0,010</b> |
|                             | 73,0%  | 80,8% |              | 71,3%  | 91,1% |              |
| Sensível                    | 4      | 2     |              | 4      | 2     |              |
|                             | 4,5%   | 2,6%  |              | 3,3%   | 4,4%  |              |
| Intermediário               | 20     | 13    |              | 31*    | 2     |              |
|                             | 22,5%  | 16,7% |              | 25,4%  | 4,4%  |              |
| <b>Cefuroxima</b>           |        |       |              |        |       |              |
| Resistente                  | 89     | 77    | 0,284        | 122    | 44    | 0,269        |
|                             | 100,0% | 98,7% |              | 100,0% | 97,8% |              |
| Sensível                    | 0      | 0     |              | 0      | 0     |              |
|                             | ,0%    | ,0%   |              | ,0%    | ,0%   |              |
| Intermediário               | 0      | 1     |              | 0      | 1     |              |
|                             | ,0%    | 1,3%  |              | ,0%    | 2,2%  |              |
| <b>Cefuroxima axetil</b>    |        |       |              |        |       |              |
| Resistente                  | 88     | 76    | 1,000        | 120    | 44    | 1,000        |
|                             | 98,9%  | 98,7% |              | 99,2%  | 97,8% |              |
| Sensível                    | 1      | 1     |              | 1      | 1     |              |

|                                |        |        |                  |        |        |                  |
|--------------------------------|--------|--------|------------------|--------|--------|------------------|
|                                | 1,1%   | 1,3%   |                  | ,8%    | 2,2%   |                  |
| Intermediário                  | 0      | 0      |                  | 0      | 0      |                  |
|                                | ,0%    | ,0%    |                  | ,0%    | ,0%    |                  |
| <b>Ciprofloxacina</b>          |        |        |                  |        |        |                  |
| Resistente                     | 66     | 67     | 0,060            | 91     | 42*    | <b>0,008</b>     |
|                                | 74,2%  | 85,9%  |                  | 74,6%  | 93,3%  |                  |
| Sensível                       | 23     | 11     |                  | 31*    | 3      |                  |
|                                | 25,8%  | 14,1%  |                  | 25,4%  | 6,7%   |                  |
| Intermediário                  | 0      | 0      |                  | 0      | 0      |                  |
|                                | ,0%    | ,0%    |                  | ,0%    | ,0%    |                  |
| <b>Colistina</b>               |        |        |                  |        |        |                  |
| Resistente                     | 0      | 0      | 1,000            | 0      | 0      | 1,000            |
|                                | ,0%    | ,0%    |                  | ,0%    | ,0%    |                  |
| Sensível                       | 84     | 75     |                  | 119    | 40     |                  |
|                                | 100,0% | 100,0% |                  | 100,0% | 100,0% |                  |
| Intermediário                  | 0      | 0      |                  | 0      | 0      |                  |
|                                | ,0%    | ,0%    |                  | ,0%    | ,0%    |                  |
| <b>Gentamicina</b>             |        |        |                  |        |        |                  |
| Resistente                     | 29     | 39*    | <b>0,007</b>     | 53     | 15     | <b>&lt;0,001</b> |
|                                | 32,6%  | 50,0%  |                  | 43,4%  | 33,3%  |                  |
| Sensível                       | 47*    | 37     |                  | 65*    | 19     |                  |
|                                | 52,8%  | 47,4%  |                  | 53,3%  | 42,2%  |                  |
| Intermediário                  | 13*    | 2      |                  | 4      | 11*    |                  |
|                                | 14,6%  | 2,6%   |                  | 3,3%   | 24,4%  |                  |
| <b>Imipenem</b>                |        |        |                  |        |        |                  |
| Resistente                     | 60     | 72     | <b>&lt;0,001</b> | 89     | 43     | <b>0,001</b>     |
|                                | 67,4%  | 92,3%  |                  | 73,0%  | 95,6%  |                  |
| Sensível                       | 29     | 6      |                  | 33     | 2      |                  |
|                                | 32,6%  | 7,7%   |                  | 27,0%  | 4,4%   |                  |
| Intermediário                  | 0      | 0      |                  | 0      | 0      |                  |
|                                | ,0%    | ,0%    |                  | ,0%    | ,0%    |                  |
| <b>Meropenem</b>               |        |        |                  |        |        |                  |
| Resistente                     | 60     | 72*    | <b>&lt;0,001</b> | 89     | 43*    | <b>0,006</b>     |
|                                | 67,4%  | 92,3%  |                  | 73,0%  | 95,6%  |                  |
| Sensível                       | 27*    | 6      |                  | 31*    | 2      |                  |
|                                | 30,3%  | 7,7%   |                  | 25,4%  | 4,4%   |                  |
| Intermediário                  | 2      | 0      |                  | 2      | 0      |                  |
|                                | 2,2%   | ,0%    |                  | 1,6%   | ,0%    |                  |
| <b>Piperacilina tazobactam</b> |        |        |                  |        |        |                  |
| Resistente                     | 65     | 72*    | <b>0,004</b>     | 94     | 43*    | <b>0,021</b>     |
|                                | 73,0%  | 92,3%  |                  | 77,0%  | 95,6%  |                  |
| Sensível                       | 22*    | 6      |                  | 26*    | 2      |                  |
|                                | 24,7%  | 7,7%   |                  | 21,3%  | 4,4%   |                  |
| Intermediário                  | 2      | 0      |                  | 2      | 0      |                  |
|                                | 2,2%   | ,0%    |                  | 1,6%   | ,0%    |                  |
| <b>Tigecilina</b>              |        |        |                  |        |        |                  |
| Resistente                     | 4      | 0      | <b>0,043</b>     | 4      | 0      | 0,208            |



|               |       |       |       |       |
|---------------|-------|-------|-------|-------|
|               | 4,8%  | ,0%   | 3,4%  | ,0%   |
| Sensível      | 73    | 73*   | 110   | 36    |
|               | 86,9% | 97,3% | 92,4% | 90,0% |
| Intermediário | 7*    | 2     | 5     | 4     |
|               | 8,3%  | 2,7%  | 4,2%  | 10,0% |

\*p<0,05, teste exato de Fisher ou Qui-quadrado de Pearson. Dados expressos em forma de frequência absoluta e percentual.

A frequência de detecção dos genes *bla*<sub>OXA-23</sub>, *bla*<sub>OXA-24</sub>, *bla*<sub>OXA-51</sub> e *bla*<sub>OXA-58</sub> em relação ao perfil de sensibilidade aos carbapenêmicos nos quatro hospitais de ensino investigados está descrita na Tabela 5.

Tabela 5 - Frequência de detecção dos genes *bla*<sub>OXA-23</sub>, *bla*<sub>OXA-24</sub>, *bla*<sub>OXA-51</sub> e *bla*<sub>OXA-58</sub> em relação ao perfil de sensibilidade aos carbapenêmicos na SCMS, HGF, HGCC e HUWC

| HOSPITAL              | GENES DE RESISTÊNCIA         |                              |                              |                              |   |
|-----------------------|------------------------------|------------------------------|------------------------------|------------------------------|---|
|                       | <i>bla</i> <sub>OXA-51</sub> | <i>bla</i> <sub>OXA-23</sub> | <i>bla</i> <sub>OXA-24</sub> | <i>bla</i> <sub>OXA-58</sub> | <i>bla</i> <sub>OXA-23</sub> / <i>bla</i> <sub>OXA-24</sub> |
| <b>SCMS</b><br>(n=75) |                              |                              |                              |                              |   |
| R (n=51)              | 51 (100,0%)                  | 40 (78,4%)                   | 8 (15,6%)                    | 0                            | 0   |
| S (n= 24)             | 0                            | 1(4,16%)                     | 1 (4,16%)                    | 0                            | 0   |
| <b>HGF</b><br>(n=42)  |                              |                              |                              |                              |   |
| R (n=40)              | 38 (95,0%)                   | 15 (37,5%)                   | 21 (52,5%)                   | 0                            | 3 (7,5%)  |
| S (n= 2)              | 1 (50,0%)                    | 1 (50,0%)                    | 0                            | 0                            | 0   |
| <b>HGCC</b><br>(n=32) |                              |                              |                              |                              |   |
| R (n=30)              | 29 (96,6%)                   | 13 (43,3%)                   | 14 (46,6%)                   | 0                            | 0   |
| S (n= 2)              | 0                            | 1 (50,0%)                    | 0                            | 0                            | 0   |
| <b>HUWC</b><br>(n=18) |                              |                              |                              |                              |   |
| R (n=11)              | 11 (100,0%)                  | 7 (63,6%)                    | 0                            | 0                            | 0   |
| S (n= 7)              | 5 (71,4%)                    | 0                            | 1 (14,2%)                    | 0                            | 1 (14,2%)   |

\*R: Cepas resistentes aos carbapenêmicos; S: Cepas sensíveis aos carbapenêmicos.

O gene *bla*<sub>OXA-23</sub> foi encontrado em 34,6% dos isolados nosocomiais de *A. baumannii* da corrente sanguínea. Por outro lado, a ocorrência do gene *bla*<sub>OXA-24</sub> foi significativamente associada (p = 0,004) aos isolados de *A. baumannii* do aspirado traqueal, tendo sido encontrado em 19 (42,2%) espécimes. Além disso, a frequência do

gene *bla*<sub>OXA-24</sub> foi estatisticamente significativa em *A. baumannii* isolados do HGCC e HGF ( $p < 0,001$ ). Contudo, não foi observada correlação estatisticamente significativa entre a presença dos genes *bla*<sub>OXA-23</sub> e *bla*<sub>OXA-24</sub> com setor de hospitalização e gênero de pacientes hospitalizados (Tabela 6).

Tabela 6- Frequência dos genes *bla*<sub>OXA-23</sub> e *bla*<sub>OXA-24</sub> por unidade hospitalar, sítio de isolamento, setor de hospitalização e gênero

|                                | <i>bla</i> <sub>OXA-23</sub> |             | p-Valor | <i>bla</i> <sub>OXA-24</sub> |              | p-Valor          |
|--------------------------------|------------------------------|-------------|---------|------------------------------|--------------|------------------|
|                                | Ausência                     | Presença    |         | Ausência                     | Presença     |                  |
| <b>Unidade Hospitalar</b>      |                              |             |         |                              |              |                  |
| SCMS                           | 34<br>38.2%                  | 41<br>52.6% | 0.294   | 66*<br>54.1%                 | 9<br>20.0%   | <b>&lt;0.001</b> |
| HGCC                           | 18<br>20.2%                  | 14<br>17.9% |         | 18<br>14.8%                  | 14*<br>31.1% |                  |
| HGF                            | 26<br>29.2%                  | 16<br>20.5% |         | 21<br>17.2%                  | 21*<br>46.7% |                  |
| HUWC                           | 11<br>12.4%                  | 7<br>9.0%   |         | 17<br>13,9%                  | 1<br>2,2%    |                  |
| <b>Sítio de isolamento</b>     |                              |             |         |                              |              |                  |
| Aspirado Traqueal              | 24<br>27.0%                  | 18<br>23.1% | 0.469   | 23<br>18.9%                  | 19*<br>42.2% | <b>0.004</b>     |
| Sangue                         | 27<br>30,3%                  | 27<br>34,6% |         | 47*<br>38.5%                 | 7<br>15.6%   |                  |
| Secreção                       | 10<br>11.2%                  | 14<br>17.9% |         | 19<br>15.6%                  | 5<br>11.1%   |                  |
| Outros                         | 28<br>31.5%                  | 19<br>24.4% |         | 33<br>27.0%                  | 14<br>31.1%  |                  |
| <b>Setor de hospitalização</b> |                              |             |         |                              |              |                  |
| UTI                            | 55<br>61.8%                  | 46<br>59.0% | 0.710   | 75<br>61.5%                  | 26<br>57.8%  | 0.655            |
| Outros                         | 34<br>38.2%                  | 32<br>41.0% |         | 47<br>38.5%                  | 19<br>42.2%  |                  |
| <b>Gênero</b>                  |                              |             |         |                              |              |                  |
| Feminino                       | 34<br>38.2%                  | 33<br>42.3% | 0,589   | 49<br>40.2%                  | 18<br>40.0%  | 0,985            |
| Masculino                      | 55<br>61.8%                  | 45<br>57.7% |         | 73<br>59.8%                  | 27<br>60.0%  |                  |

\* $p < 0,05$ , Teste exato de Fisher ou teste Qui-quadrado de Pearson. Dados expressos em frequência e porcentagem absolutas.

## 6. DISCUSSÃO

As infecções por *A. baumannii* e o desenvolvimento da resistência são problemas bem conhecidos que estão se tornando cada vez mais frequentes e que devem ser adequadamente abordados em todo o mundo<sup>5</sup>. Os resultados desta pesquisa mostraram que os isolados de *A. baumannii* foram mais frequentes nas amostras de sangue (32,3%) e de aspirado traqueal (25,1%), corroborando os dados encontrados em outros hospitais brasileiros<sup>14,5,15,4</sup>.

A maioria das cepas de *A. Baumannii* nosocomiais foram isolados de pacientes do gênero masculino (59,9%), corroborando com resultados obtidos por Chang *et al.*, (2015)<sup>16</sup> (59,7%) e Castilho *et al* (2017)<sup>5</sup> (59,4%).

Assim como nos estudos realizados por Kooti *et al.* (2015)<sup>6</sup>, Raro *et al.* (2017)<sup>2</sup>, Li *et al.* (2017)<sup>17</sup> e CASTILHO *et al.*, (2017)<sup>5</sup>, em todos os hospitais pesquisados neste estudo a UTI foi a unidade de internação com o maior número de isolados nosocomiais de *A. baumannii*, este é um dado preocupante uma vez que a UTI pode servir como reservatório para esses patógenos oportunistas e frequentemente os pacientes internados nesta unidade já se encontram debilitados, fazendo uso de dispositivos invasivos e antimicrobianos de largo espectro, além de poderem ter algum grau de imunossupressão. Lowings *et al.* (2015)<sup>18</sup> ressaltaram que a alta incidência de cepas de microrganismos multiresistentes em UTI pode ser devido ao uso excessivo de antimicrobianos.

Nesta pesquisa, 85% das cepas nosocomiais de *A. baumannii* foram MDR e as taxas de resistência ao imipenem e ao meropenem atingiram 79%. Nos últimos anos, *A. baumannii* tem sido comumente relatado como resistente a múltiplas drogas, e as taxas de resistência a imipenem, meropenem, ceftazidima, piperacillina/tazobactam, ciprofloxacina e gentamicina na América Latina parecem estar entre as maiores do mundo<sup>19</sup>. Essa taxa de resistência aos carbapenêmicos é maior do que a reportada em outros países, como China, Arábia Saudita, Grécia, Itália e EUA, onde as taxas foram 29,4%, 69%, 57,4%, 45,7% e 34%, respectivamente<sup>20,21,22,23,24</sup>.

Estudos anteriores realizados no Brasil demonstraram crescimento nas taxas de resistência de cepas de *A. baumannii* a muitos agentes antimicrobianos importantes, especialmente imipenem e meropenem<sup>25,26,15</sup>. Também tem sido reportado aumento nas taxas de *A. baumannii* multirresistente em países como Qatar<sup>7</sup>, Espanha<sup>27</sup>, China<sup>28</sup>, Indonésia<sup>29</sup>, Marrocos<sup>30</sup>, Irã<sup>31</sup> e Líbano<sup>19</sup>.

Os isolados de *A. baumannii* resistentes aos carbapenêmicos nos hospitais pesquisados neste estudo também demonstraram altas taxas de co-resistência a diversas classes de agentes antimicrobianos, exceto tigeciclina e colistina. Todos os isolados foram sensíveis à colistina, semelhante aos dados encontrados na Argélia e no Irã<sup>31</sup>, embora tenha sido relatada diminuição de sensibilidade à colistina na Arábia Saudita (70,9%), Kuwait (92,5%) e Egito (95%)<sup>32</sup>. Contudo, tigeciclina e colistina continuam sendo as opções terapêuticas de escolha para o tratamento de infecções por bactérias produtoras de carbapenemases<sup>33,5,27,2</sup>.

Os isolados clínicos de *A. baumannii* MDR analisados nesta pesquisa constituem um problema terapêutico de grande preocupação, uma vez que podem inferir num prognóstico desfavorável quando do tratamento de infecções graves causadas por esses patógenos. Esses achados reforçam a idéia de uma tendência crescente de resistência dessa bactéria a carbapenêmicos, o que pode implicar na disseminação de linhagem altamente resistente<sup>34,35</sup>, particularmente quando a resistência é mediada por elementos móveis que podem ser prontamente transferidos e disseminados entre isolados<sup>2</sup>.

O gene *bla*<sub>OXA-51</sub> foi prevalente entre os isolados nosocomiais de *A. baumannii* neste estudo, como relatado por outros autores em todo o mundo<sup>16,31,6,5,27,28,29,30,31,19</sup>, confirmando estudos que sugerem a presença desse gene como intrínseco à espécie<sup>8</sup>, uma vez que o mesmo está localizado no cromossomo. Apesar desse gene não estar restrito à espécie de *A. baumannii*, o mesmo está presente na grande maioria das cepas da espécie<sup>6</sup>. Por outro lado, a alta prevalência de *bla*<sub>OXA-23</sub> nos isolados analisados pode ser devido à sua transferência horizontal, já que esse gene frequentemente tem origem plasmidial, em transposons e sequências de inserção<sup>36</sup>. Por outro lado, não foi detectada neste estudo a ocorrência do gene *bla*<sub>OXA-58</sub>, mas cepas de *A. baumannii* OXA-58 também têm sido pouco frequentes em outras regiões do Brasil<sup>37</sup>.

A resistência a carbapenêmicos em *A. baumannii* resulta frequentemente da produção de oxacilinases adquiridas, como OXA-23, OXA-24 e OXA-58, além dos OXA-143 e OXA-72 menos frequentes. A produção da carbapenemase OXA-23 tem sido frequentemente identificada em cepas de *A. baumannii* resistentes aos carbapenêmicos isoladas de pacientes hospitalizados<sup>14,6,13,7,5,17,2</sup>. Estas infecções estão

associadas a alta morbidade e mortalidade e contribuem para uma internação prolongada e altos custos hospitalares<sup>1</sup>. Surto de isolados que abrigam genes que codificam grupos de carbapenemase de tipo OXA (*bla*<sub>OXA-23</sub>, *bla*<sub>OXA-24</sub>, *bla*<sub>OXA-51</sub> e *bla*<sub>OXA-58</sub>) são cada vez mais frequentes em todo o mundo<sup>16</sup>.

Como dito anteriormente, o gene responsável pela produção da carbapenemase OXA-23 e OXA-24 foi encontrado em 46,7% e 26,9% dos isolados neste estudo, respectivamente, frequência similar aos resultados descritos por outros pesquisadores<sup>16,6,7,15,5,36,30</sup>. Além disso, a coocorrência de dois genes de tipo OXA também foi relatada em *A. baumannii*<sup>5</sup>. No presente estudo, a coexistência de *bla*<sub>OXA-23</sub> e *bla*<sub>OXA-24</sub> ocorreu em quatro isolados.

Todavia, 6,8% dos isolados nosocomiais de *A. baumannii* resistentes aos carbapenêmicos analisados neste estudo, não apresentaram os genes *bla*<sub>OXA-23</sub> e *bla*<sub>OXA-24</sub>, responsáveis pelos mecanismos enzimáticos adquiridos. Neste caso, a resistência ao imipenem e ao meropenem podem ser explicados pela presença do elemento *ISAbal* a montante do gene *bla*<sub>OXA-51</sub>. Portanto, a presença da sequência de inserção *ISAbal* ou *ISAbal9* pode ser necessária para aumentar a expressão associada a outros mecanismos, como a permeabilidade reduzida da membrana externa ou a expressão excessiva de bombas de efluxo<sup>38,39</sup>.

A propagação de cepas hospitalares de *A. baumannii* multiresistente produtoras de OXA no Brasil é um grave problema de saúde pública. O surgimento dessas cepas está associado a altas taxas de resistência aos antimicrobianos comumente usados na prática clínica, dificultando cada vez mais o tratamento de infecções nosocomiais. A identificação do fenótipo e do genótipo de OXA é de extrema importância para um manejo adequado do paciente, evitando o surgimento e disseminação de surtos, além de estabelecer uma abordagem terapêutica diferencial que preferencialmente inclui o uso combinado de agentes antibacterianos.

Nesta pesquisa a ocorrência do gene *bla*<sub>OXA-24</sub> foi fortemente associada às amostras isoladas de aspirado traqueal. Pneumonia associada à ventilação mecânica é uma das infecções nosocomiais mais frequentes causadas por esse microrganismo<sup>40</sup>.

## 7. CONCLUSÃO

Em conclusão, esses dados indicam uma elevada frequência de isolados nosocomiais de *A. baumannii* MDR nos hospitais analisados, sendo a maioria resistente aos carbapenêmicos e sensível à colistina e tigeciclina. O mecanismo de resistência mais frequentemente observado foi a produção de carbapenemases, notadamente OXA-23. Portanto, esses dados poderão contribuir substancialmente com a vigilância epidemiológica, que está relacionada aos princípios básicos de que o monitoramento deve ser a base para a implantação de medidas para combater infecções hospitalares, e poderá também auxiliar na implementação de protocolos terapêuticos, melhorando a qualidade da assistência prestada aos pacientes hospitalizados.

Elsevier Editorial System(tm) for Journal of Microbiology,  
Immunology and Infection

Manuscript Draft

Manuscript Number:

Title: High Frequency of OXA-Type Carbapenemases Among *Acinetobacter baumannii* Strains in Teaching Hospitals of Ceará, Brazil

Article Type: Original Article

Keywords: *Acinetobacter baumannii*; beta-lactamases; carbapenems; cross infection; antimicrobial drug resistance.

Corresponding Author: Mrs. Izabelly Ponte, Corresponding

Author's Institution:

First Author: Francisco Cesar Barroso Barbosa, PhD, MSc

Order of Authors: Francisco Cesar Barroso Barbosa, PhD, MSc; Izabelly Ponte; Ana Jéssyka Alves Morais, MSc; Ana Kélvia Araújo, MSc; Paulo Goberlânio de Barros Silva, PhD, MSc; Vicente de Paulo Teixeira Pinto, PhD, MSc

**Abstract:** Background/Purpose(s): *Acinetobacter baumannii* is an opportunistic pathogen resistant to several antimicrobials. We aimed to investigate the sensitivity profile and frequency of OXA-type carbapenemases among *A. baumannii* nosocomial strains isolated from patients in teaching hospitals of Ceará, Brazil.

**Methods:** From November 2016-April 2017, *A. baumannii* nosocomial strains from four teaching hospitals were analyzed. All isolates were identified, and the antimicrobial susceptibility profile established by VITEK®2.

Polymerase chain reaction (PCR) to amplify the bla OXA-51 gene was performed on all presumptively strains identified as *A. baumannii*, and minimum inhibitory concentrations were determined by the broth microdilution for tigecycline-resistant isolates. Furthermore, bla OXA-23, bla OXA-24, and bla OXA-58 genes were detected by PCR.

**Results:** A total of 167 *A. baumannii* nosocomial strains were analyzed, from which 101 (60.5%) were from patients in intensive care units, 54 (32.3%) were isolated from the bloodstream, and 142 (85.0%) were multi-drug resistant (MDR). 132 (79.0%) isolates were resistant to carbapenems, but all isolates were susceptible to colistin and most of them were susceptible to tigecycline. The majority harbored the bla OXA-23 gene, these data were significantly associated with an MDR phenotype. In addition, 45 (26.9%) contained bla OXA-24, four strains harbored concomitantly bla OXA-23 and bla OXA-24 and no bla OXA-58 gene was detected.

Conclusion: These results demonstrated high resistance rates to the different antimicrobial drugs analyzed and a high frequency of bla OXA-23 gene, suggesting that colistin and tigecycline could be the therapeutic options for the treatment of infections associated with MDR *A. baumannii*.



1           **High Frequency of OXA-Type Carbapenemases Among *Acinetobacter***  
2                           ***baumannii* Strains in Teaching Hospitals of Ceará, Brazil**

3                   *Short Title: "OXA-Type Carbapenemases in Teaching Hospitals in Brazil"*

4   Francisco Cesar Barroso Barbosa<sup>1\*</sup>, Izabelly Linhares Ponte Brito<sup>1</sup>, Ana Jéssyka Alves  
5   Morais<sup>2</sup>, Ana Kélvia Araújo Arcanjo<sup>1</sup>, Paulo Goberlânio de Barros Silva<sup>1</sup>, Vicente de Paulo  
6   Teixeira Pinto<sup>1,2</sup>

7

8   <sup>1</sup>Health Sciences Graduate Program, Federal University of Ceará, Comandante Mauricélio  
9   Rocha Pontes Street, 100, Sobral, CE, CEP 62.042-280 Brazil

10   <sup>2</sup>Biotechnology Graduate Program, Federal University of Ceará, Comandante Mauricélio  
11   Rocha Pontes Street, 100, Sobral, CE, CEP 62.042-280 Brazil

12

13

14

15

16   **Corresponding author**

17   Francisco Cesar Barroso Barbosa

18   Faculty of Medicine of Sobral, Avenida Comandante Maurocélío Rocha Ponte, 100, Derby,

19   Sobral – CE, Brazil. Zip Code: 62-042-280 Phone: +55 (88) 3611.2202 E-mail:

20   fcbbarbosa@yahoo.com.br

21

22

23

24

25

26

27

28

## 29 Abstract

30 **Background/Purpose(s):** *Acinetobacter baumannii* is an opportunistic pathogen resistant  
31 to several antimicrobials. We aimed to investigate the sensitivity profile and frequency of  
32 OXA-type carbapenemases among *A. baumannii* nosocomial strains isolated from patients  
33 in teaching hospitals of Ceará, Brazil.

34 **Methods:** From November 2016-April 2017, *A. baumannii* nosocomial strains from four  
35 teaching hospitals were analyzed. All isolates were identified, and the antimicrobial  
36 susceptibility profile established by VITEK®2. Polymerase chain reaction (PCR) to  
37 amplify the *bla*<sub>OXA-51</sub> gene was performed on all presumptively strains identified  
38 as *A. baumannii*, and minimum inhibitory concentrations were determined by the broth  
39 microdilution for tigecycline- resistant isolates. Furthermore, *bla*<sub>OXA-23</sub>, *bla*<sub>OXA-24</sub>, and *bla*  
40 *OXA-58* genes were detected by PCR.

41 **Results:** A total of 167 *A. baumannii* nosocomial strains were analyzed, from which 101  
42 (60.5%) were from patients in intensive care units, 54 (32.3%) were isolated from the  
43 bloodstream, and 142 (85.0%) were multi-drug resistant (MDR). 132 (79.0%) isolates were  
44 resistant to carbapenems, but all isolates were susceptible to colistin and most of them were  
45 susceptible to tigecycline. The majority harbored the *bla*<sub>OXA-23</sub> gene, these data were  
46 significantly associated with an MDR phenotype. In addition, 45 (26.9%) contained *bla*  
47 *OXA-24*, four strains harbored concomitantly *bla*<sub>OXA-23</sub> and *bla*<sub>OXA-24</sub> and no *bla*<sub>OXA-58</sub> gene  
48 was detected.

49 **Conclusion:** These results demonstrated high resistance rates to the different antimicrobial  
50 drugs analyzed and a high frequency of *bla*<sub>OXA-23</sub> gene, suggesting that colistin and  
51 tigecycline could be the therapeutic options for the treatment of infections associated with  
52 MDR *A. baumannii*.

53

54 **Keywords:** *Acinetobacter baumannii*; beta-lactamases; carbapenems; cross infection;  
55 antimicrobial drug resistance.

56

57

58

## 59 Introduction

60

61 *Acinetobacter* is a microorganism genus represented by immobile, catalase  
62 positive, oxidase negative, and non-fermenting gram-negative coccobacillus. The genus is  
63 classified as part of the Moraxella family of the Gamma proteobacteria order.<sup>1</sup>  
64 *Acinetobacter baumannii* is an opportunistic pathogen resistant to several antimicrobials  
65 and commonly associated with nosocomial infection outbreaks in intensive care units  
66 (ICU). In addition to being able to survive in dry environments for a long time, this  
67 microorganism is spread in the air, can contaminate the hands of health professionals and  
68 be isolated from the skin of colonized patients.<sup>2</sup>

69 In the scenario of antimicrobial resistance, carbapenem-resistant *A. baumannii*  
70 has been listed by the World Health Organization as the main priority pathogen for urgent  
71 new antimicrobial research.<sup>3</sup> In Brazil, *A. baumannii* has emerged as a major nosocomial  
72 pathogen, causing infections in ICUs with numerous outbreaks, especially involving  
73 isolates resistant to carbapenems.<sup>4</sup>

74 *A. baumannii* becomes resistant to carbapenems by acquiring genes that encode  
75 enzymes to degrade these antibiotics. These enzymes also interfere with drug permeability,  
76 and/or alter the affinity of the antimicrobial target for the carbapenems. Ambler Class B  
77 (metalloenzymes) and class D (oxacillinases) are the most common enzymes involved in  
78 the mechanisms of resistance to carbapenems, being the OXA  $\beta$ -lactamases the most  
79 prevalent enzyme type. Although more than 250 types of OXA have been described, higher  
80 importance is given to four carbapenemase groups. They are OXA-23-like, OXA-24-like,  
81 OXA-58-like and OXA-51-like.<sup>5</sup> The OXA-23 subgroup was identified in several  
82 countries, including Brazil.<sup>5-7</sup> Resistance to carbapenems increases significantly when  
83 OXA genes are overlapped next to insertion sequences with promoter functions, such as the  
84 element ISAbal.<sup>8</sup>

85 Nosocomial infection is considered a topic of concern that is growing in incidence  
86 and complexity. Moreover, this type of issue affects the social and economic aspects of  
87 different populations worldwide. Hospital infection rates in university hospitals are often  
88 higher than in other health facilities. When such infections are caused by multiresistant

89 bacteria, they are associated with higher hospital admissions costs, prolonged  
90 hospitalization, and higher morbidity and mortality rates.<sup>9</sup>

91           Given the exposed, the aim of this study was to investigate the sensitivity profile of  
92 *Acinetobacter baumannii* strains isolated from patients with nosocomial infections treated  
93 in university hospitals of Ceará, Brazil. It was also investigated the occurrence of the OXA-  
94 type carbapenemases among the nosocomial isolates.

95

96

97

98

99

100

101

102

103

104

105

106

107

108

109

110

111

112

## 113 **Material and Methods**

114

### 115 **Ethical aspects**

116 This study was approved by the Ethics Committee of Research of the institution where the  
117 investigation was performed. Privacy was guaranteed, and patients were identified by their  
118 hospital registration numbers to ensure that only researchers had access to their  
119 information.

120

### 121 **Study setting and bacterial strains**

122 This is an observational and crossover study in which it was investigated the occurrence of  
123 *A. baumannii* in patients with nosocomial infection. These patients were under medical  
124 supervision in four university hospitals of Ceará - Brazil: Santa Casa de Misericórdia de  
125 Sobral (SCMS), Hospital Geral de Fortaleza (HGF), Hospital Geral César Cals (HGCC),  
126 and Hospital Universitário Walter Cantídio (HUWC). Nosocomial species of *A. baumannii*  
127 were isolated from blood, tracheal aspirate fluid, percutaneous catheter tip, urine, abscess  
128 secretion, and surgical wound of patients receiving treatment in ICUs. All isolates were  
129 identified, and their antimicrobial susceptibility profile was analyzed by VITEK®2  
130 automated system (BioMérieux, Marcy-l'Etoile, France) for the following drugs:  
131 ampicillin/sulbactam, amikacin, ampicillin, ceftriaxone, ceftazidime, cefuroxime,  
132 cefuroxime, ciprofloxacin, colistin gentamicin, cefepime, imipenem, meropenem,  
133 piperacillin/tazobactam and tigecycline. Multi-drug resistance (MDR) was defined as  
134 resistance to three or more classes of the drugs tested.<sup>10</sup> Additionally, polymerase chain  
135 reaction (PCR) was performed on all presumptively identified *A. baumannii* isolates to  
136 amplify the *bla*<sub>OXA-51</sub> gene.<sup>11</sup> The Minimum Inhibitory Concentrations (MICs) were  
137 determined through broth microdilution technique for isolates resistant to tigecycline  
138 following the recommendations of the Clinical and Laboratory Institute Standards.<sup>12</sup>  
139

### 140 **Detection of carbapenem resistance genes**

141 Nosocomial species of *A. baumannii* were analyzed for the detection of *bla*<sub>OXA</sub> genes  
142 through PCR. The primers and protocols previously described were used to amplify the

143 genes *bla*<sub>OXA-23</sub>, *bla*<sub>OXA-24</sub>, *bla*<sub>OXA-51</sub> and *bla*<sub>OXA-58</sub>.<sup>13</sup> The sequence of the fragments  
144 that were amplified, as well as the size of the amplicons, are described in Table 1.  
145 The amplification reactions were prepared with 25µL suspension of colony forming units of  
146 the strains to be analyzed, 12.5µL of Taq Pol-Master Mix (2x) Green (Cellco Biotec, São  
147 Paulo, Brazil) containing dNTPs (dATP, dCTP, dGTP and dTTP), KCL, MgCl<sub>2</sub>, dye, gel  
148 loading buffer and stabilizers, 8.5 µL of H<sub>2</sub>O and 2.0 µL of each primer and 1x buffer  
149 reaction (final concentration) were added. Cyclic parameters for amplifying the fragment  
150 corresponding to the coding region of the *bla*<sub>OXA</sub> gene were carried out according to the  
151 manufacturer's instructions (Taq Pol-Master Mix (2x) Green - Cellco Biotec, São Paulo,  
152 Brazil). These reactions were performed in the following sequence: initial denaturation (95°  
153 C for 1 min); followed by 30 cycles of denaturation (94° C for 30 seconds and 53 ° C for 30  
154 seconds), annealing (72° C for 45 seconds) and a final extension at 72° C for 4 min. The  
155 amplified products were analyzed on 1.0% agarose gel with 0.5X TBE buffer. The  
156 electrophoresis was performed at 120 volts for 40 minutes. The application on the agarose  
157 gel was performed with 8µl of the reaction added with 2µl of bromophenol blue solution.  
158 The 100 bp molecular weight marker (Invitrogen, USA) was applied to the gel to determine  
159 the size of the fragments obtained.

160

### 161 **Statistical analysis**

162 Data were expressed as absolute and percentage frequency and analyzed using Fisher's  
163 exact test or Pearson's Chi-square test. After that, for the frequency of *bla*<sub>OXA-23</sub> and *bla*<sub>OXA-</sub>  
164 <sub>24</sub> genes expression, it was used the Forward Stepwise model to select variables with  $p <$   
165  $0.200$  for multinomial logistic regression. All analyzes were performed in the software  
166 Statistical Package for the Social Sciences adopting a confidence of 95%.

167

168

169

170

171



172

## 173 Results

174 In this study, 167 nosocomial strains of *A. baumannii* isolated from patients of four  
175 university hospitals were analyzed. Table 2 depicts the distribution of the isolates per  
176 hospital unit, isolation site, hospital sector, gender and frequency of occurrence of *bla*<sub>OXA-</sub>  
177 <sub>23</sub> and *bla*<sub>OXA-24</sub> genes. It was observed that *A. baumannii* was more frequently isolated  
178 from the bloodstream, followed by tracheal aspirate and surgical wound. Most of the strains  
179 were isolated from patients hospitalized in Intensive Care Units, followed by clinical and  
180 neurology wards, and maternity (Table 2). In addition, four isolates harbored concomitant  
181 *bla*<sub>OXA-23</sub> and *bla*<sub>OXA-24</sub> genes, but in none of them *bla*<sub>OXA-58</sub> gene was detected.

182 The strains of *A. baumannii* isolated from patients of all hospitals under study were  
183 susceptible to colistin and most of them were susceptible to tigecycline. However, these  
184 isolates showed high resistance to carbapenems. The antimicrobial resistance profiles of the  
185 isolates are described in Table 3.

186 As Table 3 shows, multi-drug resistance was observed in 142 (85%) out of the 167  
187 strains isolated. Seventy-three (43.7%) out of these 142 highly resistant strains harbored *bla*  
188 <sub>OXA-23</sub> gene, while 42 (25.1%) expressed the *bla*<sub>OXA-24</sub> gene. The concomitant presence of  
189 the *bla*<sub>OXA-23</sub> and *bla*<sub>OXA-24</sub> genes was significantly associated ( $p < 0.05$ ) with the  
190 phenotype of resistance to carbapenems, cefepime, ceftazidime, gentamicin and  
191 piperacillin/tazobactam.

192 The presence of the *bla*<sub>OXA-23</sub> gene was statistically significant ( $p = 0.03$ ) only in  
193 strains with the amikacin resistance phenotype, while the presence of the *bla*<sub>OXA-24</sub> gene  
194 was statistically significant in strains with the ceftriaxone and ciprofloxacin resistance  
195 phenotype ( $p < 0.05$ ). No statistically significant association was found between the  
196 presence of the *bla*<sub>OXA-23</sub> and *bla*<sub>OXA-24</sub> genes and the resistance profile of the *A.*  
197 *baumannii* nosocomial strains to the other antimicrobials tested.

198 The *bla*<sub>OXA-23</sub> gene was found in 34.6% of the strains of *A. baumannii* isolated from  
199 the bloodstream, while 19 (42.2%) were isolated from tracheal aspirate ( $p = 0.004$ ) and  
200 expressed the *bla*<sub>OXA-24</sub> gene. In addition, the *bla*<sub>OXA-24</sub> gene was detected more in the *A.*

201 *baumannii* strains isolated from two of the university hospitals under study (HGCC and  
202 HGF) than from the others ( $p < 0.001$ ). No statistically significant correlation was observed  
203 between the presence of the *bla*<sub>OXA-23</sub> and *bla*<sub>OXA-24</sub> genes with the hospital sector and the  
204 gender of hospitalized patients (Table 4).

205

206

207

208

209

210

211

212

213

214

215

216

217

218

219

220

221

222

223

224



226

## 227 Discussion

228 Infections caused by *A. baumannii* and the resistance development are issues that  
229 are increasingly frequent and should be tackled properly worldwide.<sup>5</sup> Our findings show  
230 that *A. baumannii* isolates from blood samples (32.3%) and the tracheal aspirate (25.1%),  
231 corroborating with available data from other Brazilian hospitals.<sup>4,5,14,15</sup>

232 Most of the *A. baumannii* nosocomial strains were isolated from male patients  
233 (59.9%), aligning with results from Castilho et al. 2017 (59.4%) and Chang *et al.* 2015  
234 (59.7%).<sup>5,16</sup>

235 All hospitals included in this study had the intensive care units as the major  
236 source of *A. baumannii* isolates similarly to Raro *et al.* 2017, Castilho *et al.* 2017, Kooti *et*  
237 *al.* 2015, and Li et al. 2017.<sup>2,5,6,17</sup> These findings are alarming because intensive care units  
238 can serve as a reservoir for these opportunistic pathogens and so often the patients under  
239 intense care are already at higher risk once they can be immunologically debilitated. These  
240 patients may use invasive medical appliances such as catheters as well as under broad-  
241 spectrum antimicrobial therapy. Lowing et al. 2015<sup>18</sup> point out that the excessive and  
242 indiscriminate use of antimicrobial drugs accounts for the rocketing incidence of highly  
243 resistant microorganisms in intensive care units.

244 In this study, 85% of *A. baumannii* nosocomial strains were multidrug resistant  
245 and the resistance rates to imipenem and meropenem reached 79%. In the last few years,  
246 this species has been reported to be resistant to many antimicrobial drugs and resistance  
247 rates to imipenem, meropenem, ceftazidime, piperacillin/tazobactam, ciprofloxacin, and  
248 gentamicin in Latin America seem to among the highest globally.<sup>19</sup> These resistance rates  
249 to carbapenems are higher than what is reported in China, Saudi Arabia, Greece, Italy, and  
250 the USA where these rates were 29.4%, 69%, 57.4%, 45.7%, and 34%, respectively.<sup>20-24</sup>

251 Previous Brazilian studies demonstrated growing resistance rates of *A.*  
252 *baumannii* strains to many important antimicrobial drugs, especially imipenem and  
253 meropenem.<sup>15,25,26</sup> It has also been reported an increase in the resistance rates of this strain  
254 in Qatar, Spain, China, Indonesia, Morocco, Iran, and Lebanon.<sup>7,19,27-30</sup>

255

256

257

258

259

260

261

262

263

Carbapenem-resistant *A. baumannii* strains isolated from the hospitals in this study also showed high rates of co-resistance to a wide range of antimicrobial drugs except for tigecycline and colistin. All isolates were sensible to colistin like the data found in Algeria and Iran, even so decreased resistance rates were reported in Saudi Arabia (70.90%), Kuwait (92.5%), and Egypt (95%).<sup>31, 32</sup> However, tigecycline and colistin continue to be therapeutic options for treating infections caused by carbapenemases-producing bacteria.

2,5,27,33

264

265

266

267

268

269

The multiple drug-resistant *A. baumannii* clinical isolates analyzed here constitute a very concerning therapeutic issue as they can mean an unfavorable prognosis when treating serious infections caused by these pathogens. These findings reinforce the idea of an increasing resistance of bacteria to carbapenems which can imply in the dissemination of highly resistant strains<sup>34,35</sup>, particularly when such resistance is mediated by mobile elements that can be readily transferred and disseminated among isolates.<sup>2</sup>

270

271

272

273

274

275

276

277

*bla*<sub>OXA-51</sub> gene was prevalent between nosocomial isolates of *A. baumannii* in this study as reported by many other groups globally<sup>5,6,16,19,27-31</sup>, confirming studies that suggest the presence of this gene as an intrinsic to this species as it is in its chromosome.<sup>8</sup> Albeit this gene is not restricted to *A. baumannii*, it is indeed present in most of the strains of this species.<sup>6</sup> Contrarily, the high prevalence of *bla*<sub>OXA-23</sub> in the analyzed isolates could be a result of horizontal transference as this gene frequently originates from the plasmid, transposons and insertion sequences.<sup>36</sup> Besides, *bla*<sub>OXA-58</sub> gene was not detected in this study, but OXA-58 *A. baumannii* strains have been poorly detected in other Brazilian regions.<sup>37</sup>

278

279

280

281

282

283

284

285

The resistance to carbapenems in *A. baumannii* strains results from the production of acquired oxacillinases such as OXA-23, OXA-24, and OXA-58, whilst OXA-153 and OXA-72 are less frequent. The OXA-23 production has been often identified in carbapenem-resistant *A. baumannii* strains isolated from hospitalized patients.<sup>2,5-7,13,14,17</sup> These infections are associated with high morbidity and mortality rates and contribute to extend hospitalization periods and high care costs.<sup>1</sup> Isolated outbreaks that house codifying-carbapenemases groups, especially the OXA type (*bla*<sub>OXA-23</sub>, *bla*<sub>OXA-24</sub>, *bla*<sub>OXA-51</sub>, and *bla*<sub>OXA-58</sub>) are even more frequent on a global scale.<sup>16</sup>

286 As previously mentioned, the gene responsible for OXA-23 and OXA-24  
287 production was found in 46.7% and 26.9% of the isolates in this study, respectively. This  
288 frequency is similar to results described by other groups [5-7,15,16,30,36]. Besides, the co-  
289 occurrence of two types of OXA was also reported in *A. baumannii*.<sup>5</sup> Here, the coexistence  
290 of *bla*<sub>OXA-23</sub> and *bla*<sub>OXA-24</sub> occurred in four isolates.

291 Nonetheless, 6.8% of the nosocomial isolates of *A. baumannii* resistant to  
292 carbapenems analyzed here did not express *bla*<sub>OXA-23</sub> and *bla*<sub>OXA-24</sub>. In such case, the  
293 resistance to imipenem and meropenem can be explained due to the presence of *ISAbal*  
294 element. Therefore, the presence of this insertion sequence or *ISAbal9* can be necessary to  
295 enhance the expression of other mechanisms such as a reduced permeability of the external  
296 membrane or excessive expression of efflux pumps.<sup>38, 38</sup>

297 The propagation of *A. baumannii* nosocomial strains that are multidrug resistant  
298 and OXA producers is a relevant public health issue. The emergence of these strains is  
299 associated with high rates of resistance to antimicrobial drugs commonly used in the  
300 clinical care, which hinders the nosocomial infection treatment. The identification of  
301 phenotypes and genotypes of OXA is of extreme relevance for a proper clinical  
302 management, avoiding thus the emergence and dissemination of outbreaks as well as  
303 establishing a different therapeutic approach that preferentially includes the combined use  
304 of antibacterial drugs.

305 This study showed that the occurrence of *bla*<sub>OXA-24</sub> gene was strongly associated  
306 with samples obtained from tracheal aspirates. Pneumonia associated with mechanical  
307 ventilation is one of the most frequent infections caused by these pathogens.<sup>40</sup>

308 In conclusion, these data indicate a high frequency of nosocomial isolates of  
309 multidrug-resistant *A. baumannii* strains in the analyzed hospitals, being the majority  
310 resistant to carbapenems and sensible to colistin and tigecycline. The most frequent  
311 mechanisms of resistance observed was the production of carbapenemases, notably OXA-  
312 23. Therefore, these findings can substantially support epidemiological databases, which is  
313 related to the basic principle of monitoring which, in turn, is the basis for implementing  
314 measures to fight off nosocomial infections such as therapeutic protocols, improving the  
315 assistance provided for hospitalized patients.

316

317

318

319

**320 Acknowledgments**

321 This study was supported by Brazilian grants from Fundação Cearense de Apoio ao  
322 Desenvolvimento Científico e Tecnológico (FUNCAP), Conselho Nacional de  
323 Desenvolvimento Científico e Tecnológico (CNPq), and Coordenação de Aperfeiçoamento  
324 de Pessoal de Nível Superior (CAPES).

325

326

327

328

329

330

331

332

333

334

335

336

337

338

339

340

341

342

343

344

345

346

347

348

349

350

**351 References**

- 352 1. Ballouz T, Aridi J, Afif C, Irani J, Lakis C, Nasreddine R, et al. Risk Factors,  
353 Clinical Presentation, and Outcome of *Acinetobacter baumannii* Bacteremia. *Front*  
354 *Cell Infect Microbiol* [Internet]. 2017;7.
- 355 2. Raro OHF, Gallo SW, Ferreira CAS, de Oliveira SD. Carbapenem-resistant  
356 *Acinetobacter baumannii* contamination in an intensive care unit. *Rev Soc Bras*  
357 *Med Trop*. 2017;50(2):167–72.
- 358 3. World Health Organization, 2017.
- 359 4. Dias VC, Diniz CG, Peter ACDO, Bastos AN, Bastos VQDA, Bastos LQDA, et al.  
360 Epidemiological characteristics and antimicrobial susceptibility among carbapenem-  
361 resistant non-fermenting bacteria in Brazil. *J Infect Dev Ctries*. 2016;10(6):544–53.
- 362 5. Castilho SRA, Godoy CSDM, Guilarde AO, Cardoso JL, André MCP, Junqueira-  
363 Kipnis AP, et al. *Acinetobacter baumannii* strains isolated from patients in intensive  
364 care units in Goiânia, Brazil: Molecular and drug susceptibility profiles. *PLoS One*.  
365 2017;12(5).
- 366 6. Kooti S, Motamedifar M, Sarvari J. Antibiotic Resistance Profile and Distribution  
367 of Oxacillinase Genes Among Clinical Isolates of *Acinetobacter baumannii* in  
368 Shiraz Teaching Hospitals, 2012 - 2013. *Jundishapur J Microbiol* [Internet].  
369 2015;8(8):e20215.
- 370 7. Rolain JM, Loucif L, Al-Maslmani M, Elmagboul E, Al-Ansari N, Taj-Aldeen S,  
371 et al. Emergence of multidrug-resistant *Acinetobacter baumannii* producing OXA-  
372 23 Carbapenemase in Qatar. *New Microbes New Infect*. 2016;11:47–51.
- 373 8. Sohrabi N, Farajnia S, Akhi MT, Nahaei MR, Naghili B, Peymani A, et al.  
374 Prevalence of OXA-type  $\beta$ -lactamases among *Acinetobacter baumannii* isolates  
375 from Northwest of Iran. *Microb Drug Resist* [Internet]. 2012;18(4):385–9.
- 376 9. Evans HL, Lefrak SN, Lyman J, Smith RL, Chong TW, McElearney ST, et al. Cost  
377 of Gram-negative resistance. *Crit Care Med*. 2007;35(1):89–95.



- 378 10. Magiorakos AP, Srinivasan A, Carey RB, Carmeli Y, Falagas ME, Giske CG, et al.  
379 Multidrug-resistant, extensively drug-resistant and pandrug-resistant bacteria: An  
380 international expert proposal for interim standard definitions for acquired resistance.  
381 Clin Microbiol Infect. 2012;18(3):268–81.
- 382 11. Turton JF, Woodford N, Glover J, Yarde S, Kaufmann ME, Pitt TL. Identification  
383 of *Acinetobacter baumannii* by detection of the bla OXA-51-like carbapenemase  
384 gene intrinsic to this species. J Clin Microbiol. 2006;44(8):2974–6.
- 385 12. Clinical Laboratory Standards Institute – CLSI. Performance standards for  
386 antimicrobial disk susceptibility tests. CLSI document. Wayne: CLSI; 2018.
- 387 13. Ma Z, Zhou LQ, Wang H, Luo LP. Investigations on the genomic diversity of OXA  
388 from isolated *Acinetobacter baumannii*. Genet Mol Res. 2015;14(4):14711–6.
- 389 14. Chagas TPG, Carvalho KR, de Oliveira Santos IC, Carvalho-Assef APDA, Asensi  
390 MD. Characterization of carbapenem-resistant *Acinetobacter baumannii* in Brazil  
391 (2008-2011): Countrywide spread of OXA-23-producing clones (CC15 and CC79).  
392 Diagn Microbiol Infect Dis 2014;79(4):468–72.
- 393 15. Neves FC, Clemente WT, Lincopan N, Paião ID, Neves PR, Romanelli RM, et al.  
394 Clinical and microbiological characteristics of OXA-23- and OXA-143-producing  
395 *Acinetobacter baumannii* in ICU patients at a teaching hospital, Brazil. Brazilian J  
396 Infect Dis [Internet]. 2016;20(6):556–63.
- 397 16. Chang Y, Luan G, Xu Y, Wang Y, Shen M, Zhang C, et al. Characterization of  
398 carbapenem-resistant *Acinetobacter baumannii* isolates in a Chinese teaching  
399 hospital. Front Microbiol. 2015;6(SEP).
- 400 17. Li Y jun, Pan C zhi, Fang C quan, Zhao Z xiang, Chen H ling, Guo P hao, et al.  
401 Pneumonia caused by extensive drug-resistant *Acinetobacter baumannii* among  
402 hospitalized patients: Genetic relationships, risk factors and mortality. BMC Infect  
403 Dis. 2017;17(1).
- 404 18. Lowings M, Ehlers MM, Dreyer AW, Kock MM. High prevalence of oxacillinases  
405 in clinical multidrug-resistant *Acinetobacter baumannii* isolates from the Tshwane  
406 region, South Africa - an update. BMC Infect Dis. 2015;15(1).
- 407 19. Al Atrouni A, Hamze M, Jisr T, Lemarié C, Eveillard M, Joly-Guillou ML, et al.  
408 Wide spread of OXA-23-producing carbapenem-resistant *Acinetobacter baumannii*

- 409 belonging to clonal complex II in different hospitals in Lebanon. *Int J Infect Dis.*  
410 2016;52:29–36.
- 411 20. Ying J, Lu J, Zong L, Li A, Pan R, Cheng C, et al. Molecular epidemiology and  
412 characterization of genotypic analysis of *Acinetobacter baumannii* strains isolates  
413 from south China. *Jpn J Infect Dis [Internet]*. 2016;69:180–5.
- 414 21. Ying J, Lu J, Zong L, Li A, Pan R, Cheng C, et al. Molecular epidemiology and  
415 characterization of genotypic analysis of *Acinetobacter baumannii* strains isolates  
416 from south China. *Jpn J Infect Dis [Internet]*. 2016;69:180–5.
- 417 22. Al-Sultan AA, Evans BA, Aboulmagd E, Al-Qahtani AA, Bohol MFF, Al-Ahdal  
418 MN, et al. Dissemination of multiple carbapenem-resistant clones of *Acinetobacter*  
419 *baumannii* in the Eastern District of Saudi Arabia. *Front Microbiol.* 2015;6(JUL).
- 420 23. Principe L, Piazza A, Giani T, Bracco S, Caltagirone MS, Arena F, et al. Epidemic  
421 diffusion of OXA-23-producing *acinetobacter baumannii* isolates in Italy: Results of  
422 the first cross-sectional countrywide survey. *J Clin Microbiol.* 2014;52(8):3004–10.
- 423 24. Kallen AJ, Srinivasan A. Current Epidemiology of Multidrug-Resistant Gram-  
424 Negative Bacilli in the United States. *Infect Control Hosp Epidemiol [Internet]*.  
425 2010;31(S1):S51–4.
- 426 25. Cieslinski JM, Arend L, Tuon FF, Silva EP, Ekermann RGS, Dalla-Costa LM, et al.  
427 Molecular epidemiology characterization of OXA-23 carbapenemase-producing  
428 *Acinetobacter baumannii* isolated from 8 Brazilian hospitals using repetitive  
429 sequence-based PCR. *Diagn Microbiol Infect Dis.* 2013;77(4):337–40.
- 430 26. Vasconcelos ATR, Barth AL, Zavascki AP, Gales AC, Levin AS, Lucarevski BR,  
431 et al. The changing epidemiology of *Acinetobacter* spp. producing OXA  
432 carbapenemases causing bloodstream infections in Brazil: A BrasNet report. *Diagn*  
433 *Microbiol Infect Dis.* 2015;83(4):382–5.
- 434 27. Dahdouh E, Gómez-Gil R, Pacho S, Mingorance J, Daoud Z, Suárez M. Clonality,  
435 virulence determinants, and profiles of resistance of clinical *Acinetobacter*  
436 *baumannii* isolates obtained from a Spanish hospital. *PLoS One.* 2017;12(4).
- 437 28. Chen F, Wang L, Wang M, Xie Y, Xia X, Li X, et al. Genetic characterization and  
438 *in vitro* activity of antimicrobial combinations of multidrug-resistant

- 439 *Acinetobacter baumannii* from a general hospital in China. *Oncol Lett* [Internet].  
440 2017;2305–15.
- 441 29. Saharman YR, Karuniawati A, Sedono R, Aditianingsih D, Sudarmono P, Goessens  
442 WHF, et al. Endemic carbapenem-nonsusceptible *Acinetobacter baumannii*-  
443 *calcoaceticus* complex in intensive care units of the national referral hospital in  
444 Jakarta, Indonesia. *Antimicrob Resist Infect Control* [Internet]. *Antimicrobial*  
445 *Resistance & Infection Control*; 2018;7:5.
- 446 30. Uwingabiye J, Lemnouer A, Roca I, Alouane T, Frikh M, Belefquih B, et al. Clonal  
447 diversity and detection of carbapenem resistance encoding genes among multidrug-  
448 resistant *Acinetobacter baumannii* isolates recovered from patients and environment  
449 in two intensive care units in a Moroccan hospital. *Antimicrob Resist Infect*  
450 *Control*. 2017;6(1).
- 451 31. Josheghani SB, Moniri R, Firoozeh F, Sehat M, Goli YD. Susceptibility Pattern and  
452 Distribution of Oxacillinases and bla PER-1 Genes among Multidrug Resistant  
453 *Acinetobacter baumannii* in a Teaching Hospital in Iran. *J Pathog.*  
454 2015;2015(957259):7.
- 455 32. Al-Agamy MH, Khalaf NG, Tawfick MM, Shibl AM, Kholy A El. Molecular  
456 characterization of carbapenem-insensitive *Acinetobacter baumannii* in Egypt. *Int J*  
457 *Infect Dis*. 2014;22.
- 458 33. Hagihara M, Housman ST, Nicolau DP, Kuti JL. In vitro pharmacodynamics of  
459 polymyxin B and tigecycline alone and in combination against carbapenem-resistant  
460 *Acinetobacter baumannii*. *Antimicrob Agents Chemother*. 2014;58(2):874–9.
- 461 34. Aljindan R, Bukharie H, Alomar A, Abdalhamid B. Prevalence of digestive tract  
462 colonization of Carbapenem-Resistant *Acinetobacter baumannii* in hospitals in Saudi  
463 Arabia. *J Med Microbiol*. 2015;64(4):400–6.
- 464 35. Perez F, Hujer AM, Hujer KM, Decker BK, Rather PN, Bonomo RA. Global  
465 challenge of multidrug-resistant *Acinetobacter baumannii*. *Antimicrob Agents*  
466 *Chemother*. 2007;51:3471–84.
- 467 36. Mohajeri P, Farahani A, Mehrabzadeh RS. Molecular characterization of multidrug  
468 resistant strains of *Acinetobacter baumannii* isolated from intensive care units in  
469 west of Iran. *J Clin Diagnostic Res*. 2017;11(2):DC20-DC22.

- 470 37. Gusatti C de S, Bertholdo LM, Otton LM, Marchetti DP, Ferreira AE, Corção G.  
471 First occurrence of blaOXA-58 in *Acinetobacter baumannii* isolated from a clinical  
472 sample in Southern Brazil. *Brazilian J Microbiol.* 2012;43(1):243–6.
- 473 38. Figueiredo S, Poirel L, Papa A, Koulourida V, Nordmann P. Overexpression of the  
474 naturally occurring blaOXA-51 gene in *Acinetobacter baumannii* mediated by novel  
475 insertion sequence ISAb9. Vol. 53, *Antimicrobial Agents and Chemotherapy.*  
476 2009. p. 4045–7.
- 477 39. Nordmann P, Naas T, Poirel L. Global spread of carbapenemase producing  
478 *Enterobacteriaceae*. *Emerg Infect Dis.* 2011;17(10):1791–8.
- 479 40. Sohrabi N, Farajnia S, Akhi MT, Nahaei MR, Naghili B, Peymani A, et al.  
480 Prevalence of OXA-type  $\beta$ -lactamases among *Acinetobacter baumannii* isolates  
481 from Northwest of Iran. *Microb Drug Resist* [Internet]. 2012;18(4):385–9.

482

483

Table

1 **Table 1** – Nucleotide sequence for the amplification of the genes *bla<sub>OXA</sub>*.

2

| <i>Primer</i>                          | Nucleotide sequence (5' □ 3')         | Amplification<br>(Bp) |
|--|---------------------------------------|-----------------------|
| <del><i>Bla<sub>OXA23</sub>F</i></del> | <del>GAT CGG ATT GGA GAA CCA GA</del> | <del>501 bp</del>     |
| <i>Bla<sub>OXA23</sub>R</i>            | ATT TCT GAC CGC ATT TCC AT            |                       |
| <i>Bla<sub>OXA24</sub>F</i>            | GGT TAG TTG GCC CCC TTA AA            | 246 bp                |
| <i>Bla<sub>OXA24</sub>R</i>            | AGT TGA GCG AAA AGG GGA TT            |                       |
| <i>Bla<sub>OXA51</sub>F</i>            | TAA TGC TTT GAT CGG CCT TG            | 353 bp                |
| <i>Bla<sub>OXA51</sub>R</i>            | TGG ATT GCA CTT CAT CTT GG            |                       |
| <i>Bla<sub>OXA58</sub>F</i>            | AAG TAT TGG GGC TTG TGC TG            | 599 bp                |
| <i>Bla<sub>OXA58</sub>R</i>            | CCC CTC TGC GCT CTA CAT AC            |                       |

3

4

5

6

7

8

9

10

11

12

13

14

15

16

17

18

19

20 **Table 2** - Distribution of the isolates per hospital unit, isolation site, hospital sector, gender  
 21 and frequency of occurrence of *bla*<sub>OXA-23</sub> and *bla*<sub>OXA-24</sub> genes.

|                                | n   | %     |
|--------------------------------|-----|-------|
| <b>Microorganism</b>           |     |       |
| <i>Acinetobacter baumannii</i> | 167 | 100.0 |
| <b>Hospital unit</b>           |     |       |
| SCMS                           | 75  | 44.9  |
| HGCC                           | 32  | 19.2  |
| HGF                            | 42  | 25.1  |
| HUWC                           | 18  | 10.8  |
| <b>Isolation site</b>          |     |       |
| Blood                          | 54  | 32.3  |
| Tracheal aspirate              | 42  | 25.1  |
| Secretion                      | 24  | 14.4  |
| Other                          | 47  | 28.1  |
| <b>Hospitalization sector</b>  |     |       |
| UTI                            | 101 | 60.5  |
| Other                          | 66  | 39.5  |
| <b>Gender</b>                  |     |       |
| Female                         | 67  | 40.1  |
| Male                           | 100 | 59.9  |
| <i>bla</i> <sub>OXA-23</sub>   | 78  | 46.7  |
| <i>bla</i> <sub>OXA-24</sub>   | 45  | 26.9  |

22

23

24

25

26

27

28

29

30

31

32





34 **Table 3** - Antimicrobial resistance profile of *A. baumannii* strains isolated from patients  
 35 hospitalized in four university hospitals.

| Antimicrobial                    | Resistant |      | Sensitive |       | Intermediate |      |
|----------------------------------|-----------|------|-----------|-------|--------------|------|
|                                  | n         | %    | n         | %     | n            | %    |
| <b>Amikacin</b>                  | 59        | 42.4 | 68        | 48.9  | 12           | 8.6  |
| <b>Ampicillin</b>                | 165       | 98.8 | 0         | 0.0   | 2            | 1.2  |
| <b>Ampicillin sulbactam</b>      | 70        | 44.0 | 38        | 23.9  | 51           | 32.1 |
| <b>Cefepime</b>                  | 131       | 78.4 | 28        | 16.8  | 8            | 4.8  |
| <b>Cefoxitin</b>                 | 152       | 95.6 | 5         | 3.1   | 2            | 1.3  |
| <b>Ceftazidime</b>               | 128       | 80.5 | 26        | 16.4  | 5            | 3.1  |
| <b>Ceftriaxone</b>               | 128       | 76.6 | 6         | 3.6   | 33           | 19.8 |
| <b>Cefuroxime</b>                | 166       | 99.4 | 0         | 0.0   | 1            | 0.6  |
| <b>Cefuroxime axetil</b>         | 164       | 98.8 | 2         | 1.2   | 0            | 0.0  |
| <b>Ciprofloxacin</b>             | 133       | 79.6 | 34        | 20.4  | 0            | 0.0  |
| <b>Colistin</b>                  | 0         | 0.0  | 159       | 100.0 | 0            | 0.0  |
| <b>Gentamicin</b>                | 68        | 40.7 | 84        | 50.3  | 15           | 9.0  |
| <b>Imipenem</b>                  | 132       | 79.0 | 35        | 21.0  | 0            | 0.0  |
| <b>Meropenem</b>                 | 132       | 79.0 | 33        | 19.8  | 2            | 1.2  |
| <b>Piperacillin / tazobactam</b> | 137       | 82.0 | 28        | 16.8  | 2            | 1.2  |
| <b>Tigecycline</b>               | 4         | 2.5  | 146       | 91.8  | 9            | 5.7  |

36 Data expressed as absolute frequency and percentage.

37

38

39

40

41

42

43

44

45

46

47

48

49

50

51 **Table 4** - Frequency of the *bla*<sub>OXA-23</sub> and *bla*<sub>OXA-24</sub> genes by hospital unit, isolation site,  
52 hospitalization sector, and gender.

|                               | <i>bla</i> <sub>OXA-23</sub> |             | p-Value | <i>bla</i> <sub>OXA-24</sub> |              | p-Value          |
|-------------------------------|------------------------------|-------------|---------|------------------------------|--------------|------------------|
|                               | Absent                       | Present     |         | Absent                       | Present      |                  |
| <b>Hospital unit</b>          |                              |             |         |                              |              |                  |
| SCMS                          | 34<br>38.2%                  | 41<br>52.6% | 0.294   | 66*<br>54.1%                 | 9<br>20.0%   | <b>&lt;0.001</b> |
| HGCC                          | 18<br>20.2%                  | 14<br>17.9% |         | 18<br>14.8%                  | 14*<br>31.1% |                  |
| HGF                           | 26<br>29.2%                  | 16<br>20.5% |         | 21<br>17.2%                  | 21*<br>46.7% |                  |
| HUWC                          | 11<br>12.4%                  | 7<br>9.0%   |         | 17<br>13.9%                  | 1<br>2.2%    |                  |
| <b>Isolation site</b>         |                              |             | 0.469   |                              |              | <b>0.004</b>     |
| Blood                         | 24<br>27.0%                  | 18<br>23.1% |         | 23<br>18.9%                  | 19*<br>42.2% |                  |
| Secretion                     | 27<br>30.3%                  | 27<br>34.6% |         | 47*<br>38.5%                 | 7<br>15.6%   |                  |
| Outros                        | 10<br>11.2%                  | 14<br>17.9% |         | 19<br>15.6%                  | 5<br>11.1%   |                  |
| <b>Hospitalization sector</b> |                              |             |         |                              |              |                  |
| UTI                           | 28<br>31.5%                  | 19<br>24.4% | 0.710   | 33<br>27.0%                  | 14<br>31.1%  | 0.655            |
| Others                        | 55<br>61.8%                  | 46<br>59.0% |         | 75<br>61.5%                  | 26<br>57.8%  |                  |
| <b>Gender</b>                 |                              |             |         |                              |              |                  |
| Female                        | 34<br>38.2%                  | 33<br>42.3% | 0.589   | 49<br>40.2%                  | 18<br>40.0%  | 0.985            |
| Male                          | 55<br>61.8%                  | 45<br>57.7% |         | 73<br>59.8%                  | 27<br>60.0%  |                  |

54 \*p<0.05, Fisher's exact test or Pearson's Chi-square test. Data expressed as absolute  
55 frequency and percentage.

56

57

Cover Letter



March 04th, 2018

To the Editor

**Journal of Microbiology, Immunology and Infection**

Please find attached the electronic version of the article entitled: **“High Frequency of OXA-Type Carbapenemases Among *Acinetobacter baumannii* Strains in Teaching Hospitals of Ceará, Brazil”** authored by Barbosa et al, which we are submitting for publication. The article was prepared according to the Author Guidelines as provided on the electronic home page of **Journal of Microbiology, Immunology and Infection**. We declare that this is a new submission, and the manuscript has no and will not be published in whole or in part in any other journal. In addition, we inform that the manuscript has been read and approved by all authors. We also understand that the exclusive licence to publish the article and illustrative materials there in all forms of media shall be granted to **Journal of Microbiology, Immunology and Infection** if the manuscript is accepted for publication.

Yours sincerely,



## REFERÊNCIAS

- ABBOTT, I. ABBOTT, I.; CERQUEIRA, G. M.; BHUIYAN, S.; PELEG, A. Y. Carbapenem resistance in *Acinetobacter baumannii*: laboratory challenges, mechanistic insights and therapeutic strategies. **Expert Rev Anti Infect Ther**, v. 11, n. 4, p. 395-409, 2013.
- AL-AGAMY M. H.; KHALAF N. G.; TAWFICK M. M.; SHIBL A. M.; KHOLY A. E. Molecular characterization of carbapenem-insensitive *Acinetobacter baumannii* in Egypt. **International Journal of Infectious Diseases**, v. 22, p. 49–54, 2014.
- AL ATROUNI, A.; HAMZE, M.; JISR, T.; LEMARIÉ, C.; EVEILLARD, M.; JOLY-GUILLOU, M. L.; KEMPF, M. Wide spread of OXA-23-producing carbapenem-resistant *Acinetobacter baumannii* belonging to clonal complex II in different hospitals in Lebanon. **Int J Infect Dis**, v. 52, p. 29-36, 2016.
- ALJINDAN, R.; BUKHARIE, H.; ALOMAR, A.; ABDALHAMID, B. Prevalence of digestive tract colonization of carbapenem-resistant *Acinetobacter baumannii* in hospitals in Saudi Arabia. **Journal of medical microbiology**, v. 64, n. 4, p. 400-406, 2015.
- AL-SULTAN, A. A.; EVANS, B. A.; ABOULMAGD, E.; AL-QAHTANI, A. A.; BOHOL, M. F.; AL-AHDAL, M. N. et al. Dissemination of multiple carbapenem-resistant clones of *Acinetobacter baumannii* in the Eastern District of Saudi Arabia. **Front Microbiol**, v. 6, n. 634, 2015.
- ANSALDI, F.; CANEPA, P.; BASSETTI, M.; ZANCOLLI, M. *et al.* Sequential outbreaks of multidrug-resistant *Acinetobacter baumannii* in intensive care units of a tertiary referral hospital in Italy: combined molecular approach for epidemiological investigation. **J Hosp Infect**, v. 79, n. 2, p. 134-40, 2011.
- ANTONIO, C. S. *et al.* Surto de *Acinetobacter baumannii* resistente a múltiplos medicamentos: Caracterização de genes semelhantes a bla-OXA-23 . Em: 1º SIMPÓSIO INTERNACIONAL DE MICROBIOLOGIA CLÍNICA (SIMC), Gramado, Rio Grande do Sul, Brasil, 2008.
- ANTONIO, C. S. *et al.* Disseminação e emergência de genes blaOXA-23, blaOXA-58, blaOXA-72 e seqüências de inserção (IS) em isolados de *Acinetobacter baumannii* resistentes aos carbapenêmicos . Em: 25º Congresso Brasileiro de Microbiologia (CBM), Porto de Galinhas, Pernambuco, Brasil, 2009, n. 1508-1
- BALLOUZ, T.; ARIDI, J.; AFIF, C.; ARANI, J.; LAKIS, C.; NASREDDINE, R.; AZAR, E. Risk Factors, Clinical Presentation, and Outcome of *Acinetobacter baumannii* Bacteremia. **Ront Cell Infect Microbiol**, v. 7, n. 156, 2017.
- BAUMANN, P.; DOUDOROFF, M.; STANIER, R. Y. A Study of the *Moraxella* Group II. Oxidative-negative Species (Genus *Acinetobacter*). **J. Bacteriol**, v. 95, n. 5, p. 1520-1541, 1968.

- BEIJERINCK M. Pigmenten als oxydatieproducten gevormd door bacterien. **Vers Konin Akad Wet Ams.** v. 19, p. 1092–1103, 1911.
- BIALVAEI, A.Z. *et al.* Dissemination of carbapenemases producing Gram negative bacteria in the Middle East. **Irã J Microbiol**, v. 7, n. 5, p. 226-246, 2015.
- BROWN, S.; AMYES, S. OXA (beta)-lactamases in *Acinetobacter*: the story so far. **J Antimicrob Chemother**, v. 57, n. 1, p. 1-3, 2006.
- BRIGOTTI, M. *et al.* Endothelial damage induced by Shiga toxins delivered by neutrophils during transmigration. **Journal Of Leukocyte Biology**, v. 88, n.1, p.201-210, 2010.
- BRISOU, J; PREVOT A. R. Studies on bacterial taxonomy. X. The revision of species under *Achromobacter* group. **Ann. Inst. Pasteur**, v. 86, n. 6, p. 722-728, 1954.
- CALHOUN, JH *et al.* Organismos multirresistentes em feridas militares do Iraque e do Afeganistão. **Clin Orthop Relat Res** , v. 466, n. 6, p.1356-62, 2008.
- CARVALHO, *et al.* Dissemination of multidrug-resistant *Acinetobacter baumannii* genotypes carrying bla<sub>OXA-23</sub> collected from hospitals in Rio de Janeiro, Brazil, **Int J Antimicrob Agents**, v. 34, n. 1, p. 25-28, 2009.
- CARVALHO, K. R. *et al.* Disseminação de genótipos multirresistentes de *Acinetobacter baumannii* produtores de carbapenemase OXA-23 em diferentes estados do Brasil. *Em: 26º CONGRESSO BRASILEIRO DE MICROBIOLOGIA (CBM)*, Foz do Iguaçu, Paraná, Brasil, 2011, n. 962-1.
- CARVALHO, K. R. *et al.* Disseminação de genótipos de *Acinetobacter baumannii* multirresistentes com bla (OXA-23) coletados em hospitais do Rio de Janeiro, Brasil. **Int J Antimicrob Agents** , v. 34, n. 1, p. 25-8, 2009. (CC15 and CC79). **Diagnostic Microbiology and Infectious Disease**, v. 79, n. 4, p. 468–472, 2014.
- CHUANG, Y. C.; SHENG, W. H.; LAUDERDALE, T. L.; LI, S. Y.; WANG, J. T.; CHEN, Y. C.; CHANG, S. C. Epidemiologia molecular, susceptibilidade antimicrobiana e determinantes da resistência à carbapenemase entre isolados clínicos de *Acinetobacter baumannii* em Taiwan. **J Microbiol Immunol Infect**, v. 47, n. 4, p. 324-332, 2014.
- CHANG, Y.; LUAN, G.; XU, Y.; WANG, Y.; SHEN, M.; ZHANG, C.; ZHENG, W.; HUANG, J.; YANG, J.; JIA, X.; LING, B. Characterization of carbapenem-resistant *Acinetobacter baumannii* isolates in a Chinese teaching hospital. **Front Microbiol**, v. 1, n. 6, p. 910, 2015.

CHEN, F.; WANG, L.; WANG, M.; XIE, Y.; XIA, X.; LI, X.; LIU, Y.; CAO, W.; ZHANG, T.; LI, P.; YANG, M. Genetic characterization and in vitro activity of antimicrobial combinations of multidrug-resistant *Acinetobacter baumannii* from a general hospital in China. ***Oncol Lett***, v. 15, n. 2, p. 2305-2315, 2018.

CHROMA, M.; KOLAR, M. Genetic methods for detection of antibiotic resistance: Focus on extended spectrum  $\beta$ -lactamases. ***Biomedical Papers of the Medical Faculty of the University Palacky***. v. 154, n. 4, p.289–296, 2010.

CIESLINSKI, J. M.; AREND, L.; TUON, F. F.; SILVA, E. P.; EKERMANN, R. G.; DALLA-COSTA, L. M., *et al.* Caracterização epidemiológica molecular de *Acinetobacter baumannii*, produzido com carbapenemase de OXA-23, isolado de 8 hospitais brasileiros usando PCR repetitiva baseada em seqüência. ***Diagn Microbiol Infect Dis***, v. 77, p. 337-340, 2013

CLINICAL LABORATORY STANDARDS INSTITUTE – CLSI. Performance standards for antimicrobial disk susceptibility tests. CLSI document. Wayne: CLSI; 2018.

DAHDOUH, E.; GÓMEZ-GIL, R.; PACHO, S.; MINGORANCE, J.; DAOUD, Z.; SUÁREZ, M. Clonality, virulence determinants, and profiles of resistance of clinical *Acinetobacter baumannii* isolates obtained from a Spanish hospital. ***PLoS One***, v. 12, n. 4, 2017.

DALLA-COSTA, L. M. et al. Outbreak of carbapenem-resistant *Acinetobacter baumannii* producing the OXA-23 enzyme in Curitiba, Brazil. ***J Clin Microbiol***, v. 41, n.7, p. 3403-3406, 2003.

DIENSTMANN, R. *et al.* Avaliação fenotípica da enzima *Klebsiella pneumoniae* carbapenemase (KPC) em *Enterobacteriaceae* de ambiente hospitalar. ***J Bras Patol Med Lab***, v. 46, n. 1, p. 23-27, 2010.

DIAS, V. C.; DINIZ, C. G.; PETER, A. C.; BASTOS, A. N.; BASTOS, V. Q.; BASTOS, L. Q.; ET, A. L. Epidemiological characteristics and antimicrobial susceptibility among carbapenem-resistant non-fermenting bacteria in Brazil. ***J Infect Dev Ctries***, v. 10, p. 544–53, 2016.

DJAHMI, N. *et al.* Epidemiology of Carbapenemase-Producing *Enterobacteriaceae* and *Acinetobacter baumannii* in Mediterranean Countries. ***Biomed Research International***, v. 2014, n. 1, p.1-11, 2014.

DORTET, L. *et al.* CarbAcineto NP Test for Rapid Detection of Carbapenemase-Producing *Acinetobacter* spp. ***J Clin Microbiol***, v. 52, n. 7, p. 2359–2364, 2014.

FERREIRA, A.E. *et al.* Presence of OXA-23-producing isolates of *Acinetobacter baumannii* in wastewater from hospitals in Southern Brazil. ***Microb Drug Resist***, v. 17, n. 2, p. 221-227, 2011.

GARLANTÉZEC, R. *et al.* Investigação e gerenciamento de um surto de *Acinetobacter baumannii* resistente a imipenem em uma unidade de terapia intensiva. **Med Mal Infect** , v. 41, n. 8, p. 430-6, 2011.

GOGOU, V.; POURNARAS, S.; GIANNOULI, M.; VOULGARI, E.; PIPERAKI, E.T.; ZARRILLI, R. *,et al.* Evolution of multidrug-resistant *Acinetobacter baumannii* clonal lineages: a 10 year study in Greece (2000-09). **J Antimicrob Chemother**, v. 66, p. 2767–2772, 2011.

GUR, D. *et al.* Aumento da resistência ao carbapenem devido à disseminação clonal de oxacilinas (OXA-23 e OXA-58) - produzindo *Acinetobacter baumannii* : relatório dos sites turcos do programa SENTRY. **J Med Microbiol** , v. 57, n. 12, p. 1529-32, 2008

GUSATTI , C. S.; BERTHOLDO, L. M.; OTTON, L. M.; MARCHETTI, D. P.; FERREIRA , A. E. Corção G. First occurrence of blaOXA-58 in *Acinetobacter baumannii* isolated from a clinical sample in Southern Brazil. **Braz J Microbiol**, v. 43, p. 243–6,2012.

JIA, X.; MA, W.; XU, X.; YANG, S.; ZHANG, L. Retrospective analysis of hospital-acquired linezolid-nonsusceptible enterococci infection in Chongqing, China, 2011-2014. **Am J Infect Control**, v. 43, n. 12, p. 101-106, 2015.

JACOBY, G. A. AmpC beta-lactamases. **Clin Microbiol Ver**, v. 22, n. 1, p. 161-82, 2009.

JOSHEGHANI, S. B.; MONIRI, R.; FIROOZEH, F.; SEHAT, M.; DASTEH GOLI, Y. Susceptibility Pattern and Distribution of Oxacillinases and bla<sub>PER-1</sub> Genes among Multidrug Resistant *Acinetobacter baumannii* in a Teaching Hospital in Iran. **J Pathog**, v. 2015, 2015.

KALLEN, A. J.; SRINIVASAN, A. Current epidemiology of multidrug-resistant Gram-negative bacilli in the United States. **Infect Control Hosp Epidemiol**, v. 31, p. 51–S54, 2010.

KARMOSTAJI, A. ; PEERAYEH S. N. ; SALMANIAN A. H. Distribution of OXA-Type Class D  $\beta$ -Lactamase Genes Among Nosocomial Multi Drug Resistant *Acinetobacter baumannii* Isolated in Tehran Hospitals. **Jundishapur J Microbiol** , v. 6, n. 5, p. 821-829, 2013.

KEMPF, M.; ROLAIN, J.M. Emergence of resistance to carbapenems in *Acinetobacter baumannii* in Europe: clinical impact and therapeutic options. **Int J Antimicrob Agents**, v. 39, n. 2, p.105-114, 2012.

KOOTI, S.; MOTAMEDIFAR, M.; SARVARI, J. Antibiotic Resistance Profile and Distribution of Oxacillinase Genes Among Clinical Isolates of *Acinetobacter baumannii* in Shiraz Teaching Hospitals, 2012 - 2013. **Jundishapur J Microbiol**, v.8, n.8, p. 151-156, 2015.



KÜMMERER, K. Antibiotics in the aquatic environment- A review- Part II. **Chemosphere**, v.75, n. 4, p. 435-441, 2009.

KUO, H. *et al.* Insertion Sequence Transposition Determines Imipenem Resistance in *Acinetobacter baumannii*. **Microbial Drug Resistance**, v. 20, n. 5, p. 410-415, 2014.

LIAKOPOULOS, A. *et al.* Identificação do *Acinetobacter baumannii*, produzido pela OXA-23 na Grécia, 2010 a 2011. **Euro Surveill**, v. 15, n. 17, p. 11, 2012.

LIN, M.F.; LAN, C.Y. Antimicrobial resistance in *Acinetobacter baumannii*: From benchtop to bedside. **World J Clin Cases**, v. 2, n. 12, p. 787–814, 2014.

LORENZINI, E.; COSTA, T.C.; SILVA, E.F. Prevenção e controle de infecção em unidade de terapia intensiva neonatal. **Revista Gaúcha de Enfermagem**, v.34, n.3, p.107-113, 2013.

LOWINGS, M. *et al.* High prevalence of oxacillinases in clinical multidrug-resistant *Acinetobacter baumannii* isolates from the Tshwane region, South Africa—an update. **BMC infectious diseases**, v.15, n.1, p. 521, 2015.

MA, Z. *et al.* Investigations on the genomic diversity of OXA from isolated *Acinetobacter baumannii*. **Genet. Mol. Res.**, v. 14, n. 4, p. 14711-14716, 2015.

MAGIORAKOS, A. P.; SRINIVASA, A.; CAREY, R. B.; CARMELI, Y.; FALAGAS, M. E.; GISKE, C. G., *et al.* Multidrug-resistant, extensively drug-resistant and pandrug-resistant bacteria: an international expert proposal for interim standard definitions for acquired resistance. **Clin Microbiol Infect**, v. 18, p.268–281,2012.

MANAGEIRO, V. *et al.* Diversidade genética e evolução clonal dos isolados *Acinetobacter baumannii* resistentes ao carbapenem de Portugal e a disseminação do ST118. **Int J Antimicrob Agents**, v. 40, n. 5, p. 398-403, 2012.

MARQUE, S. *et al.* Regional occurrence of plasmid-mediated carbapenem-hydrolyzing oxacillinase OXA-58 in *Acinetobacter* spp. in Europe. **J Clin Microbiol**, v. 43, n. 9, p. 4885-4888, 2005.

MARTINS, A. F. *et al.* *Acinetobacter baumannii* resistente ao Carbapenem produzindo a enzima OXA-23: disseminação no sul do Brasil. **Infecção**, v. 37, n. 5, p. 474-6, 2009.

MARTINS, A.F.; BARTH, A.L. *Acinetobacter* spp. multirresistente –um desafio para a saúde pública. **Scientia Medica**, v. 23, n. 1, p. 56-62, 2013.

MATHERS, A.J.; PEIRANO, G.; PITOUT, J.D.D. The role epidemic plasmids and international high-risk clones in the spread of multidrug resistant *Enterobacteriaceae*. **Clin Microbiol Reviews**, v. 28, n. 3, p. 565-591, 2015.

MENDES, R. E., *et al.* Comprehensive assessment of tigecycline activity tested against a world wide collection of *Acinetobacter* spp. **Diagn Microbiol Infect Dis**, v. 68, n. 3, p. 307–311, 2010.

MOHAJERI, P.; FARAHANI, A.; MEHRABZADEH, R. S.  
Molecular Characterization of Multidrug Resistant Strains of *Acinetobacter baumannii* Isolated from Intensive Care Units in West of Iran. **J Clin Diagn Res**, v. 11, n. 2, p. 20-22, 2017.

MUGNIER, P.D. *et al.* Worldwide dissemination of the *bla*<sub>OXA-23</sub> carbapenemase gene of *Acinetobacter baumannii*. **Emerg Infect Dis**, v.16, n. 1, p.35-40, 2010.

NIUMSUP, PR *et al.* *Acinetobacter baumannii* resistente ao Carbapenem produzindo OXA-23 na Tailândia. *Jpn J Infect Dis* , v. 62, n. 2, p. 152-4, 2009.

NEVES, F. C., *et al.* Clinical and microbiological characteristics of OXA-23- and OXA-143-producing *Acinetobacter baumannii* in ICU patients at a teaching hospital, Brazil. **Brazilian Journal of Infectious Diseases**, v. 20, n. 6, p. 556-563, 2016.

NORDMANN, P.; NAAS, T.; POIREL, L. Global spread of carbapenemase-producing *Enterobacteriaceae*. **Emerging Infections Diseases**, v. 17, n. 10, p. 1791-1798, 2011.

NORDMANN, P.; POIREL, L. Strategies for identification of carbapenemase-producing *Enterobacteriaceae*. **J Antimicrob Chemother**, v. 68, n. 3, p. 487-489, 2013.

NORDMANN, P.; POIREL, L.; DORTET, L. Rapid detection of carbapenemase-producing *Enterobacteriaceae*. **Emerging Infections Diseases**, v. 18, n. 9, p. 1503–1507 2012.

NOWAK, P. *et al.* Distribuição de genes *bla* OXA entre cepas nosocomiais de *Acinetobacter baumannii* resistentes ao carbapenem na Polônia. **New Microbiol** , v. 35, n. 3, p. 317-25, 2012.

OLIVEIRA, D.V. **ANÁLISE E CARACTERIZAÇÃO DE ISOLADOS AMBIENTAIS DA FAMÍLIA *Enterobacteriaceae* QUANTO À PRESENÇA DE GENES DE RESISTÊNCIA A  $\beta$ - LACTÂMICOS.** Dissertação de Doutorado. Programa de Pós-graduação em Microbiologia Agrícola e do Ambiente. Universidade Federal do Rio Grande do Sul, Rio Grande do Sul, 2016.

WORLD HEALTH ORGANIZATION, 2017. Publishes List of Bacteria for Which NewAntibiotics Are Urgently Needed. Geneva: World Health Organization, 2017. Availableat: <http://www.who.int/mediacentre/news/releases/2017/bacteria-antibiotics-needed/en/>(Accessed Feb 23, 2018).

PADOVEZE, M.C.; FORTALEZA, C.M. Healthcare-associated infections: challenges to public health in Brazil. **Rev Saude Publica**, v. 48, n. 6, p. 995-1001. 2014..

PELEG, A. Y. *et al.* *Acinetobacter baumannii*: emergence of a successful pathogen. **Clin Microbiol Rev**, v. 21, n. 3, p. 538-582, 2008.

PEREZ-PEREZ, F.J.; HANSON, N.D. Detection of plasmid-mediated AmpC  $\beta$ -lactamase genes in clinical isolates by using multiplex PCR. **J Clin Microbiol**, v. 40, n. 7, p. 2153-2162, 2002.

POIREL, L.; NORDMANN, P. Carbapenem resistance in *Acinetobacter baumannii*: mechanisms and epidemiology. **Clin Microbiol Infect**, v. 12, n. 9, p. 826-836, 2006.

POIREL, L.; NAAS, T.; NORDMANN, P. Diversity, Epidemiology, and Genetics of Class D -Lactamases. **Antimicrobial Agents and Chemotherapy**, v. 54, n. 1, p. 24-38, 2010.

PRAGASAM, A.K. *et al*. Molecular characterisation of antimicrobial resistance in *Pseudomonas aeruginosa* and *Acinetobacter baumannii* during 2014 and 2015 collected across India. **Indian J Med Microbiol**, v. 34, n. 4, p. 433-441, 2016.

PRINCIPE, L.; PIAZZA, A.; GIANI, T.; BRACCO, S.; CALTAGIRONE, M.S.; ARENA, F., *et al*. Epidemic diffusion of OXA-23-producing *Acinetobacter baumannii* isolates in Italy: results of the first cross-sectional countrywide survey. **J Clin Microbiol**, v. 52, p. 3004–3010, 2014.

QUEENAN, A.M.; BUSH, K. Carbapenemases: the Versatile  $\beta$ -Lactamases. **Clin Microbiol Rev**, v. 20, n. 3, p. 440–458, 2007.

RARO, O.H.F. *et al*. Carbapenem-resistant *Acinetobacter baumannii* contamination in an intensive care unit.. **Rev Soc Bras Med Trop**, v.50, n.2, p.167-172, 2017.

RASMUSSEN, W. J ; HOIBY, N. OXA-type carbapenemases. **J Antimicrob Chemother**, v. 57, n. 3, p. 373-383, 2006.

ROLAIN, J. M.; LOUCIF, L.; AL-MASLAMANI, M.; ELMAGBOUL, E.; AL-ANSARI, N.; TAJ-ALDEEN, S.; SHAUKAT, A.; AHMEDULLAH, H.; HAMED, M. Emergence of multidrug-resistant *Acinetobacter baumannii* producing OXA-23 Carbapenemase in Qatar. **New Microbes New Infect**, v. 23, n. 11, p. 47-51, 2016.

SAHARMAN, Y. R.; KARUNIAWATI, A.; SEDONO, R.; ADITIANINGSIH, D.; SUDARMONO, P.; GOESSENS, W. H. F.; KLAASSEN, CHW<sup>2</sup>, VERBRUGH HA<sup>2</sup>, SEVERIN Ja. Endemic carbapenem-nonsusceptible *Acinetobacter baumannii-calcoaceticus* complex in intensive care units of the national referral hospital in Jakarta, Indonesia. **Antimicrob Resist Infect Control**, 2018 Jan 12;7:5. doi: 10.1186/s13756-017-0296-7. eCollection 2018.

SOARES, G.M. *et al*. Mechanisms of action of systemic antibiotic used in periodontal treatment and mechanisms of bacterial resist ancto these drugs. **J. Appl. Oral. Sci.**, v. 20, n. 3, p. 295-309, 2012.

SOHRABI, N. *et al*. Prevalence of OXA-Type  $\beta$ -Lactamases Among *Acinetobacter baumannii* Isolates from Northwest of Iran. **Microbial Drug Resistance**, v. 18, n. 4, p. 385-389, 2012.

STOEVA, T. *et al.* Distribuição clonal de *Acinetobacter baumannii* resistente ao carbapenem resistente a OXA-23 em um hospital universitário búlgaro. **Clin Microbiol Infect**, v. 14, n. 7, p. 723-7, 2008.

TÄNGDÉN, T.; GISKE, C.G. Global dissemination of extensively drug-resistant carbapenemase-producing *Enterobacteriaceae*: clinical perspectives on detection, treatment and infection control. **J Intern Med**, v.277, n. 5, p. 501-512., 2015.

TARTARI, D.C. **Rastreo, Identificação E Caracterização Genética De Acinetobacter Spp. Isolados De Ambiente Hospitalar. Florianópolis-Sc.** 2016. 130 f. Dissertação de Mestrado. Programa de Pós-graduação em Farmácia da Universidade Federal de Santa Catarina. Universidade Federal de Santa Catarina, Rio Grande do Sul, 2016.

THOMSON, K. Extended-Spectrum- $\beta$ -lactamase, AmpC, and Carbapenemase Issues. **J Clin Microbiol**, v. 48, n. 4, p.1019–1025, 2010.

TOLEMAN, M.A. *et al.* Molecular characterization of SPM-1, a novel metallo-beta-lactamase isolated in Latin America: report from the SENTRY antimicrobial surveillance programme. **J Antimicrob Chemother**, v. 50, n. 5, p. 673-679, 2002.

TUON, F.F.; ROCHA, J.L.; MERLINI, A.B. Combined therapy for multi-drug resistant *Acinetobacter baumannii* infection-- is there evidence outside the laboratory? **J Med Microbiol**, v. 64, n. 9, p. 951-959, 2015.

UWINGABIYE, J.; LEMNOUER, A.; ROCA, I.; ALOUANE, T.; FRIKH, M.; BELEFQUIH, B.; BSSAIBIS, F.; MALEB, A.; BENLAHLOU, Y.; KASSOUATI, J.; DOGHMI, N.; BAIT, A. Clonal diversity and detection of carbapenem resistance encoding genes among multidrug-resistant *Acinetobacter baumannii* isolates recovered from patients and environment in two intensive care units in a Moroccan hospital. **Antimicrob Resist Infect Control**, v. 6, n. 99, 2017.

VASCONCELOS, A. T., *et al.* The changing epidemiology of *Acinetobacter* spp. producing OXA carbapenemases causing bloodstream infections in Brazil: a Bras Net report. **Diagn Microbiol Infect Dis**, v. 83, n. 4, p. 382-385, 2015.

VIEIRA, P.B.; PICOLI, S.U. Multidrug-resistant *Acinetobacter baumannii*: Clinical and Epidemiological Aspects. **Revista Brasileira de Ciências da Saúde**, v. 19, n. 2, p. 151-156, 2015.

VIEHMAN, J. A.; NGUYEN, M. H.; DOI, Y. Treatment Options for Carbapenem-Resistant and Extensively Drug-Resistant *Acinetobacter baumannii* Infections. **Drugs**, v.74, n. 12, p. 1315–1333, 2015.

YING, J.; LU, J.; ZONG, L.; LI, A.; PAN, R.; CHENG, C., *et al.* Molecular epidemiology and characterization of genotypic analysis of *Acinetobacter baumannii* strains isolates from south China. **Jpn J Infect Dis**, v. 69, p. 180–18, 2015.

## ANEXO

## Termo de Consentimento Livre e Esclarecido (TCLE)

## Caro participante:

Sou farmacêutica bioquímica, Mestranda do Programa de Pós-graduação em Ciências da Saúde na Universidade Federal do Ceará – *Campus* Sobral e estou desenvolvendo uma pesquisa científica sobre a ocorrência de bactérias que causam infecções hospitalares e que são resistentes a muitos antibióticos. Neste sentido, solicito sua colaboração na participação da pesquisa, aceitando participar da coleta.

Os dados serão apresentados na Universidade Federal do Ceará - Sobral e divulgados junto à comunidade acadêmica, respeitando o caráter confidencial das identidades. Garanto-lhe que sua participação ficará no anonimato, não será divulgado seu nome. Pretendemos com esta pesquisa verificar a sensibilidade a antibióticos de bactérias que causam infecções em pessoas hospitalizadas.

Você tem o direito de não participar dessa pesquisa se assim o desejar, mas seria importante sua participação. Aceitando participar, se por qualquer motivo, durante o andamento da pesquisa, resolver desistir, tem toda liberdade para retirar seu consentimento a qualquer momento. Reforço que sua colaboração e participação poderão trazer benefícios para o desenvolvimento científico. Participar da coleta não lhe trará riscos para sua saúde, nem mesmo risco de receber advertência por ter participado ou não. Ressalto que não será realizada coleta adicional de sangue ou qualquer outra amostra biológica, ou seja, o isolamento bacteriano será realizado a partir da amostra solicitada e já coletada pela equipe médica do hospital de ensino. Tudo ocorrerá em sigilo. Além disto, será verificada a resistência dessas bactérias a antibióticos, esses dados serão comunicados à equipe médica e poderão auxiliar no seu tratamento.

Para possíveis esclarecimentos entrar em contato comigo no endereço: Avenida Comandante Maurocílio Rocha Pontes, 100 - Derby - 62042-280 – Sobral – CE, telefone (88) 3611.8000 Ramal 231 ou com o Comitê de Ética em Pesquisa da UVA, Avenida Comandante Maurocílio Rocha Pontes, 150 - Derby - 62042-280- Sobral – CE, telefone (88) 3677-4255.

Atenciosamente,

*Izabelly Linhares P. Brito*

Izabelly Linhares Ponte Brito

Farmacêutica bioquímica

Santa Casa de Misericórdia de Sobral

## Consentimento Pós-Informado

Declaro que tomei conhecimento do estudo que pretende avaliar a ocorrência de bactérias que causam infecções hospitalares e a suscetibilidade dessas bactérias a diferentes antibióticos cujo título é “Investigação da diversidade genômica de isolados nosocomiais de *Acinetobacter baumannii* multirresistentes produtores de carbapenemases”, realizado pela pesquisadora Izabelly Linhares Ponte Brito, compreendi seus propósitos e, concordo em participar da pesquisa, não me oponho à coleta da amostra biológica, e também sei que em qualquer momento posso retirar meu consentimento em participar da mesma.

Sobral, \_\_\_\_ de \_\_\_\_ de 2016.

Ciente:

\_\_\_\_\_  
Assinatura do Sujeito, responsável ou testemunha

\_\_\_\_\_  
Assinatura do Pesquisador





**SANTA CASA DE MISERICÓRDIA DE SOBRAL  
DEPARTAMENTO DE ENSINO, PESQUISA E EXTENSÃO  
SUBCOMISSÃO DE PESQUISA**

Sobral-CE, 16 de junho de 2016.

**CARTA DE ANUÊNCIA PARA COMITÊ DE ÉTICA EM PESQUISA**

Declaramos que o Projeto de Pesquisa intitulado "INVESTIGAÇÃO DA DIVERSIDADE GENÔMICA DE ISOLADOS NOSOCOMIAIS DE *Acinetobacter baumannii* MULTIRRESISTENTES PRODUTORES DE CARBAPENEMASES", sob responsabilidade do Orientador, Prof. Francisco César Barroso Barbosa; obedece ao protocolo para realização de pesquisa desta instituição, obtendo Parecer Favorável desta subcomissão para sua realização. A pesquisa foi submetida ao DEPE (Departamento de Ensino, Pesquisa e Extensão) no mês de junho/2016 e terá como campo de coleta de dados a Santa Casa de Misericórdia de Sobral, durante os meses descritos no cronograma em anexo.

Atenciosamente,

Vicente de Paulo Teixeira Pinto  
Diretor do DEPE

Prof. Dr. Vicente de Paulo T. Pinto  
Diretor do Departamento de  
Ensino, Pesq. e Extensão.  
Santa Casa de M. de Sobral

## AUTORIZAÇÃO

Autorizo a Farmacêutica e estudante de mestrado em Ciência da Saúde pela Universidade Federal do Ceará Izabelly Linhares Ponte Brito a ter acesso às amostras biológicas do setor de Microbiologia do Laboratório de Análises Clínicas do Hospital Geral de Fortaleza - HGF, para realização de sua dissertação de mestrado, cuja pesquisa é assim intitulada "INVESTIGAÇÃO DA DIVERSIDADE GENÔMICA DE ISOLADOS NOSOCOMIAIS DE *Acinetobacter baumannii* MULTIRRESISTENTES PRODUTORES DE CARBAPENEMASES"

Antônio R. R. R. de Aguiar  
Farmacêutico  
CRECE 4144  
Antônio Rhandel

Coordenador do Laboratório de Análises Clínicas

Hospital Geral de Fortaleza - HGF



## AUTORIZAÇÃO

Autorizo a Farmacêutica e estudante de mestrado em Ciência da Saúde pela Universidade Federal do Ceará Izabelly Linhares Ponte Brito a ter acesso às amostras biológicas do setor de Microbiologia do Laboratório de Análises Clínicas do Hospital Geral Cesar Calls, para realização de sua dissertação de mestrado, cuja pesquisa é assim intitulada “INVESTIGAÇÃO DA DIVERSIDADE GENÔMICA DE ISOLADOS NOSOCOMIAIS DE *Acinetobacter baumannii* MULTIRRESISTENTES PRODUTORES DE CARBAPENEMASES”



Daniel Soares do Nascimento  
Cirurgião - CRM 20.559  
Daniel Soares do Nascimento  
CRM 20.559

Coordenador do Laboratório de Análises Clínicas  
Hospital Geral Cesar Calls



## AUTORIZAÇÃO

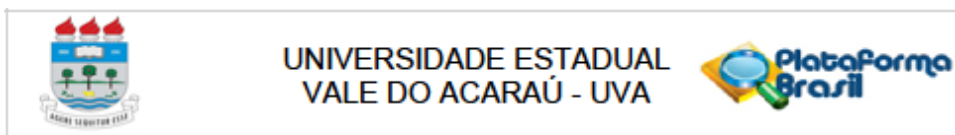
Autorizo a Farmacêutica e estudante de mestrado em Ciência da Saúde pela Universidade Federal do Ceará Izabelly Linhares Ponte Brito a ter acesso às amostras biológicas do setor de Microbiologia do Laboratório de Análises Clínicas do Hospital Universitario Walter Cantidio, para realização de sua dissertação de mestrado, cuja pesquisa é assim intitulada "INVESTIGAÇÃO DA DIVERSIDADE GENÔMICA DE ISOLADOS NOSOCOMIAIS DE *Acinetobacter baumannii* MULTIRRESISTENTES PRODUTORES DE CARBAPENEMASES"

  
José Nilson Ferreira Gomes Neto  
Chefe do Lab. de Análises Clínicas/HUWC  
CRF: 2536 SIAPE: 18560493

Jose Nilson Ferreira Gomes Neto

Coordenador do Laboratório de Análises Clínicas

Hospital Universitario Walter Contidio



## PARECER CONSUBSTANCIADO DO CEP

### DADOS DO PROJETO DE PESQUISA

**Título da Pesquisa:** INVESTIGAÇÃO DA DIVERSIDADE GENÔMICA DE ISOLADOS NOSOCOMIAIS DE *Acinetobacter baumannii* MULTIRRESISTENTES PRODUTORES DE CARBAPENEMASES

**Pesquisador:** Izabelly Linhares Ponte Brito

**Área Temática:**

**Versão:** 2

**CAAE:** 57095216.0.0000.5053

**Instituição Proponente:** Universidade Estadual Vale do Acaraú - UVA

**Patrocinador Principal:** Santa Casa de Misericórdia de Sobral

### DADOS DO PARECER

**Número do Parecer:** 1.843.504

#### Apresentação do Projeto:

. Coleta de dados: De Novembro de 2016 a Abril de 2017, serão coletadas espécies nosocomiais de *A. baumannii* isolados de amostras clínicas de sangue, de infecções do trato respiratório, ponta de cateter percutâneo, secreção de abscesso e de ferida cirúrgica. Vale ressaltar, que o isolamento das espécies bacterianas será realizado a partir de amostras clínicas de pacientes internados em enfermarias e Unidades de Terapia Intensiva com suspeita de infecção hospitalar, desde que essas amostras já tenham sido previamente solicitadas e coletadas pela equipe médica dos hospitais de ensino envolvidos nesta pesquisa. Portanto, não será feita coleta adicional de sangue e nem de nenhuma outra amostra clínica do paciente. Dessa forma, a quantidade e manipulação das amostras segue o protocolo operacional padrão de cada hospital, assim

como o método de descarte das amostras biológicas segue o plano de gerenciamento de resíduos de serviço de saúde de acordo com a Resolução RDC Nº306 de 07 de dezembro de 2004. Todos os isolados serão previamente identificados no laboratório de microbiologia dos referidos hospitais pelo sistema automatizado VITEK®2 (BioMérieux, Marcy-l'Etoile, France). Após, os espécimes serão armazenados e enviados em tubos contendo

BHI (Brain Heart Infusion) (Himedia ®, Mumbai, Índia) com glicerol a 20% ao Laboratório de

**Endereço:** Av Comandante Maurocéllo Rocha Ponte, 150  
**Bairro:** Derby **CEP:** 62.041-040  
**UF:** CE **Município:** SOBRAL  
**Telefone:** (88)3677-4255 **Fax:** (88)3677-4242 **E-mail:** uva\_comiteetica@hotmail.com